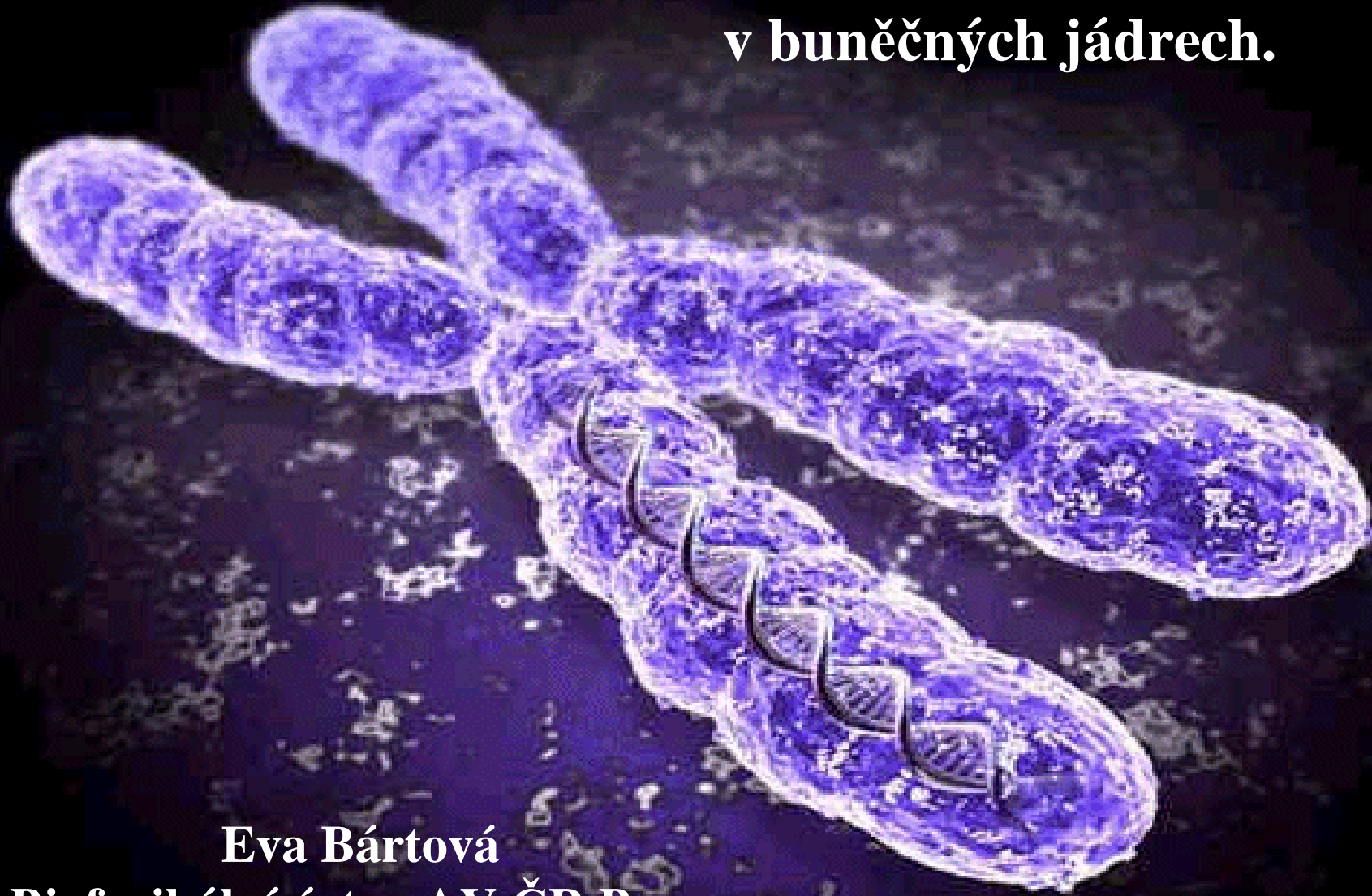


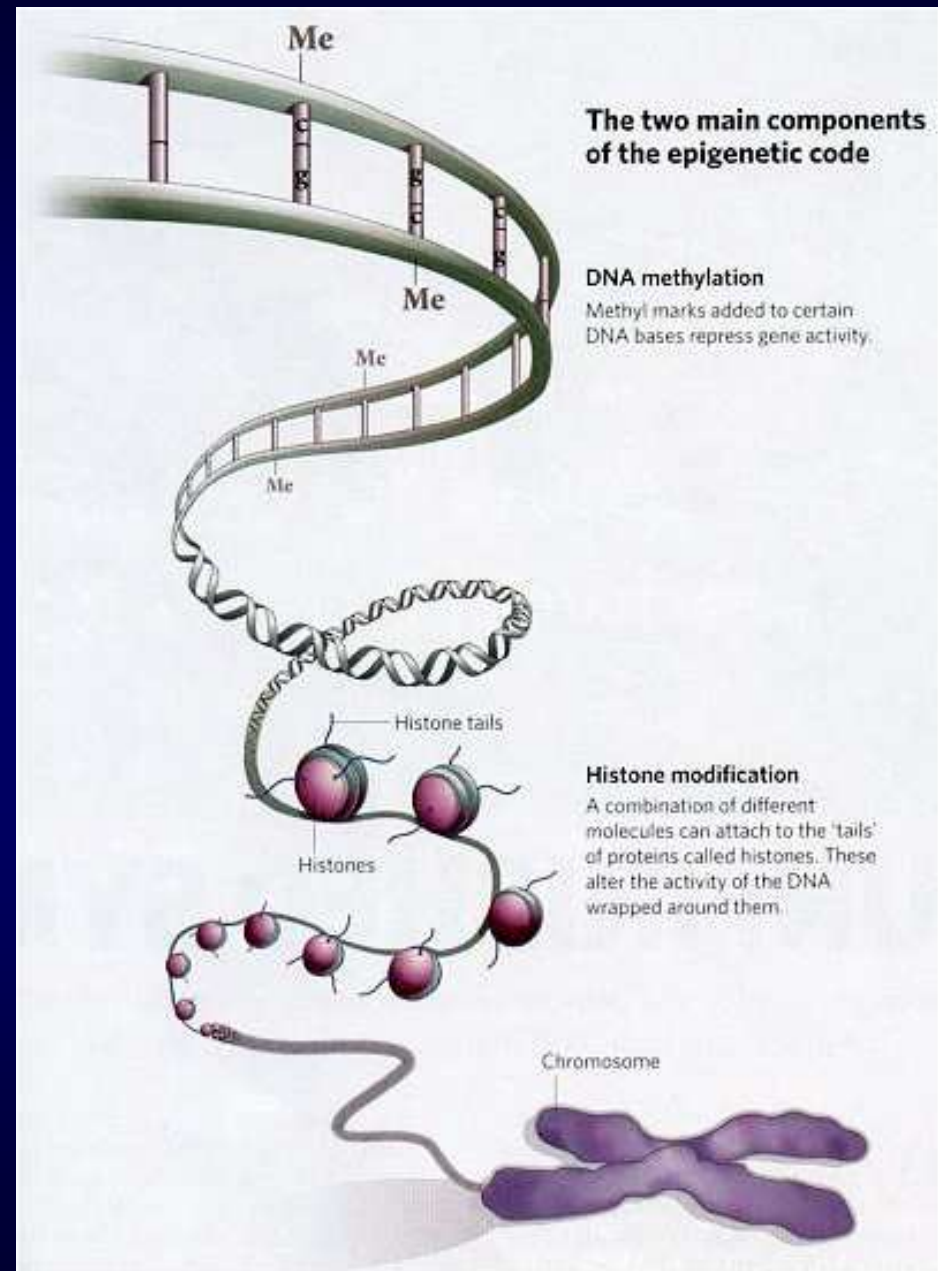
# Epigenetické procesy probíhající v buněčných jádrech.

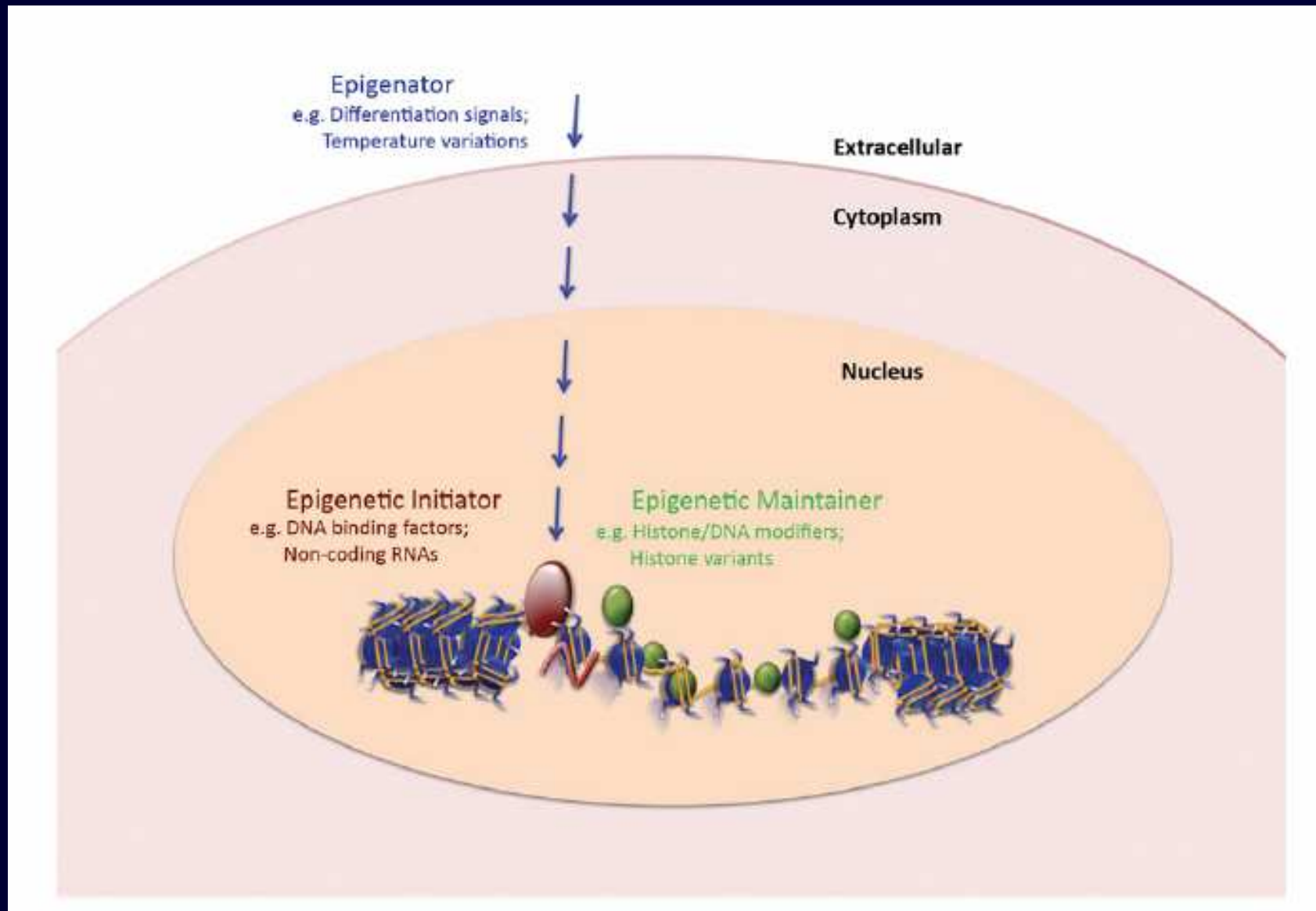


Eva Bártová  
Biofyzikální ústav AV ČR Brno

# What is epigenetics ?

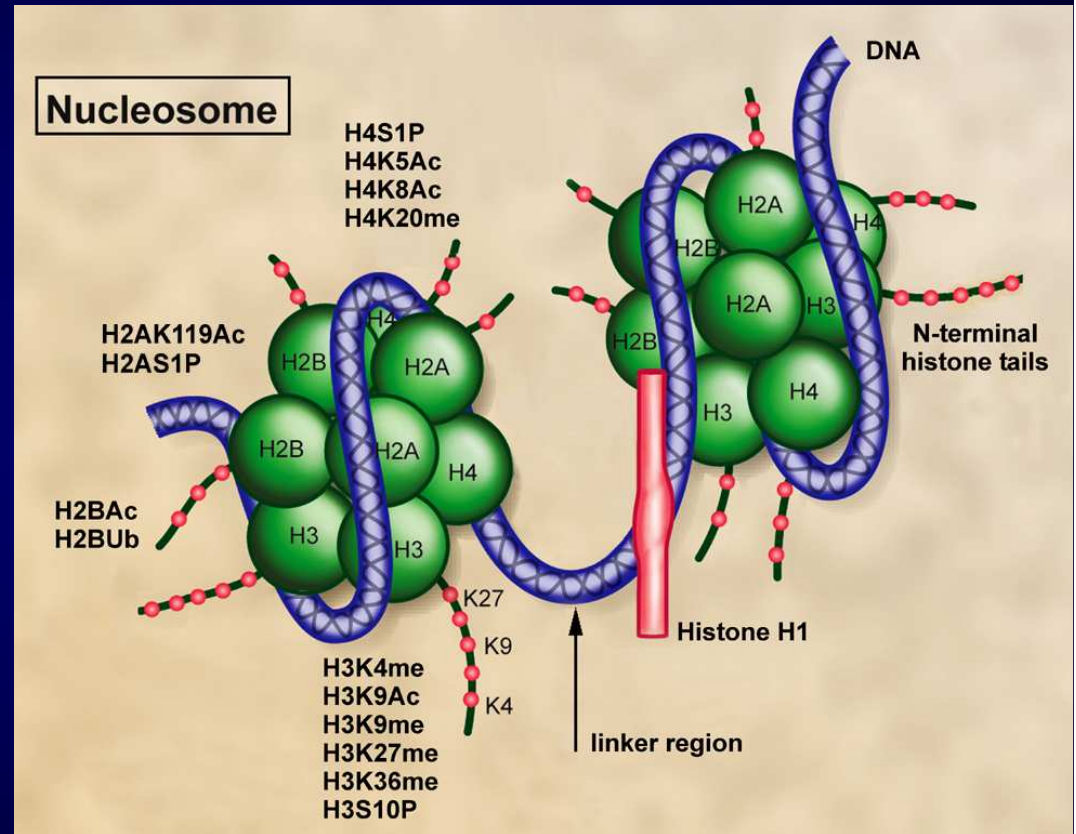
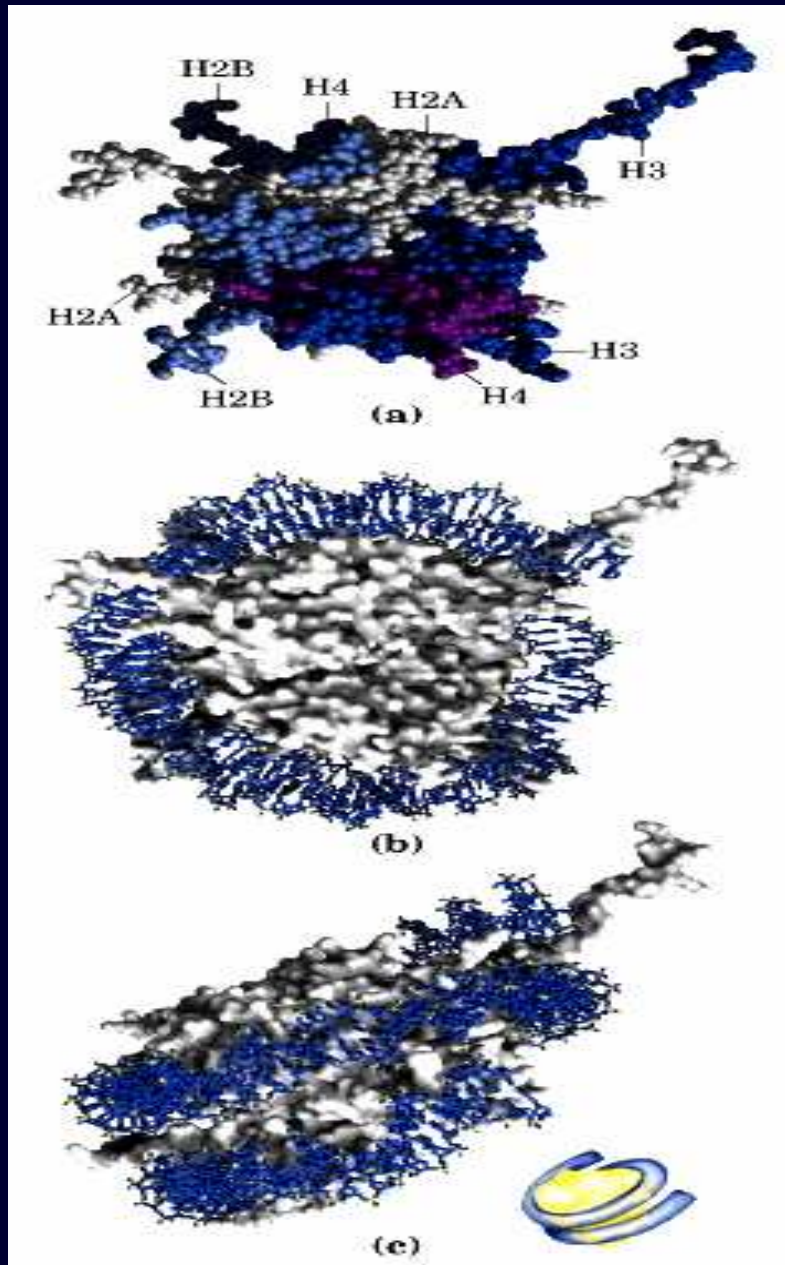
Epigenetics refers to heritable changes in the phenotype that occur irrespective of alterations in the DNA sequences.



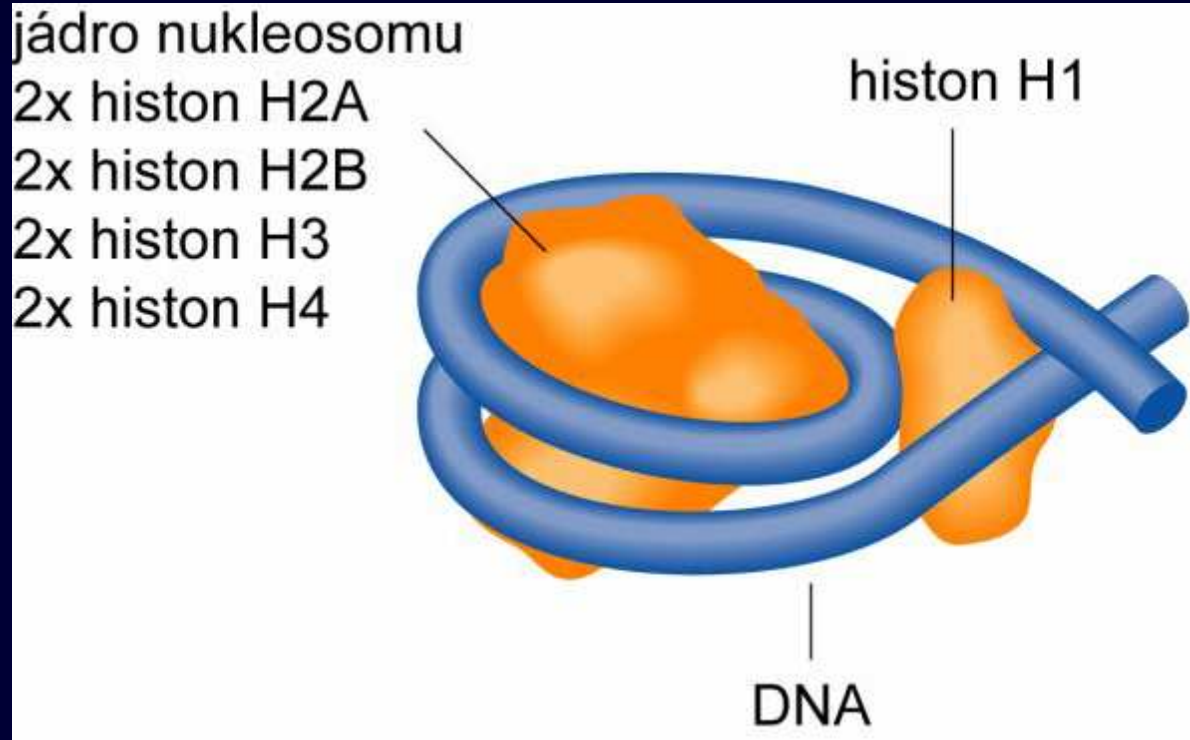


Berger et al., Genes Dev. (2009)

# Nucleosome



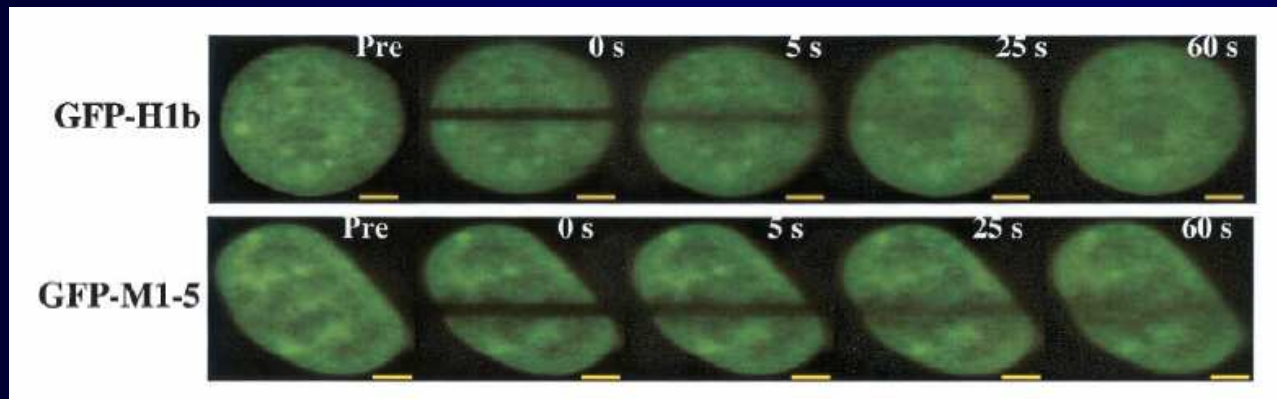




1. Buňka může existovat i bez významně redukováného množství H1.
2. H1 varianty nejsou hlavní determinanty buněčného fenotypu.
3. Funkce H1 variant je nejenom při utlumení transkripční aktivity ale také při její aktivaci (může snižovat nebo i zvyšovat expresi specifických genů).
4. H1 hraje důležitou úlohu v kondensaci chromatinu. Spíše je důležitý pro stabilizaci nukleosomů než pro vlastní řízení kondenzace chromatinu.
5. Experimentálně navozená redukce H1 vede ke zkrácení linkerové DNA

The linker histone H1 is involved in maintaining higher-order chromatin structures and displays dynamic nuclear mobility, which may be regulated by posttranslational modifications. H1 tail phosphorylation play in important role.

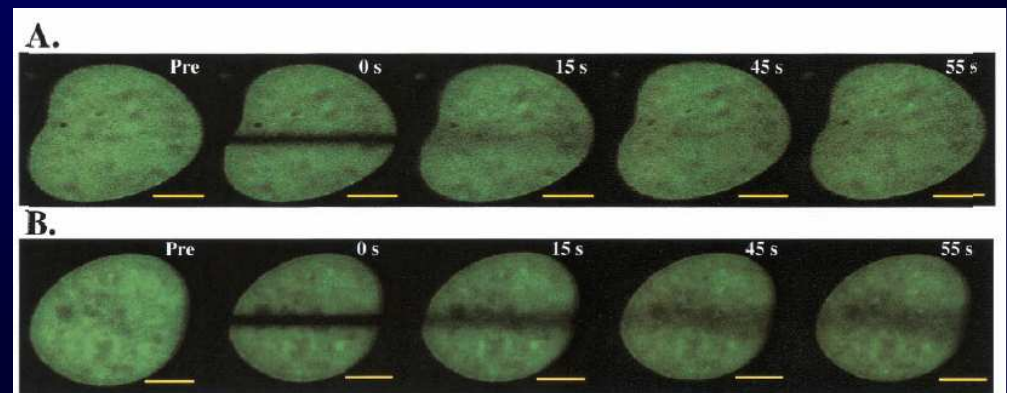
Using the technique of fluorescence recovery after photobleaching, Contreres et al., 2003 observed that the mobility of a GFP-wild-type H1 fusion protein is dependent on Cdk2 activity. GFP-H1 mobility was decreased in cells with low Cdk2 activity but not in the cells with bloked phophorylation of H1. **Decreased mobility of GFP-H1.**



Experiments of E. Meshorer

**Overexpression p21**

GFP-H1b



GFP-M1-5

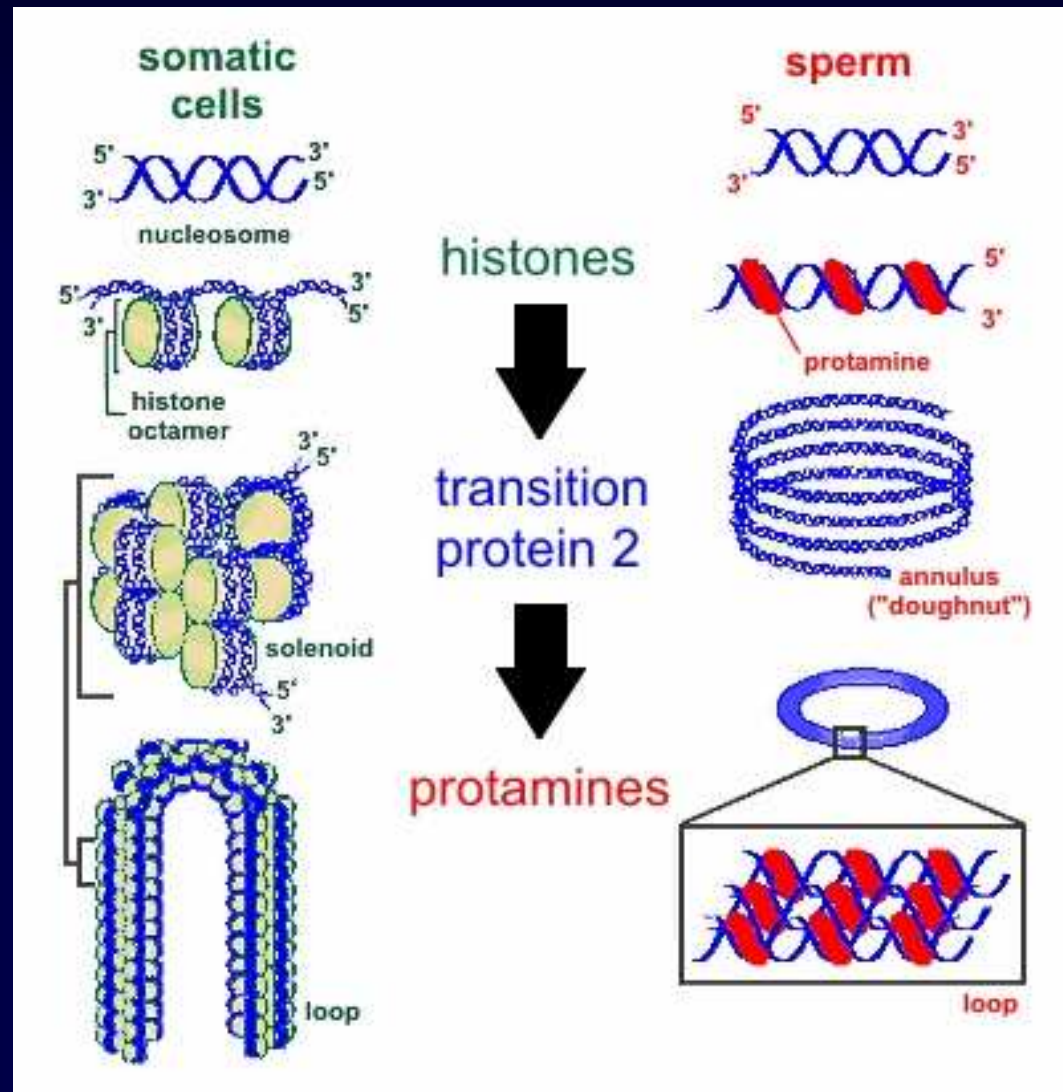
# Varianty histonů

**H1:** varianty H1<sup>o</sup>, H5 a testis-specific varianta H1. varianty H1 se různě uplatňují během buněčného cyklu, diferenciaci a vývoje. RA diferenciaci myších F9 je doprovázena zvýšenou transkripcí histonu H1<sup>o</sup>.

**H2A:** H2A.X, H2A.Z, MacroH2A, H2A-Bbd, H2AvD, H2A.X. varianta H2A.Z je konzervativní během evoluce. Macro H2A se vyskytuje u Xi, zatímco H2A-Bbd u Xa chromosomu a autosomů. H2A.Z se vyskytuje v intergenických oblastech.

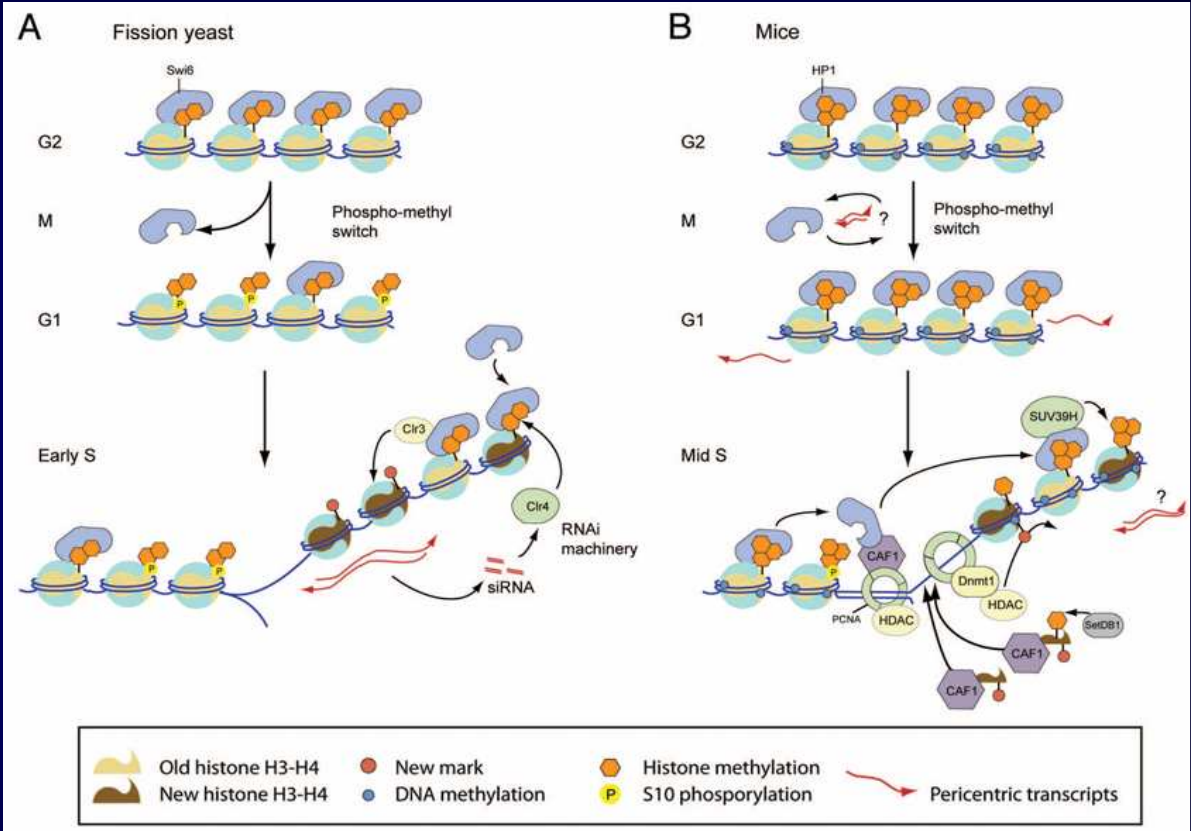
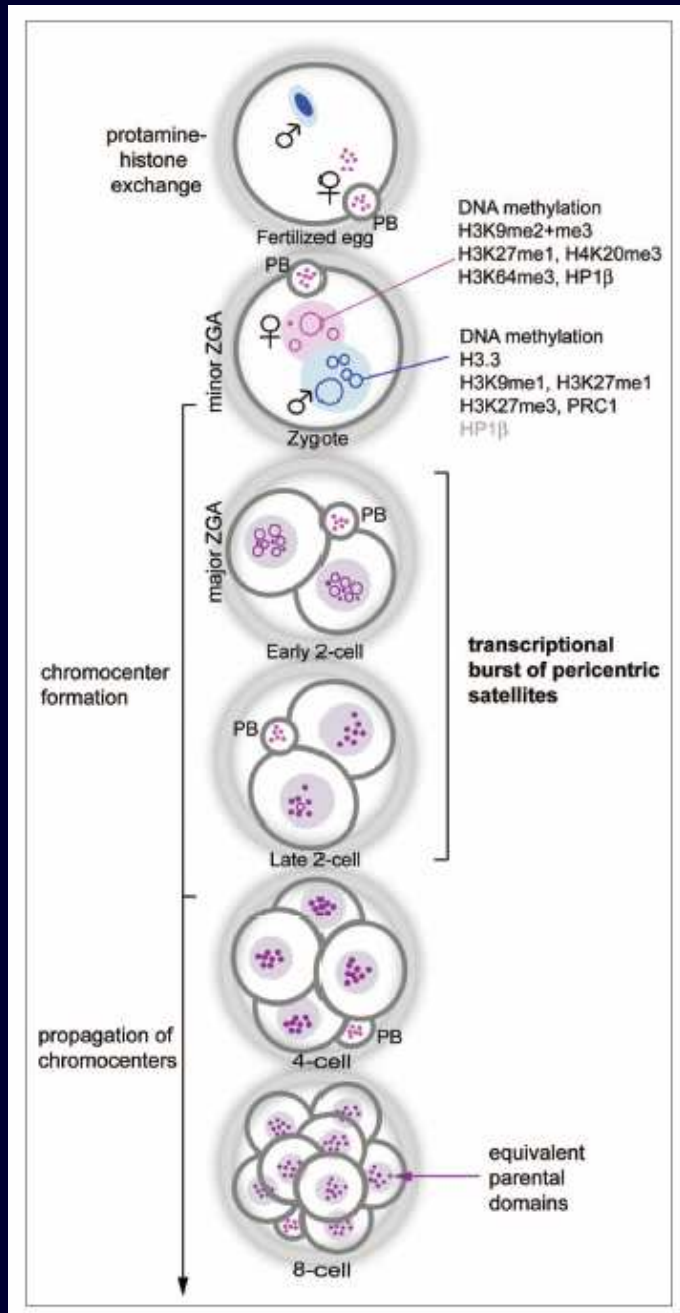
**H2B:** nemá varianty, uplatňuje se při regulaci kondenzace chromatinu, represi transkripce a během gametogeneze, H2B je zodpovědný za uspořádání chromatinu u spermií – nahrazení histonů protaniny

.

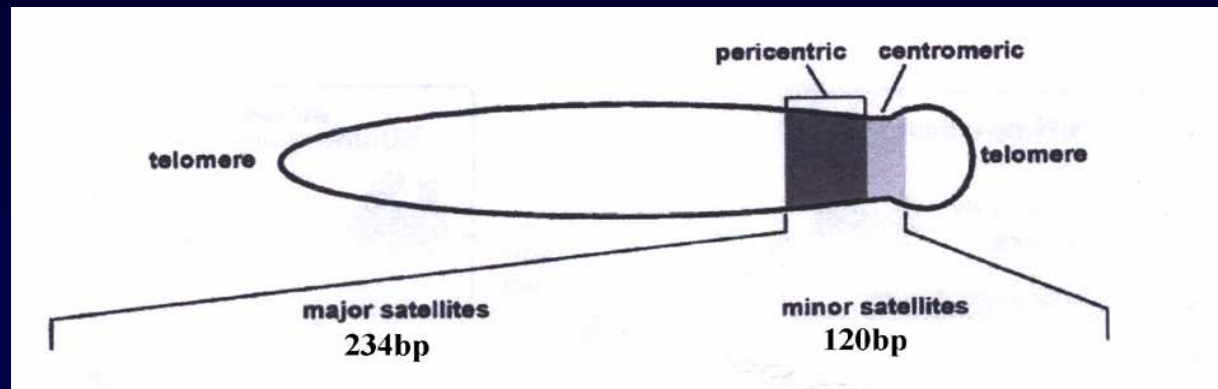


**Protamines (P1/P2)** are small, arginine-rich, nuclear proteins that replace histones late in the haploid phase of spermatogenesis and are believed essential for sperm head condensation and DNA stabilization. However, in humans and maybe other primates, 10-15% of the sperm's genome is packaged by histones thought to bind genes that are essential for early embryonic development.





Almouzni and Probst, Nucleus (2011)



## Varianty histonů

**H3: existují dvě hlavní**

**Varianty H3.3 a**

**centromerické varianty**

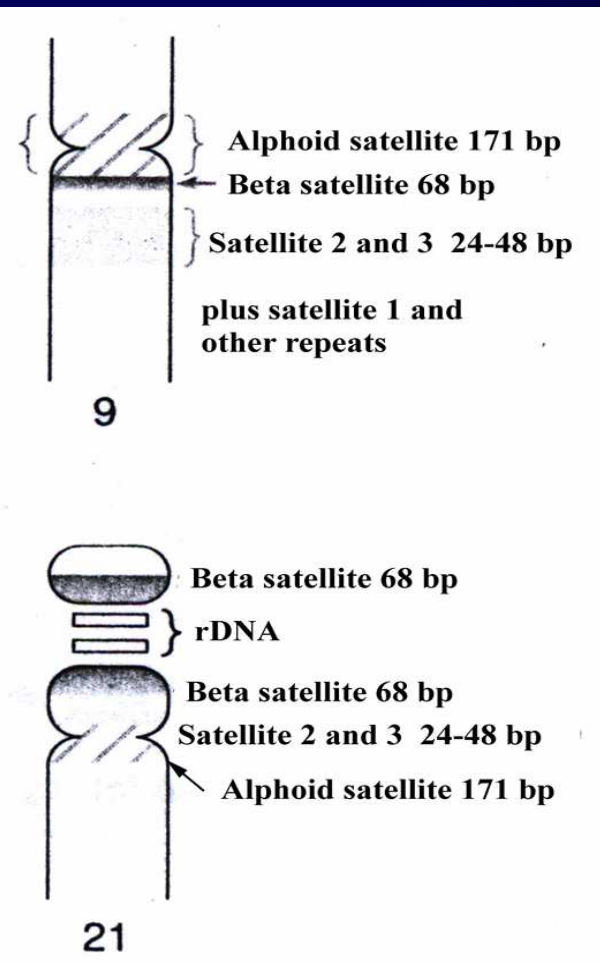
**H3 (cenH3) = CENP-A-Z:**

**jsou zodpovědné za**

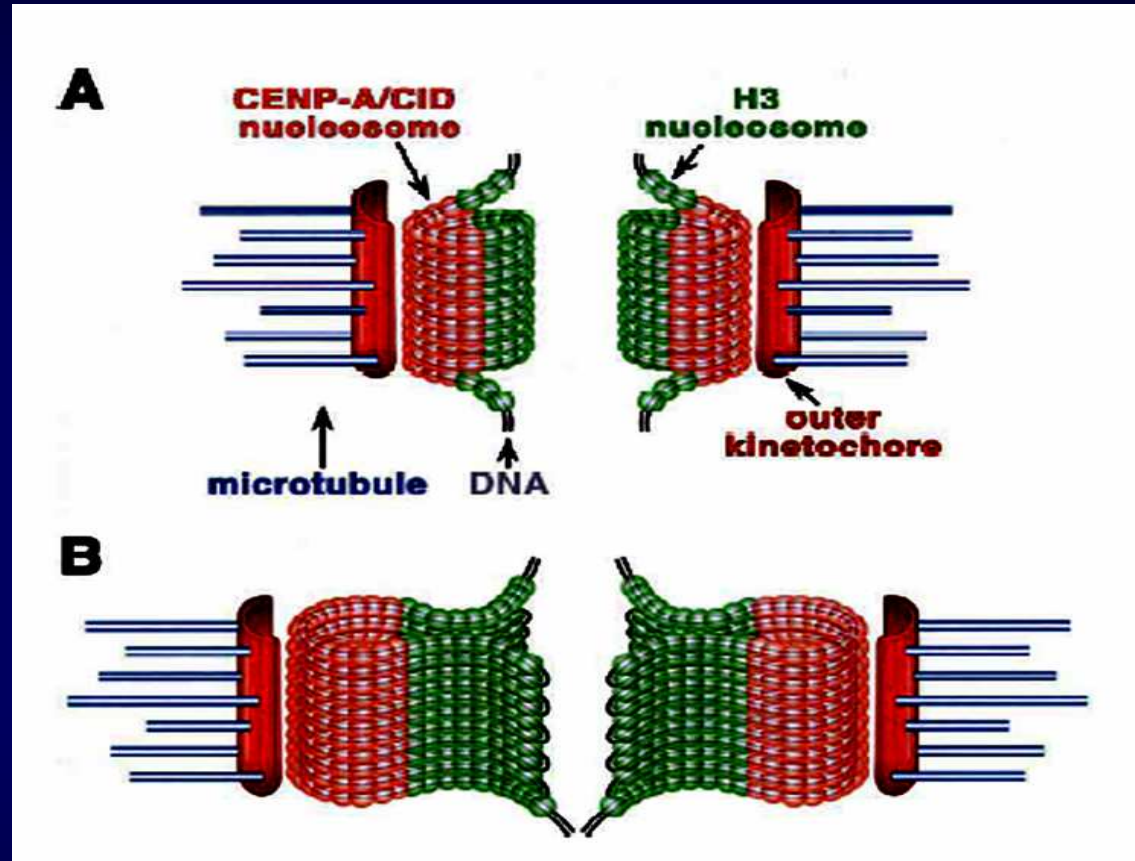
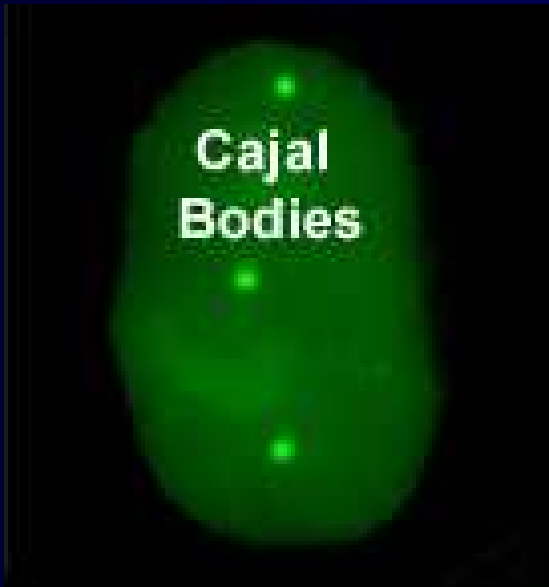
**vazbu kinetochoru a**

**segregaci sesterských**

**chromatid u eukaryot**



**Varianty histonů H3:** fosforylace CENP-A (Ser-7) je esenciální pro funkci kinetochoru. Overexprese CENP-A doprovází vznik aneuploidie u kolorektální karcinomů.



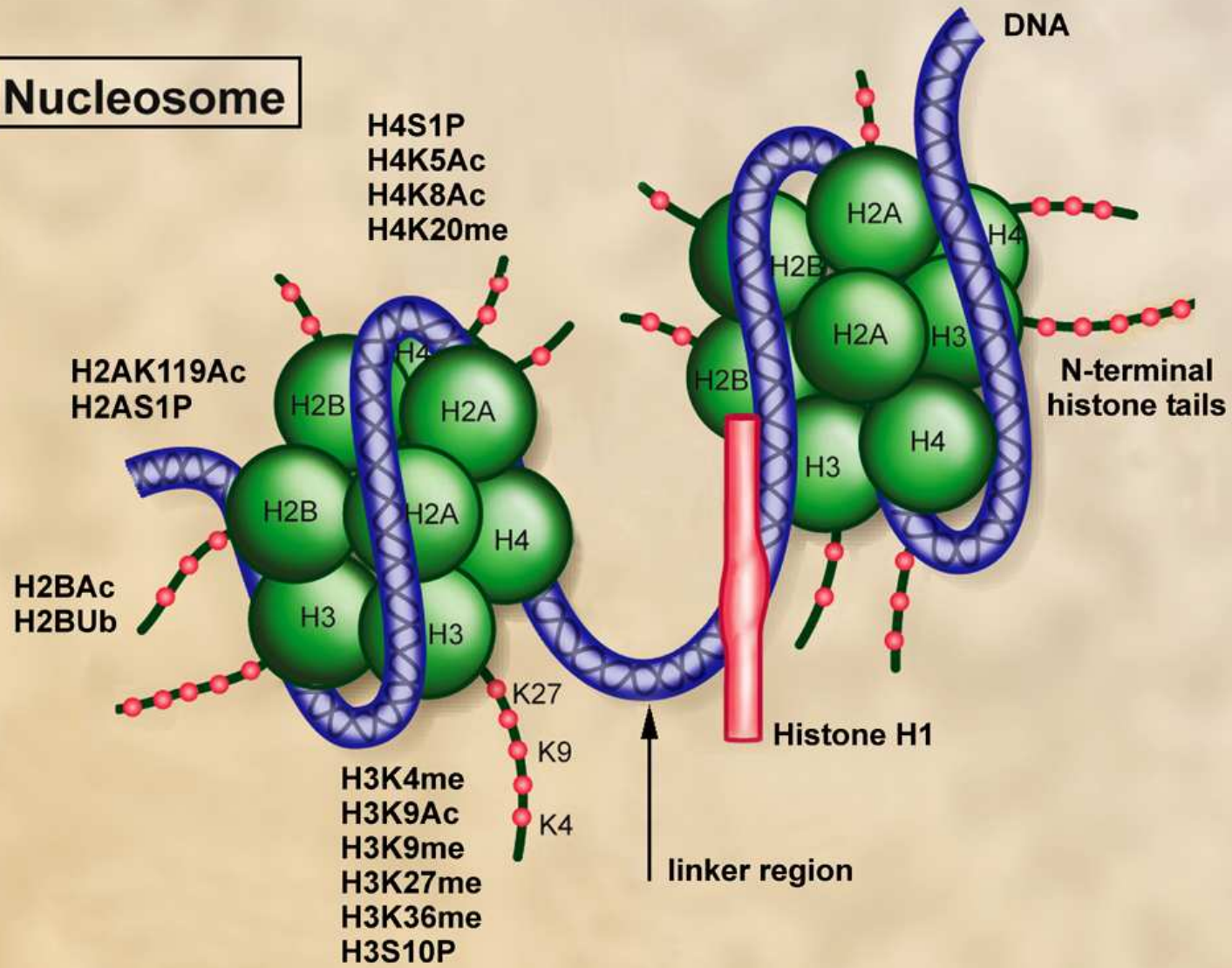
**Varianty histonů H4:** většina genů kódujících hlavní histonové proteiny jsou exprimovány během S fáze buněčného cyklu. V případě H4, geny jsou konstitutivně exprimovány během buněčného cyklu. Pro H4 nejsou známy žádné varianty. Úpravy pre-mRNA histonů probíhají v Cajal bodies.

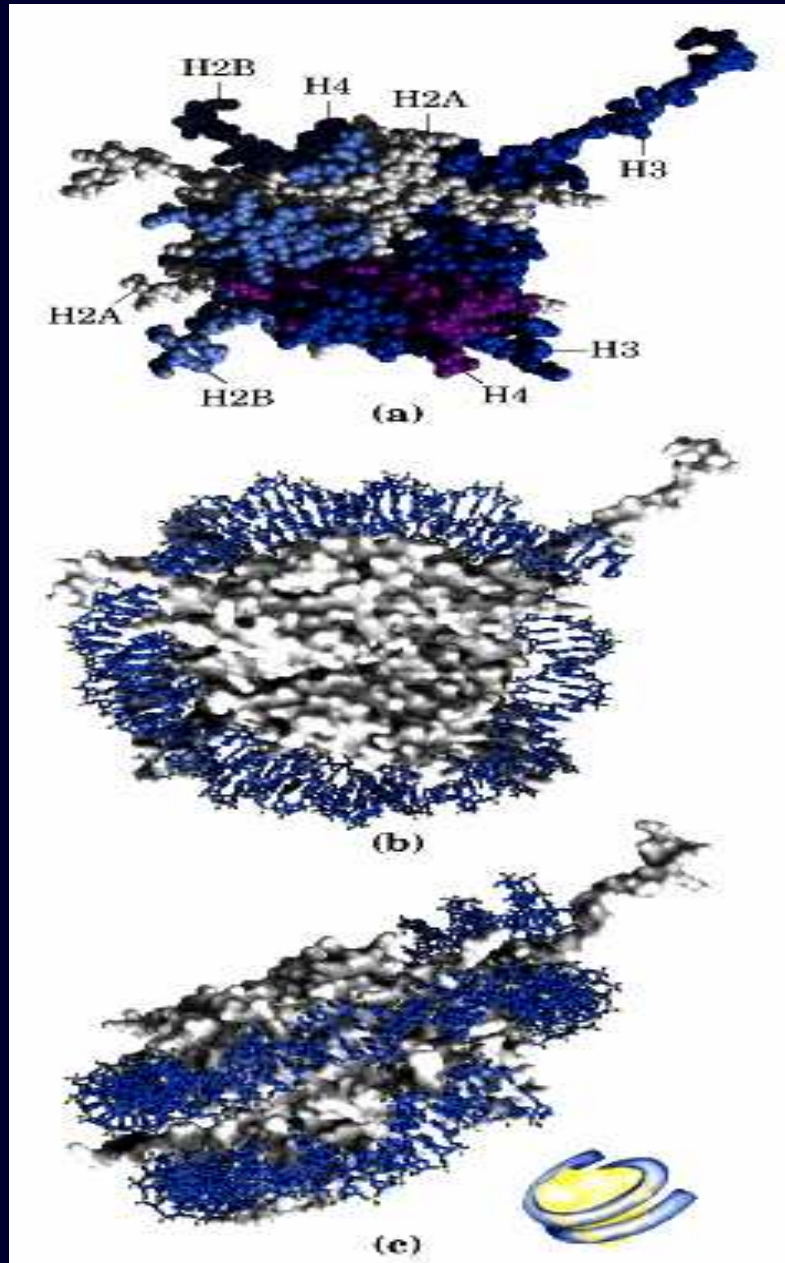
# Biochemické modifikace histonů



- **Dynamická struktura chromatinu je přímo ovlivněná post-translačními modifikacemi N-terminálních konců histonů**
- **Typy histonových modifikací:**
  - a) acetylace,**
  - b) methylace,**
  - c) fosforylace,**
  - d) polyadenylace,**
  - e) ubiquitinace**
- **Methylace histonů byla objevena již před 30 lety.**

# Nucleosome





Vztah mezi acetylací a metylací histonů: acetylace histonů je katalyzována histonovými acetyltransferázami (HATs) a odstraňována histonovými deacetylázami (HDACs). HDACs odstraní acetyl skupinu, která je nahrazena methyl skupinou za účasti HMTs (Suv39H1- human, Clr4 – *S.pombe*)

2004: Objev demethylace histonů za účasti aminové oxidasy **LSD1 (KIAA0601)** (Shi et al., Cell 2004). LSD1 specificky demethyluje H3 (K4), epigenetickou modifikaci zodpovědnou za transkripční aktivitu.

**HATs:** HAT1, PCAF, CBP/p300, TFIIC90, ELP3, SRC1, CLOCK  
(see Allis et al., 2007).

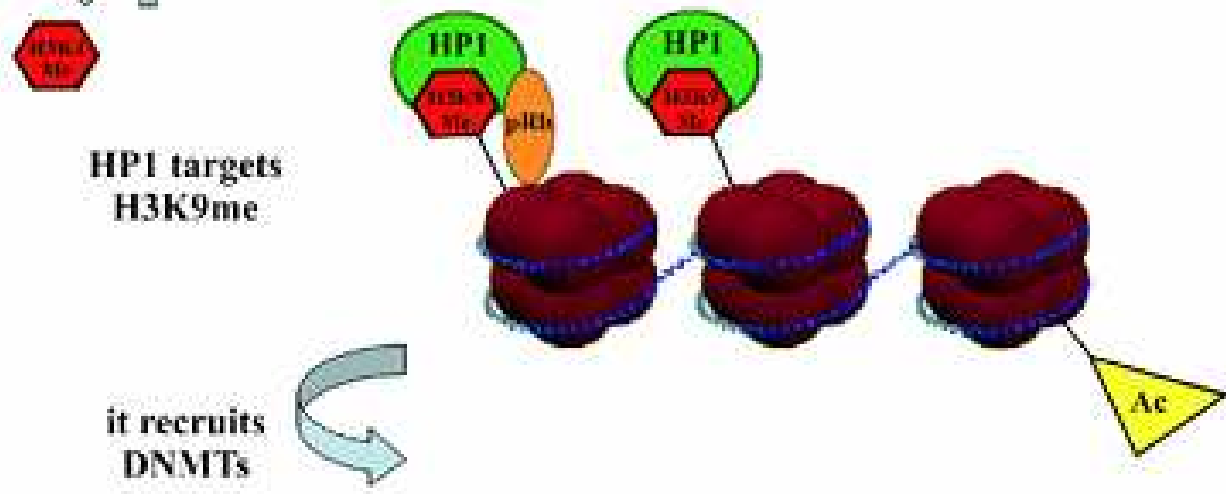
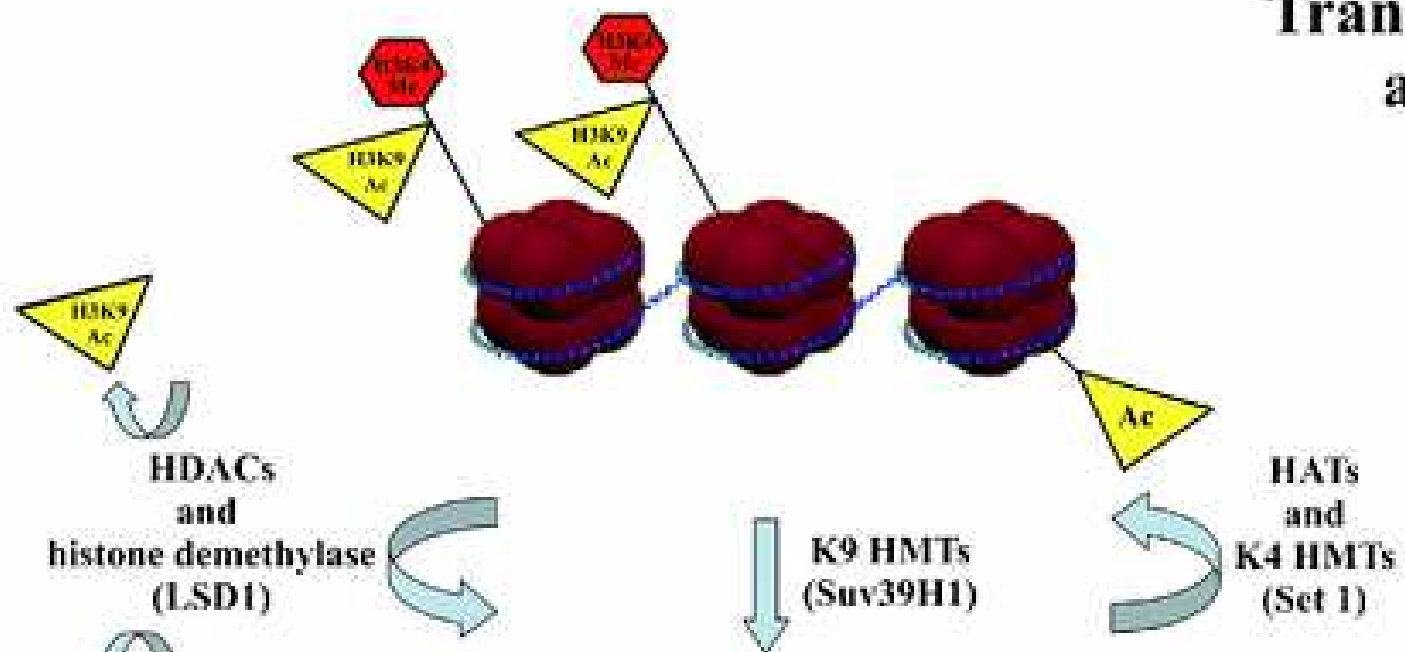
**HDACs:** Class I, II, III

**HMTs:** SUV39H1, SUV39H2, G9a, MLL1, hSet 1, hSet 2, SUV4-20H1, SUV4-20H2, EZH2 (PcG silencing)

**Demethylases:** LSD1 (antagonizuje H3K4me-transcriptional activation), JHDM1b (H3K4me3), Jmjd2b (H3K9me3), JHDM2a, JMJD2B (antagonizuje H3K9me2/me3 - heterochromatin formation)

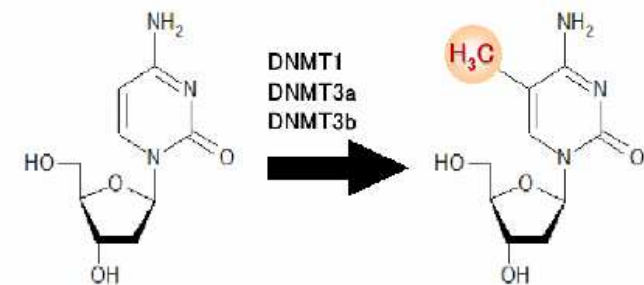
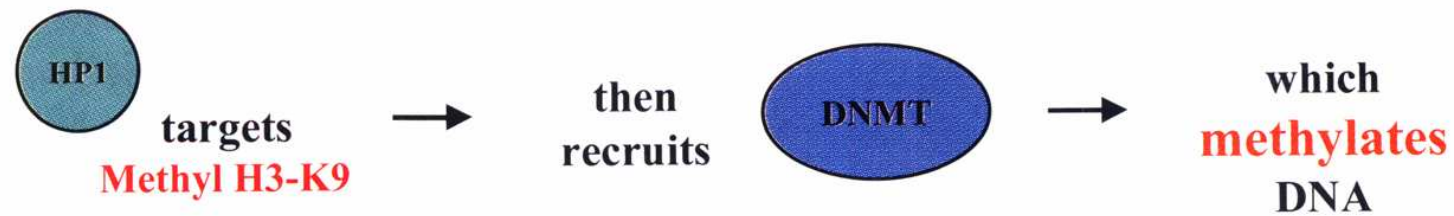
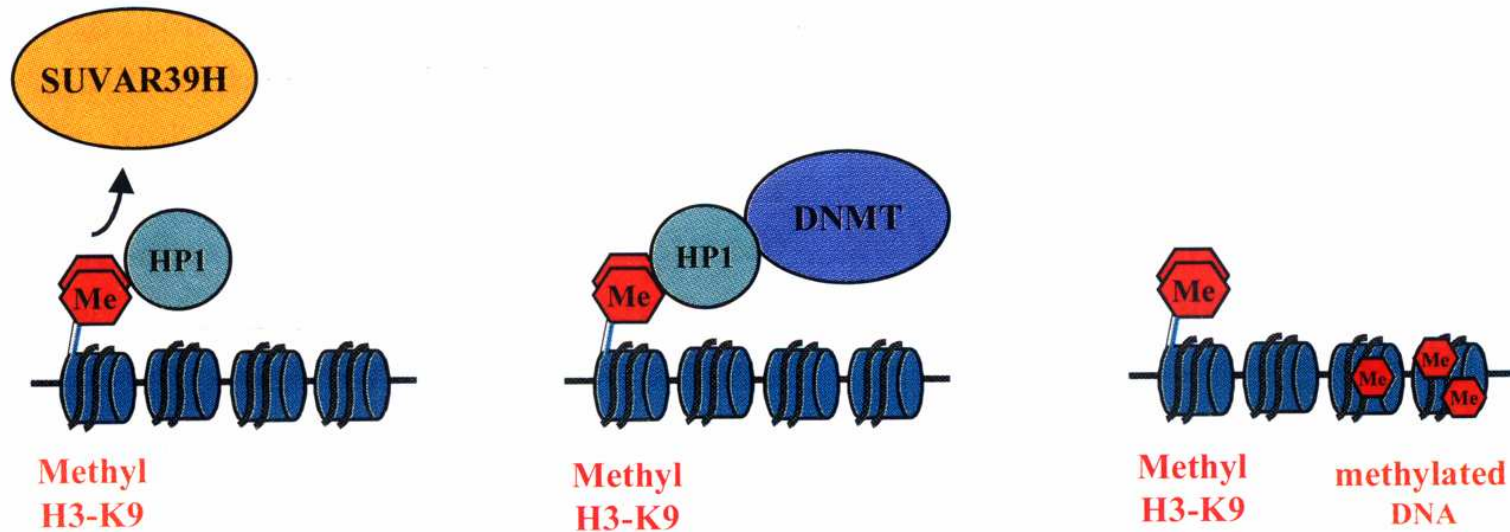


# Transcriptional activity

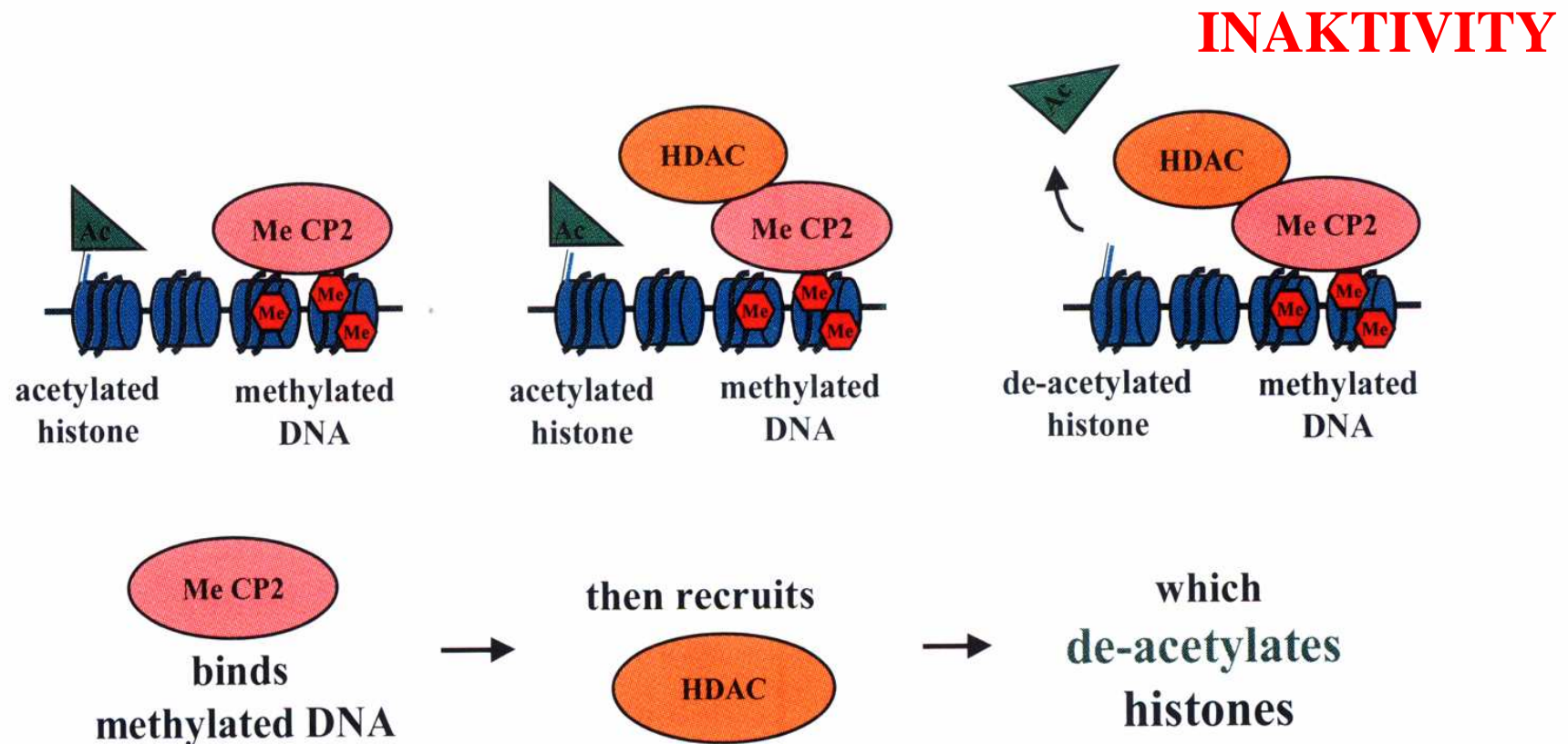


# Silencing of euchromatic loci

# Histone H3-K9 methylation induces DNA methylation



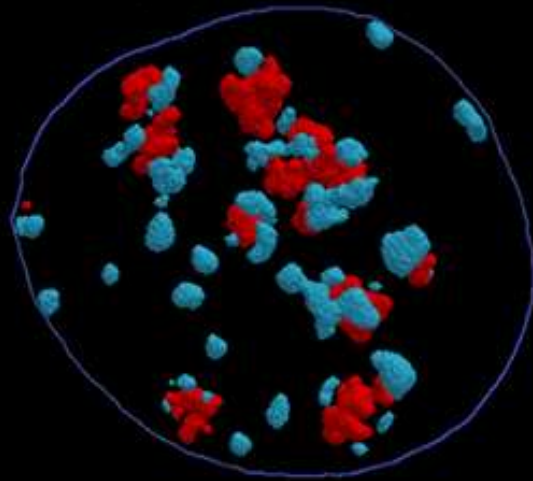
## DNA methylation induces histone de-acetylation



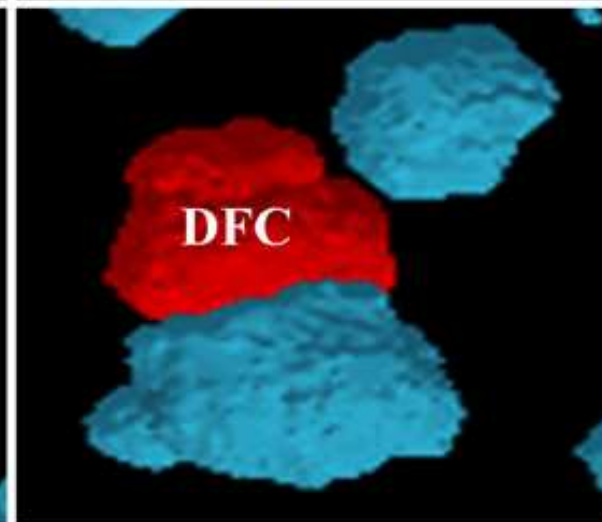
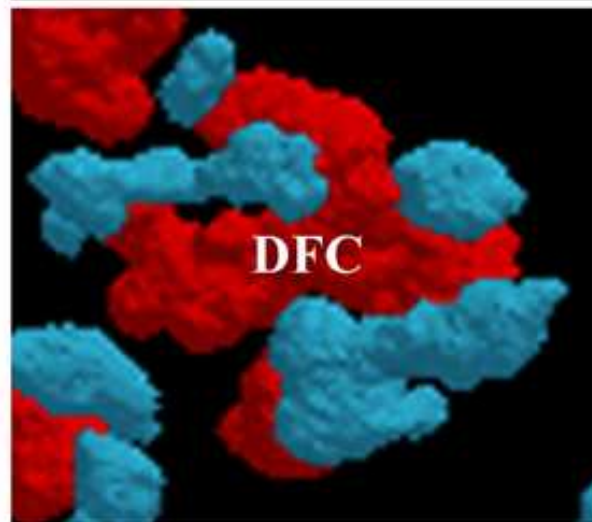
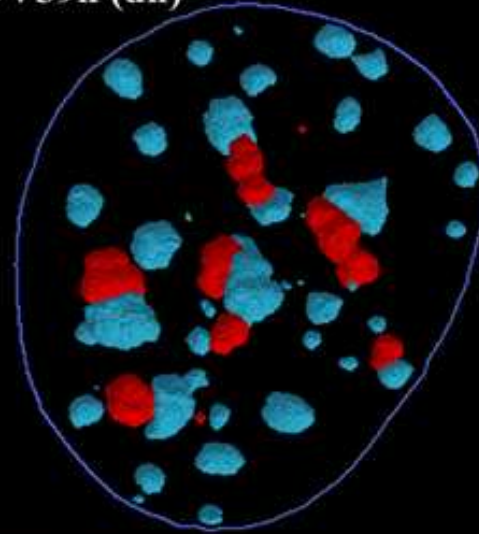
MeCP2: Methyl-CpG binding Protein, specifically binds to to methylated DNA

## Fibrillarlin / Chromocenters

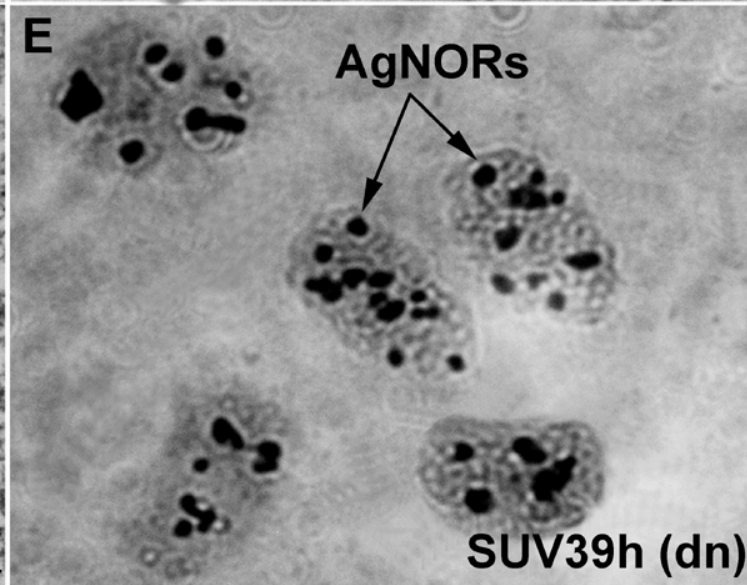
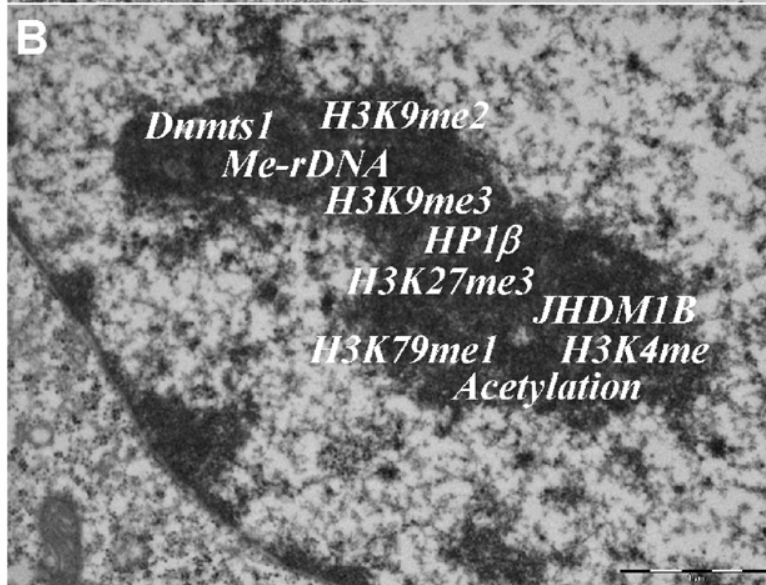
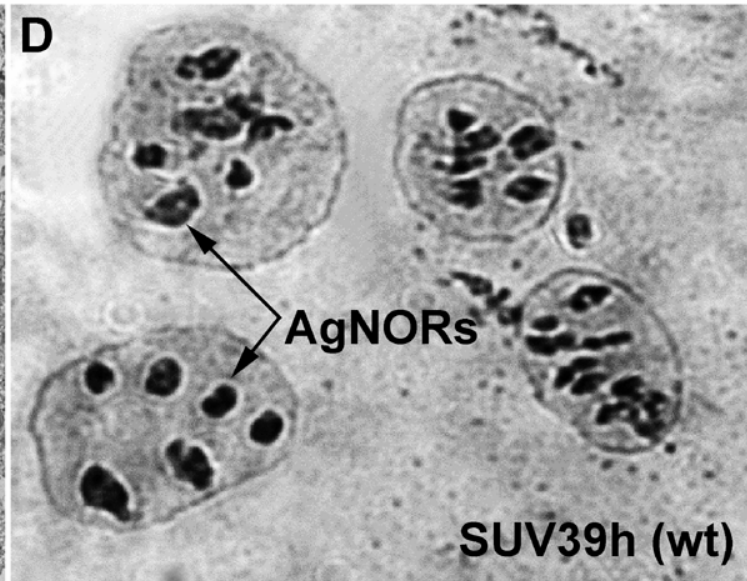
SUV39h (wt)

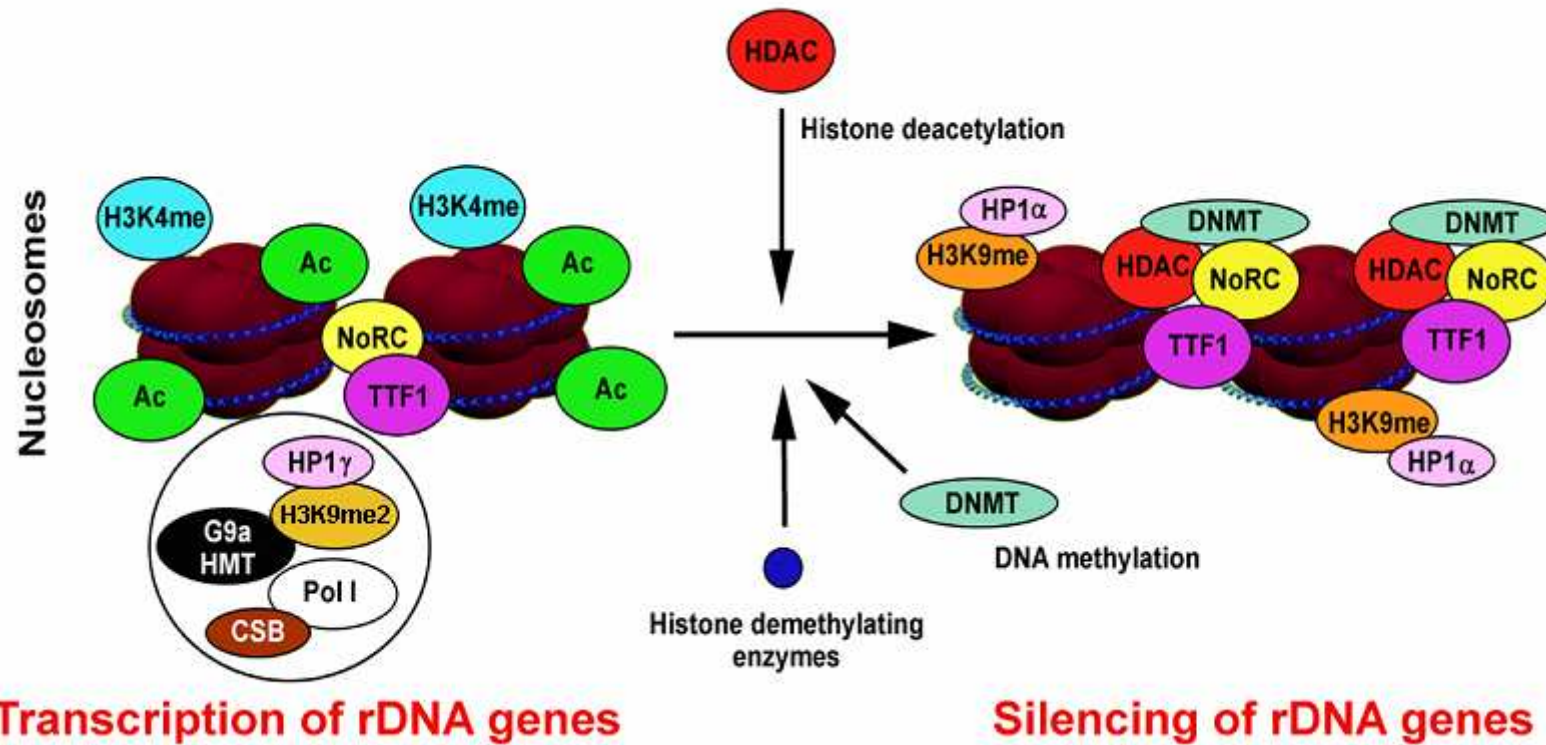


SUV39h (dn)



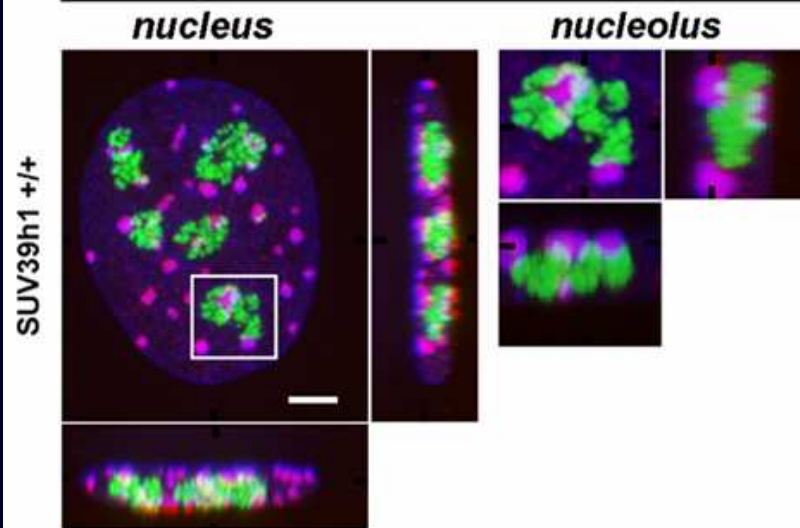




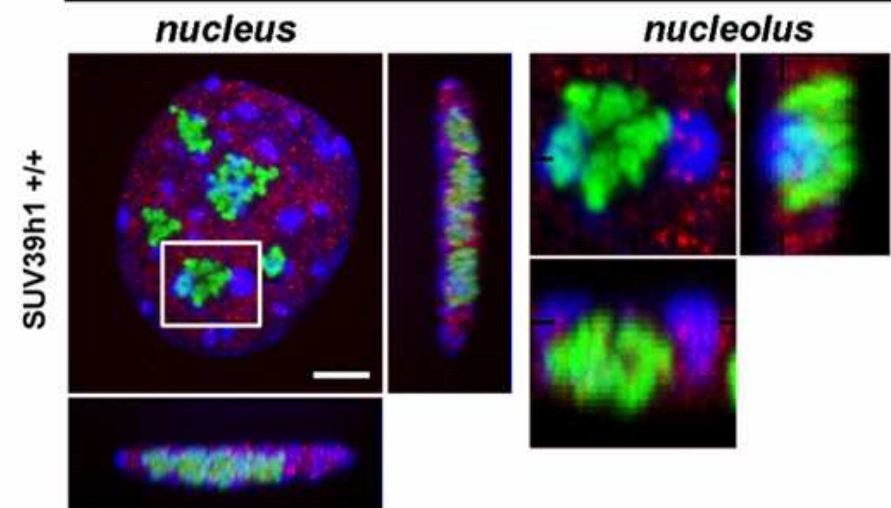




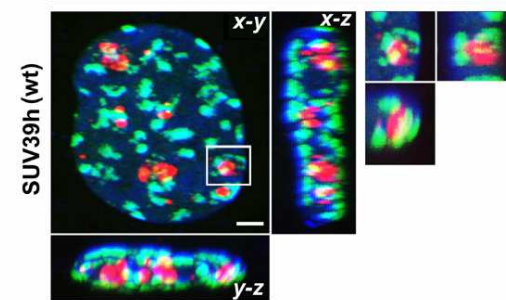
### Fibrillarin / HP1 $\alpha$ / DNA



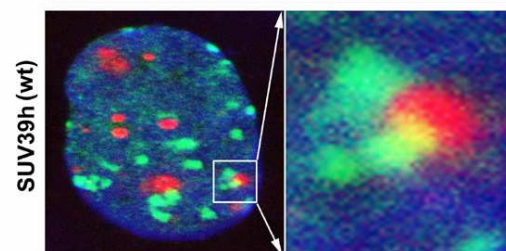
### Fibrillarin / HP1 $\gamma$ / DNA



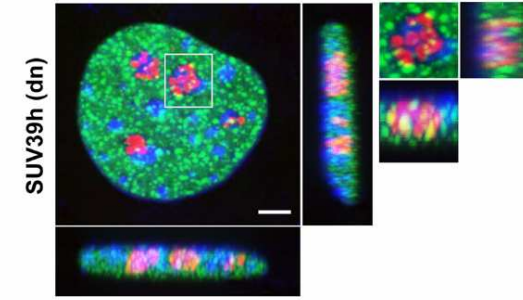
### a Fibrillarin / GFP-HP1 $\beta$



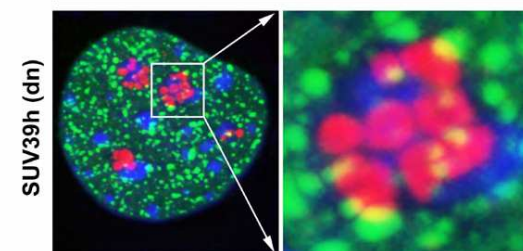
### individual confocal section



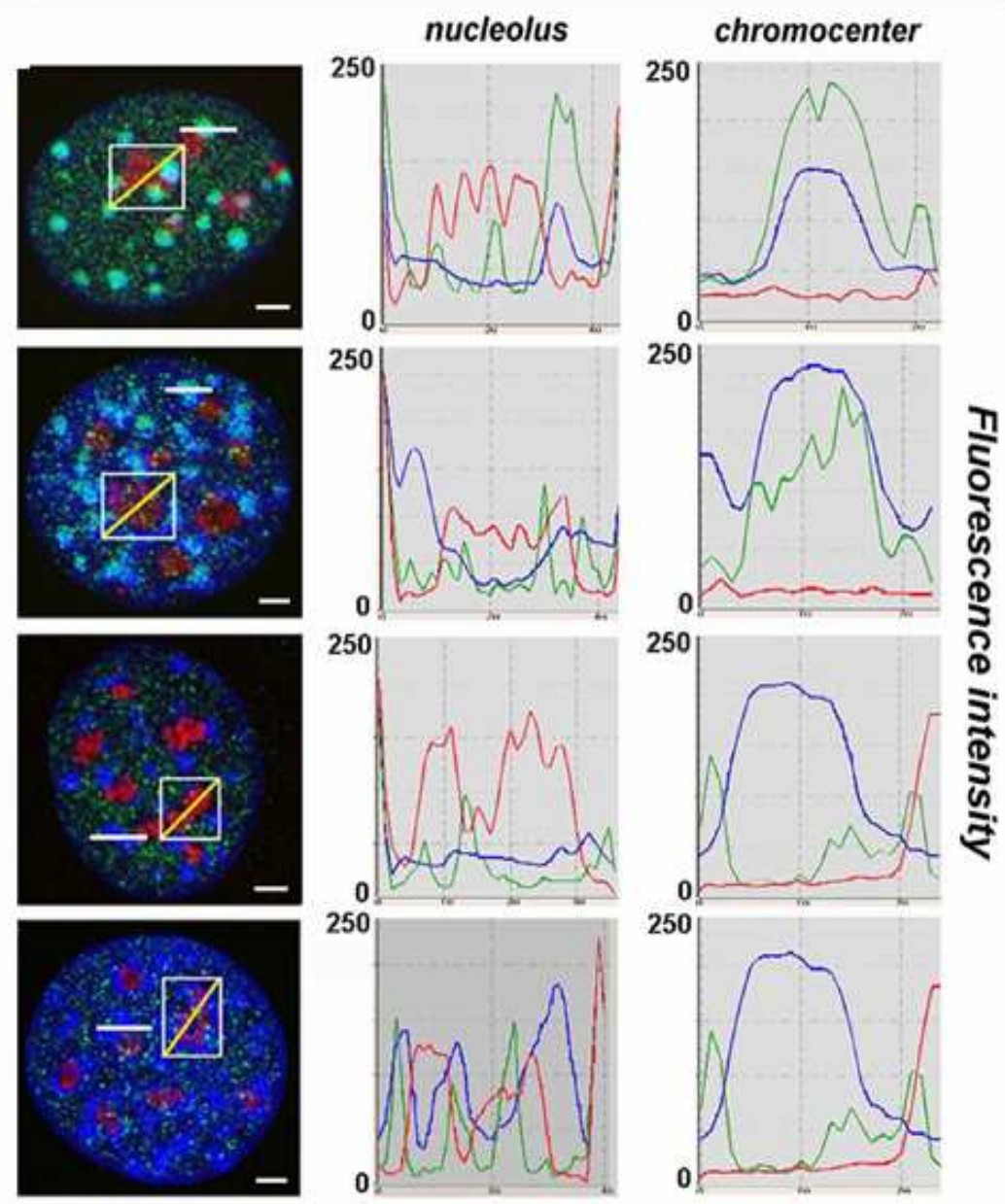
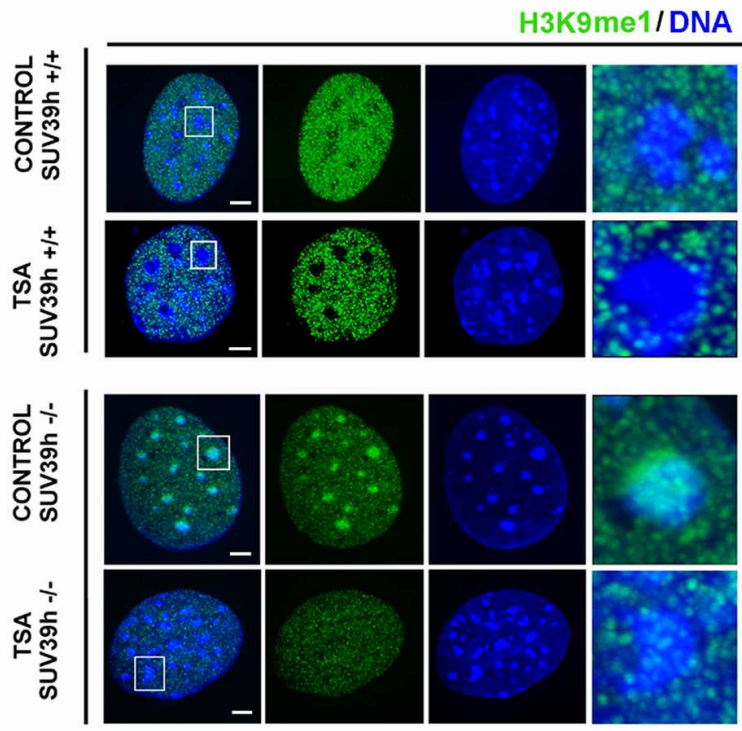
### b Fibrillarin / GFP-HP1 $\beta$



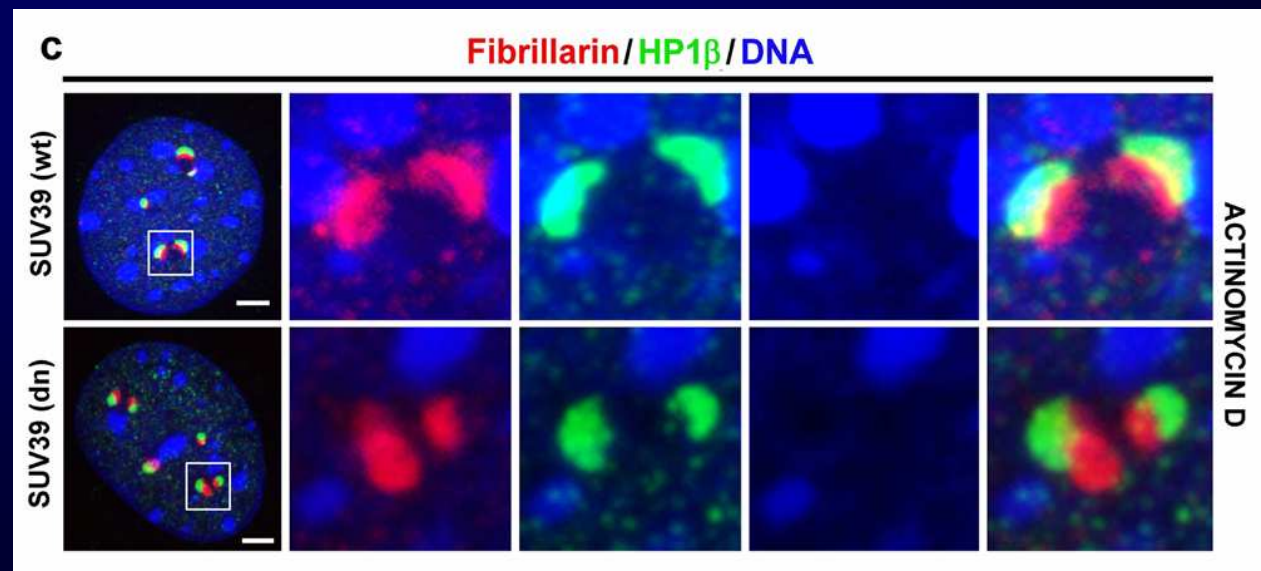
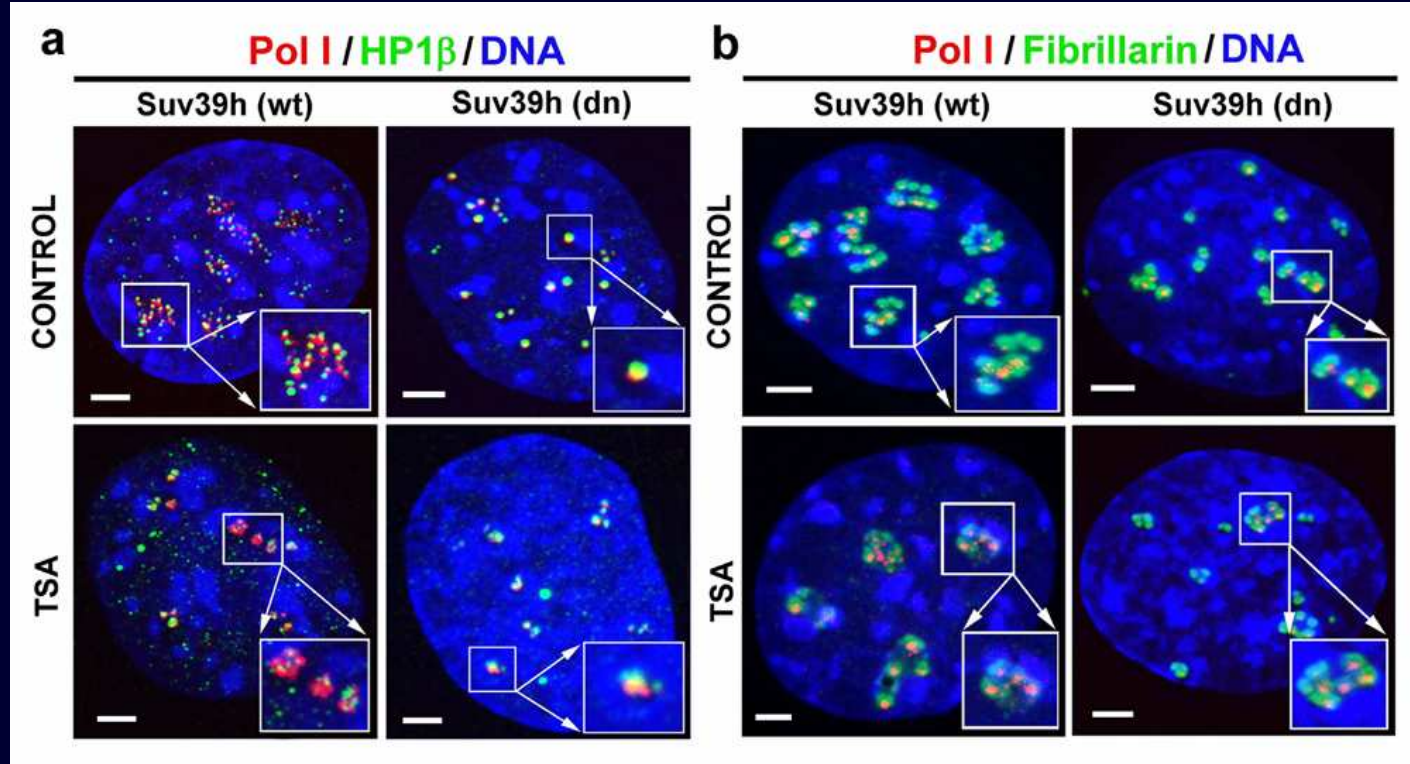
### individual confocal section

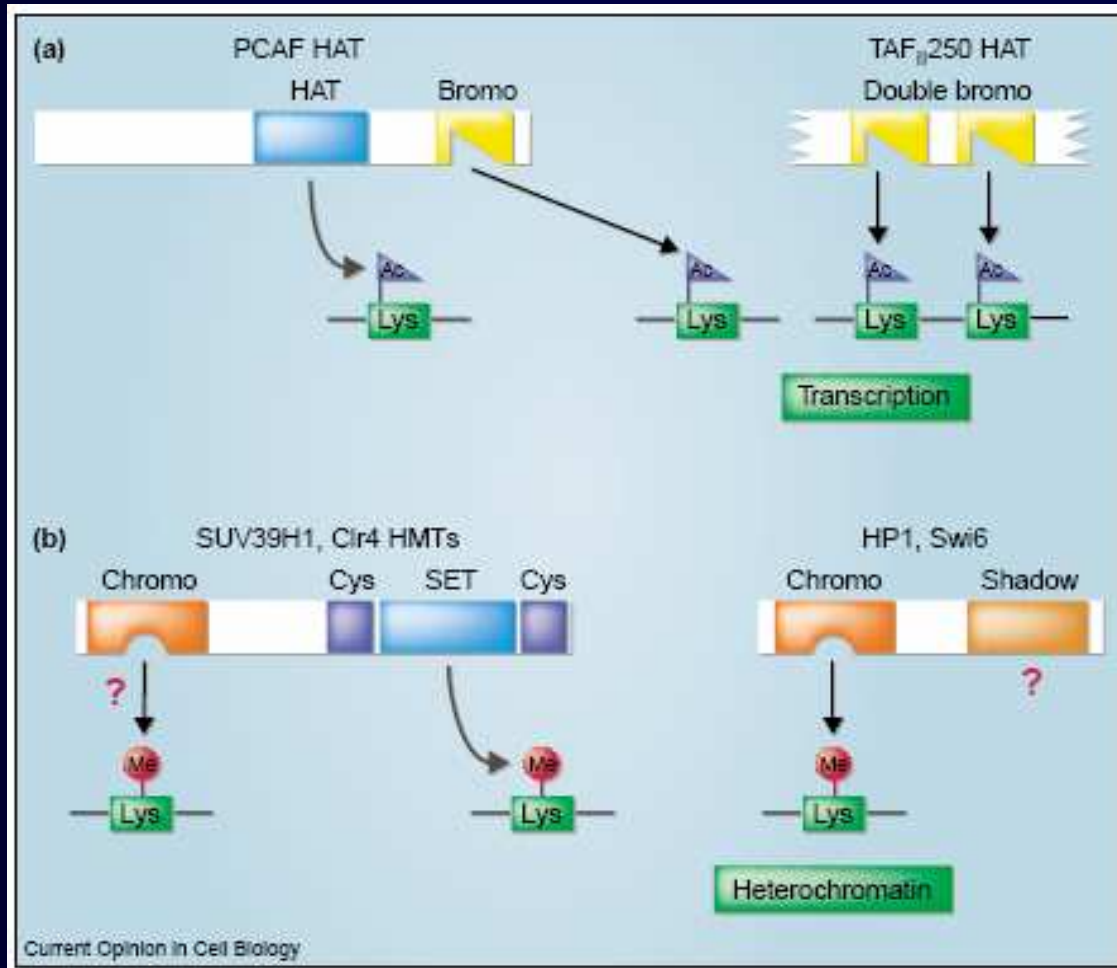


# Fibrillarin / H3K9me3 / DNA







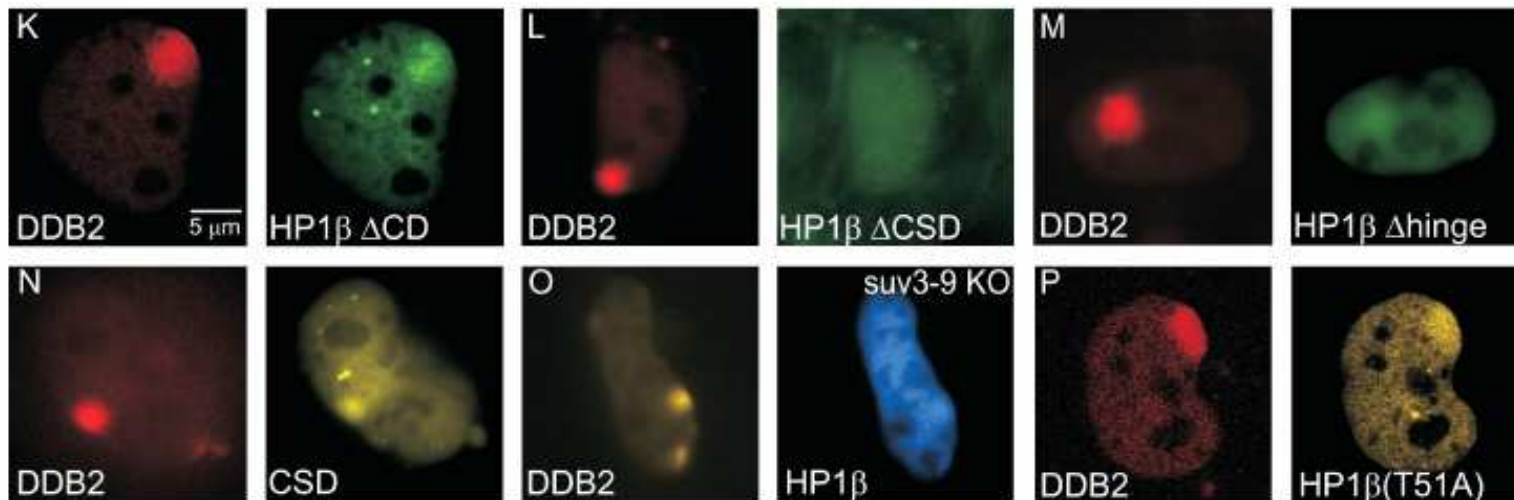
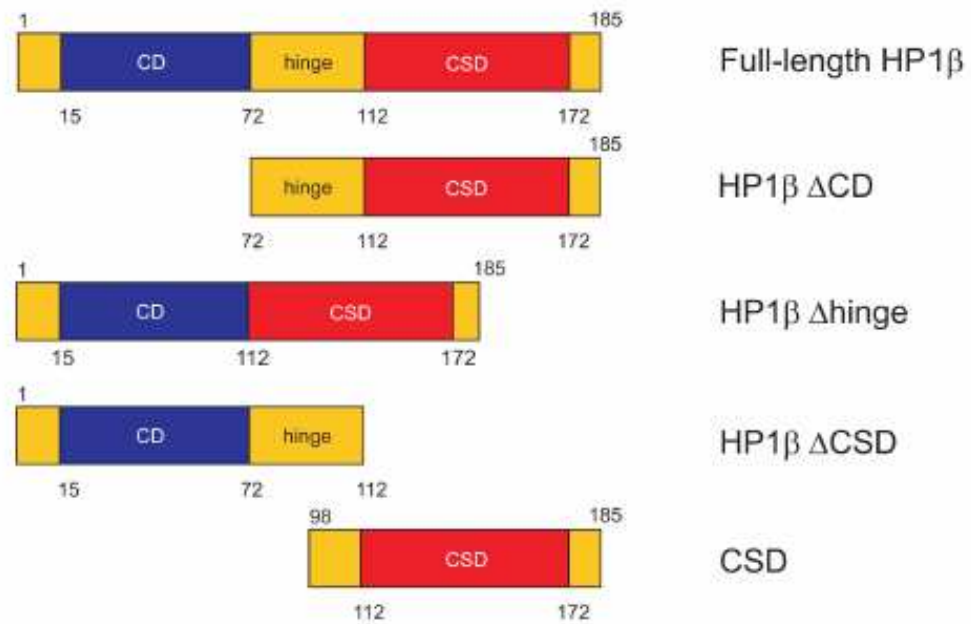


## HP1 protein

CD: protein-chromatin

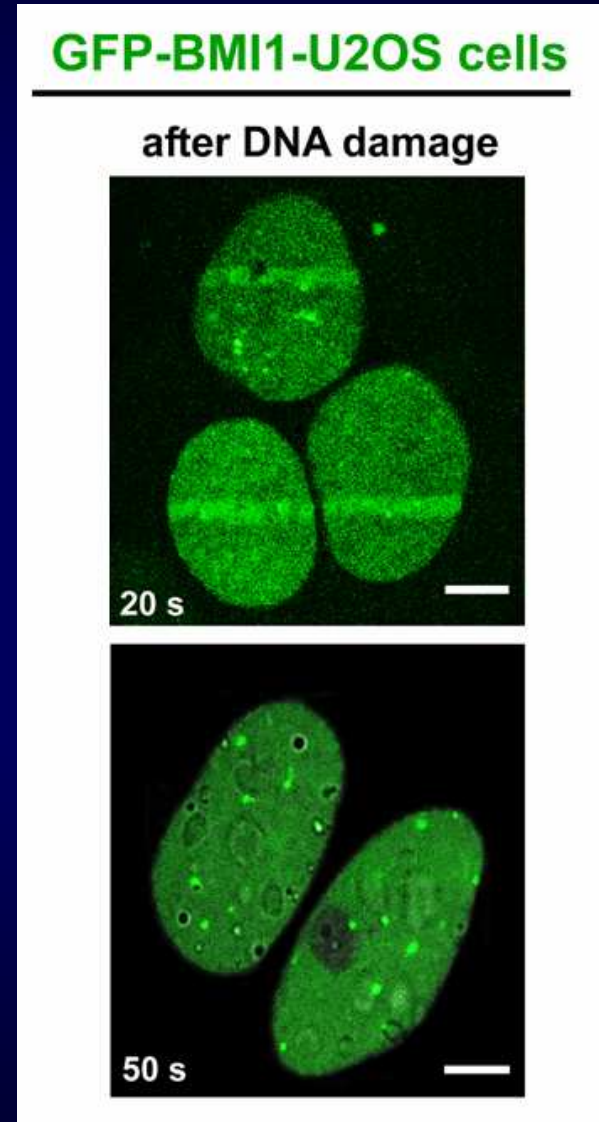
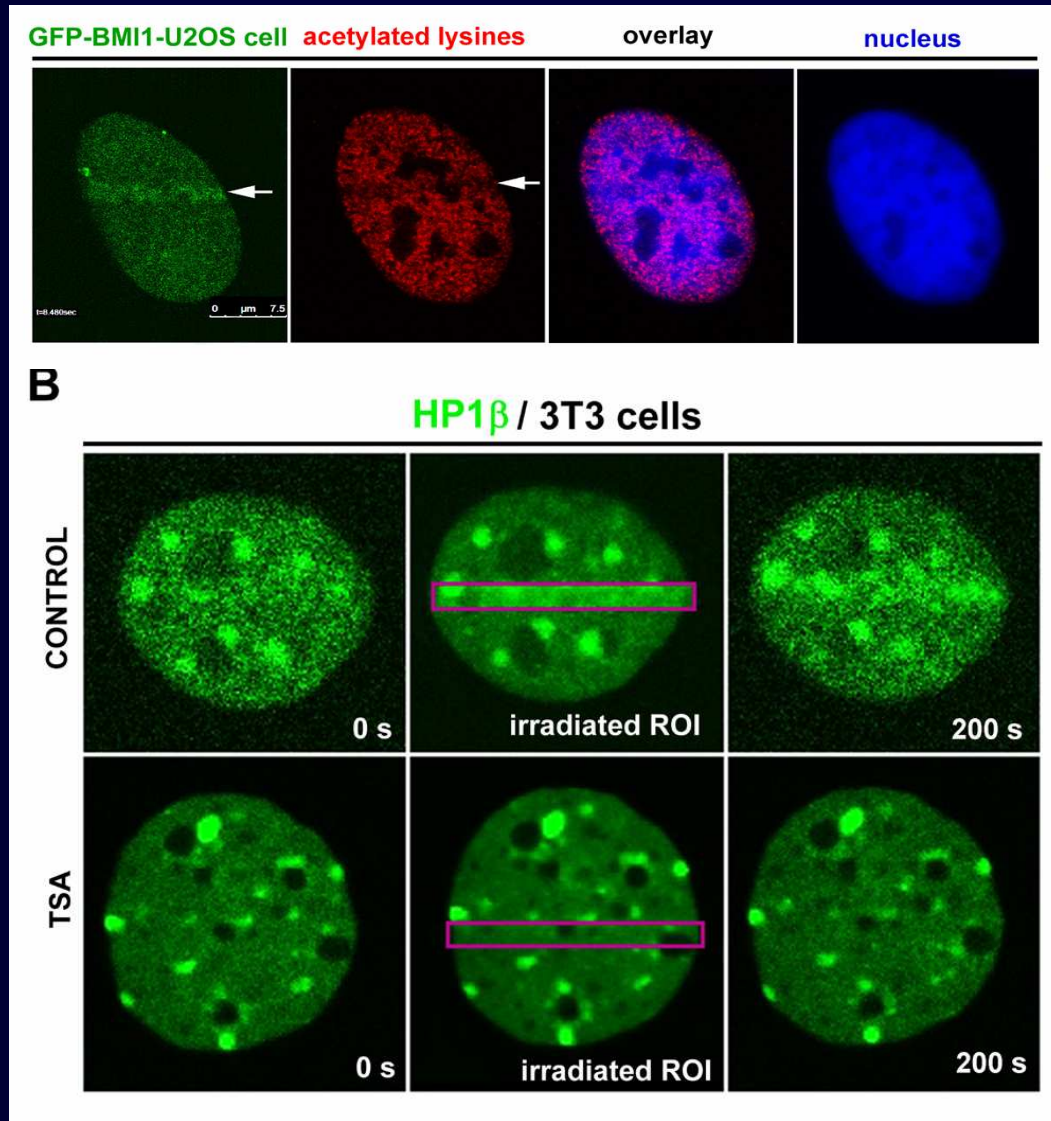
CSD: protein-protein

HD: HP1-to-DNA and linker histones





# HP1 $\beta$ protein in DSBs



**A**

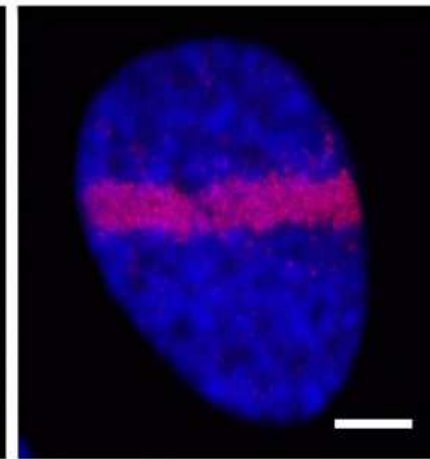
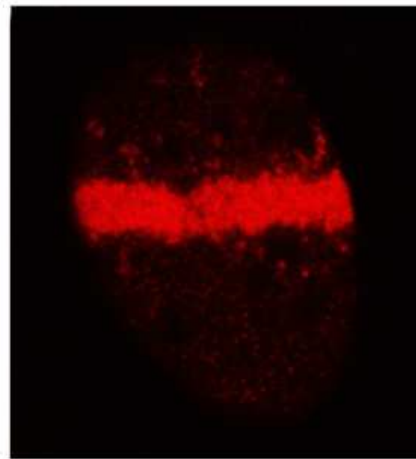
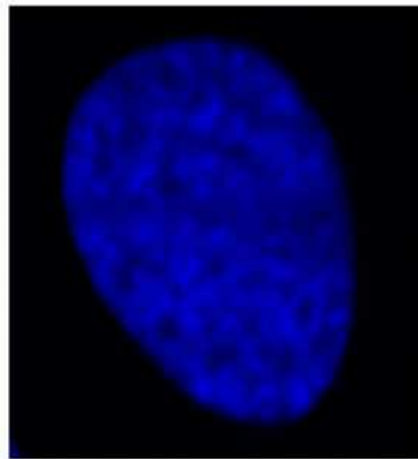
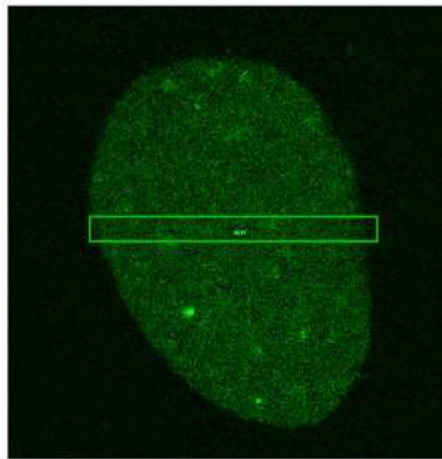
GFP-BMI1-U2OS cell  
micro-irradiated

Nucleus

$\gamma$ H2AX

$\gamma$ H2AX / Nucleus

Non-treated cells



Experiments of Gabriela Šustáčková



# DNA repair

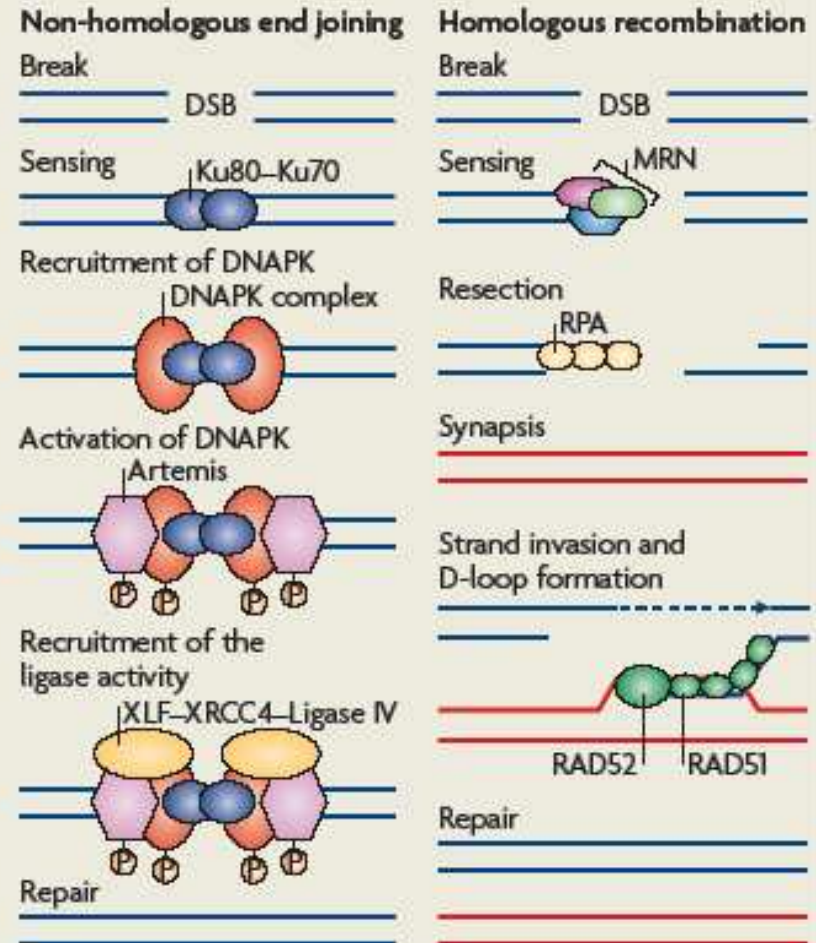
## Box 1 | The two main types of double-stranded DNA-break repair

### Non-homologous end joining

A DNA lesion (a double-stranded DNA break (DSB)) is sensed by the Ku80–Ku70 heterodimer, which in turn recruits the DNA-dependent protein kinase catalytic subunit DNAPKcs, resulting in assembly of the DNAPK complex and activation of its kinase activity (see the figure; left panel). Increasing evidence suggests that DNAPK functions as a regulatory component of non-homologous end joining (NHEJ), potentially facilitating and regulating the processing of DNA ends. DNAPK also increases the recruitment of XRCC4, DNA ligase IV, XLF and Artemis, which carry out the final rejoining reaction.

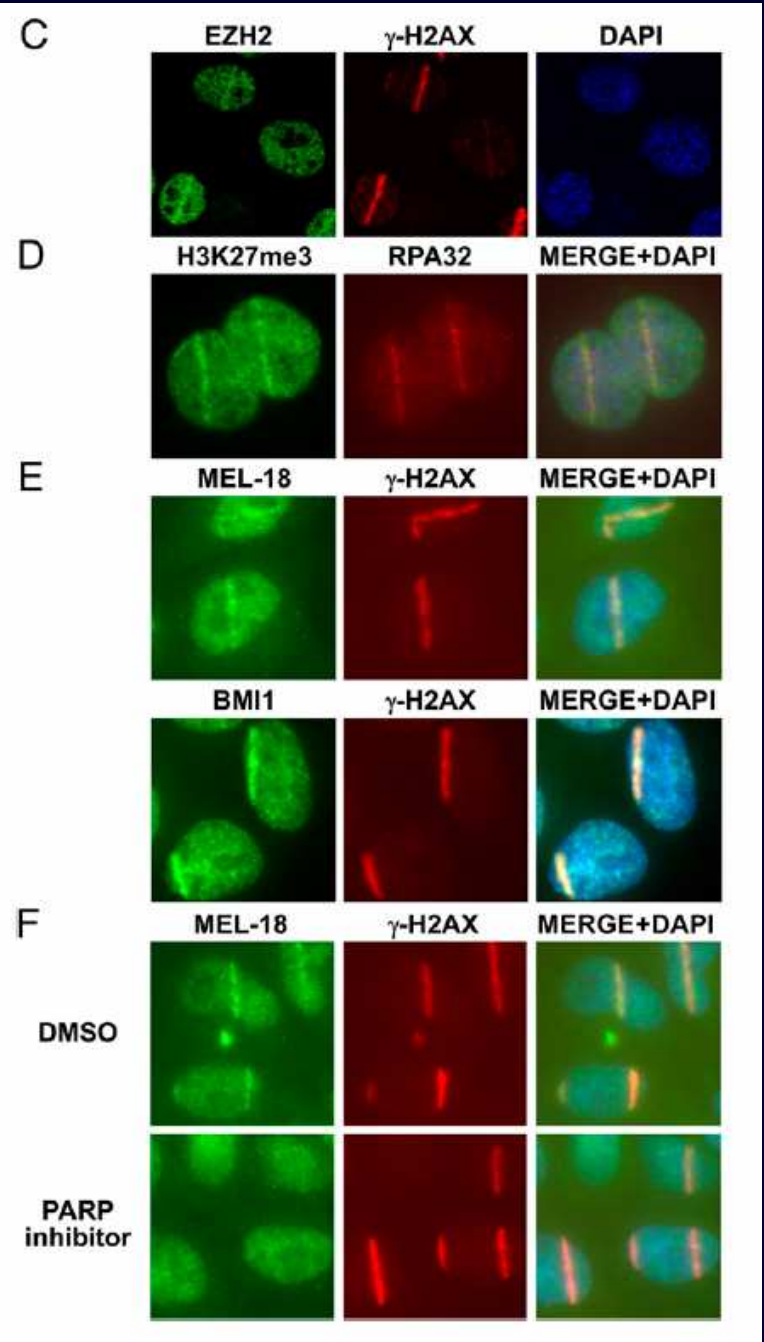
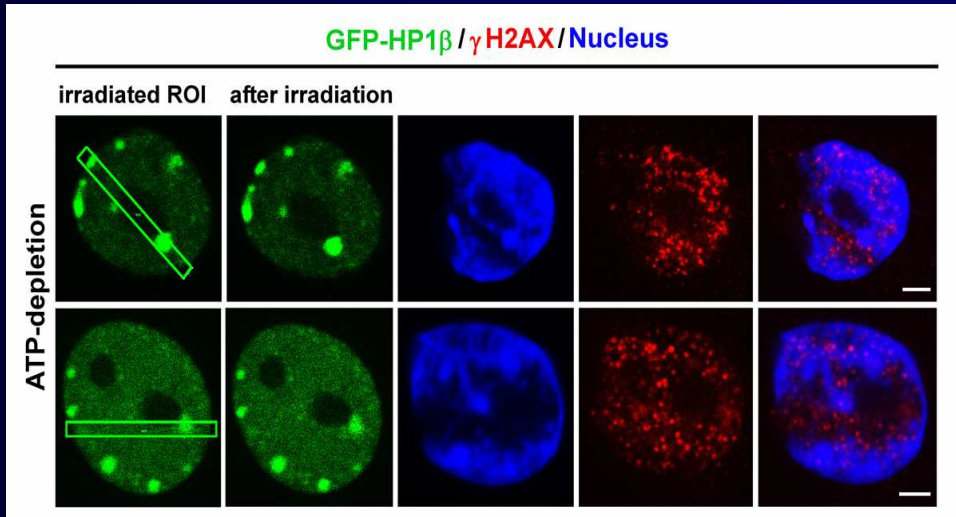
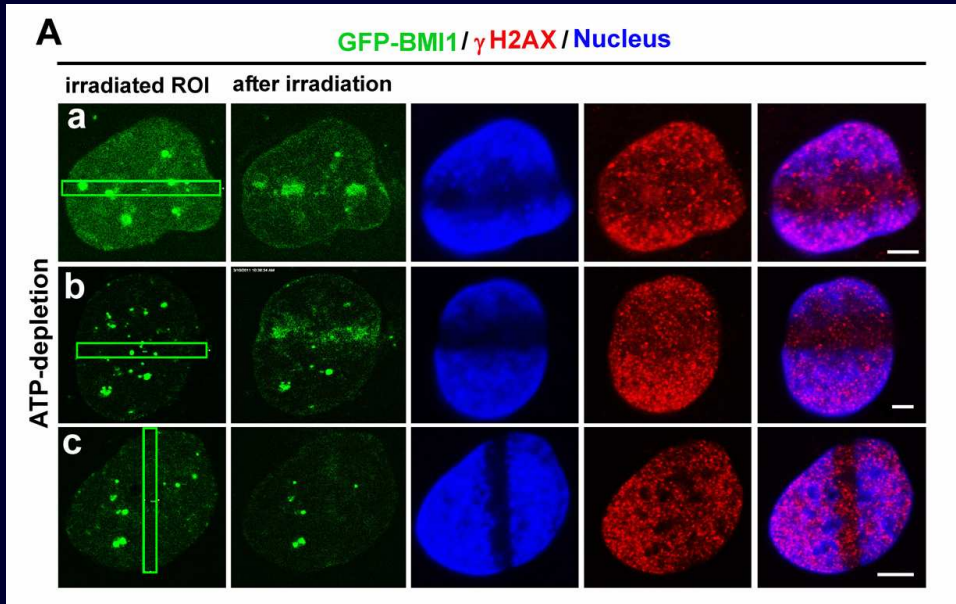
### Homologous recombination repair

A DNA lesion is recognized by the MRN (MRE11–RAD50–NBS1) complex, which is recruited to the DSB to generate single-stranded DNA by resection (see the figure; right panel). The single-stranded ends are bound by replication protein A (RPA), RAD51 and RAD52 and can subsequently invade the homologous template, creating a D-loop and a Holliday junction, to prime DNA synthesis and to copy and ultimately restore genetic information that was disrupted by the DSB.

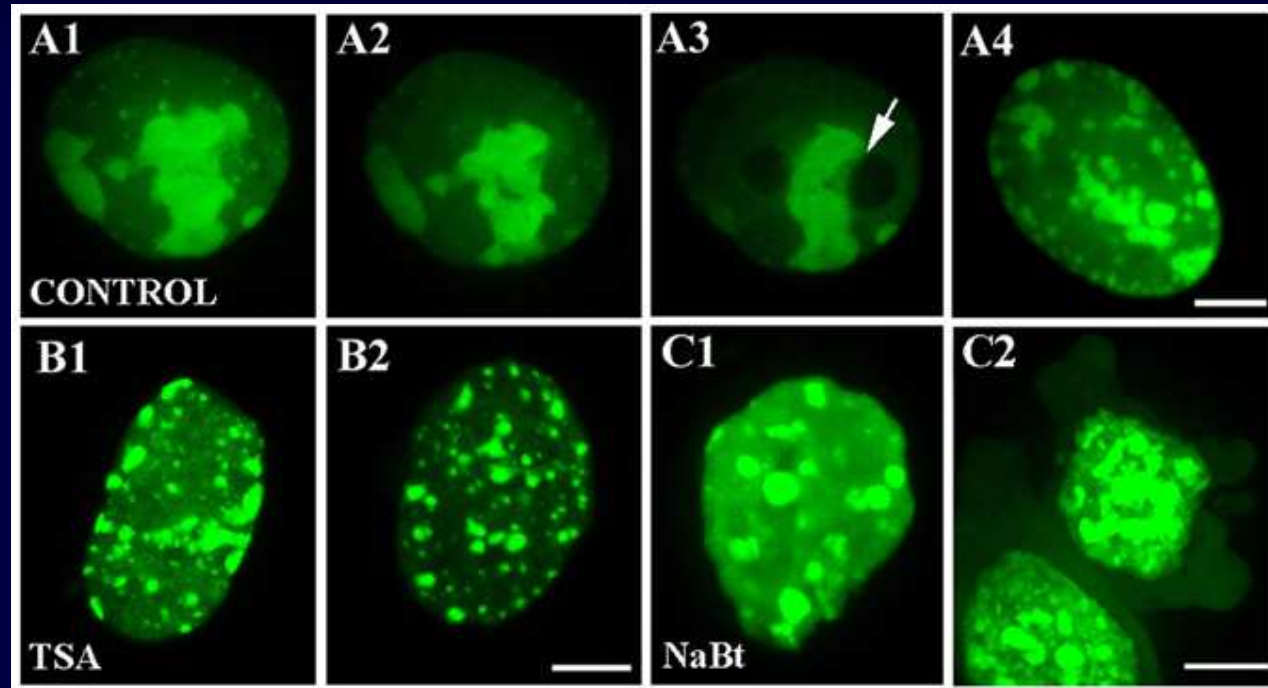


Misteli and Soutogou (2009)

# ATP depletion



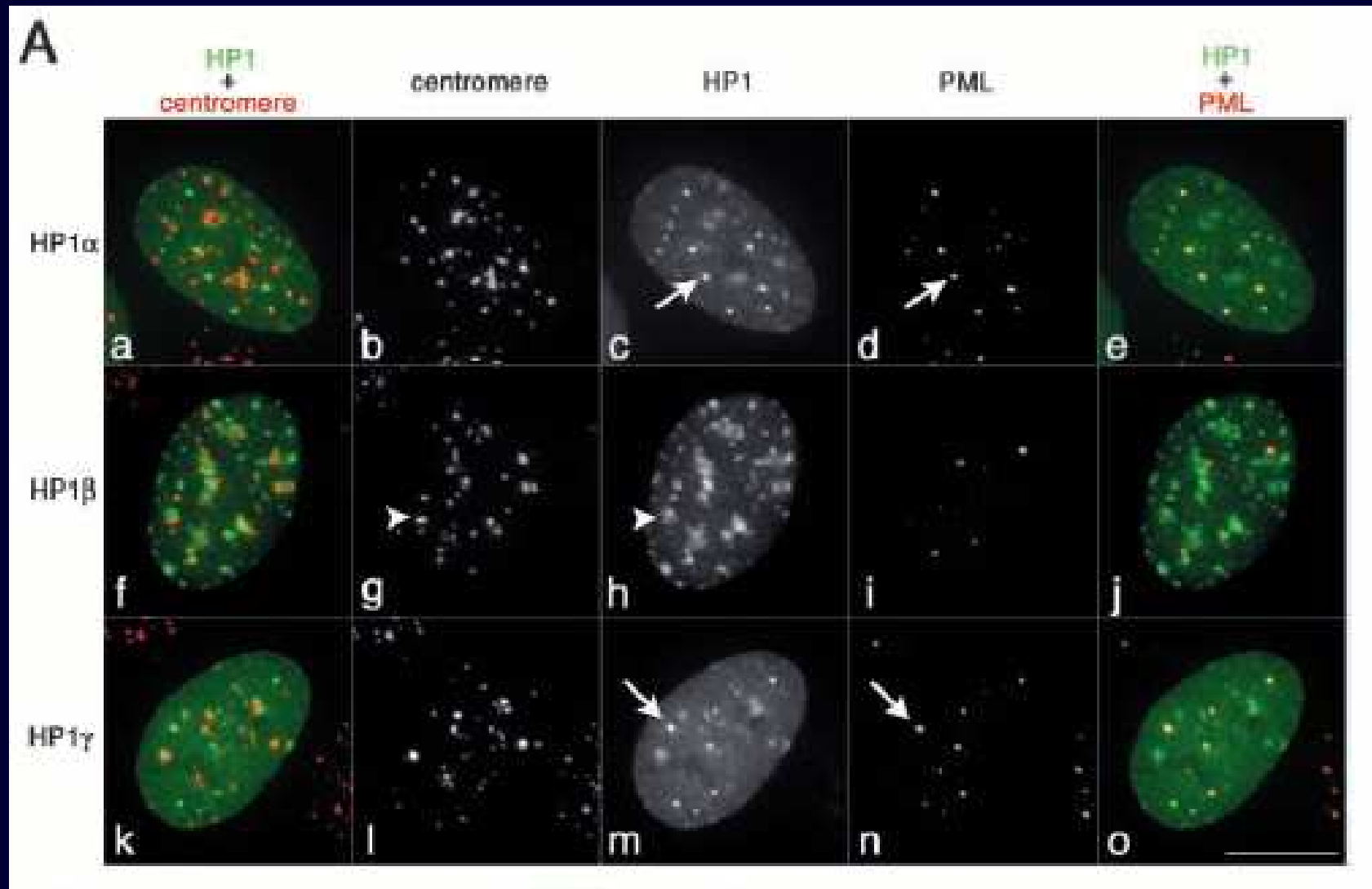
## HP1 proteins



- HP1 proteiny jsou hlavní složkou heterochromatinu a hrají důležitou úlohu při jeho tvorbě. HPs mají vysokou afinitu k pericentromerickým a telometrickým oblastem chromosomů.
- HPs interagují s HMTs jako je SUV39h1 a SUV39h2, která jsou zodpovědné za metylaci H3(K9).

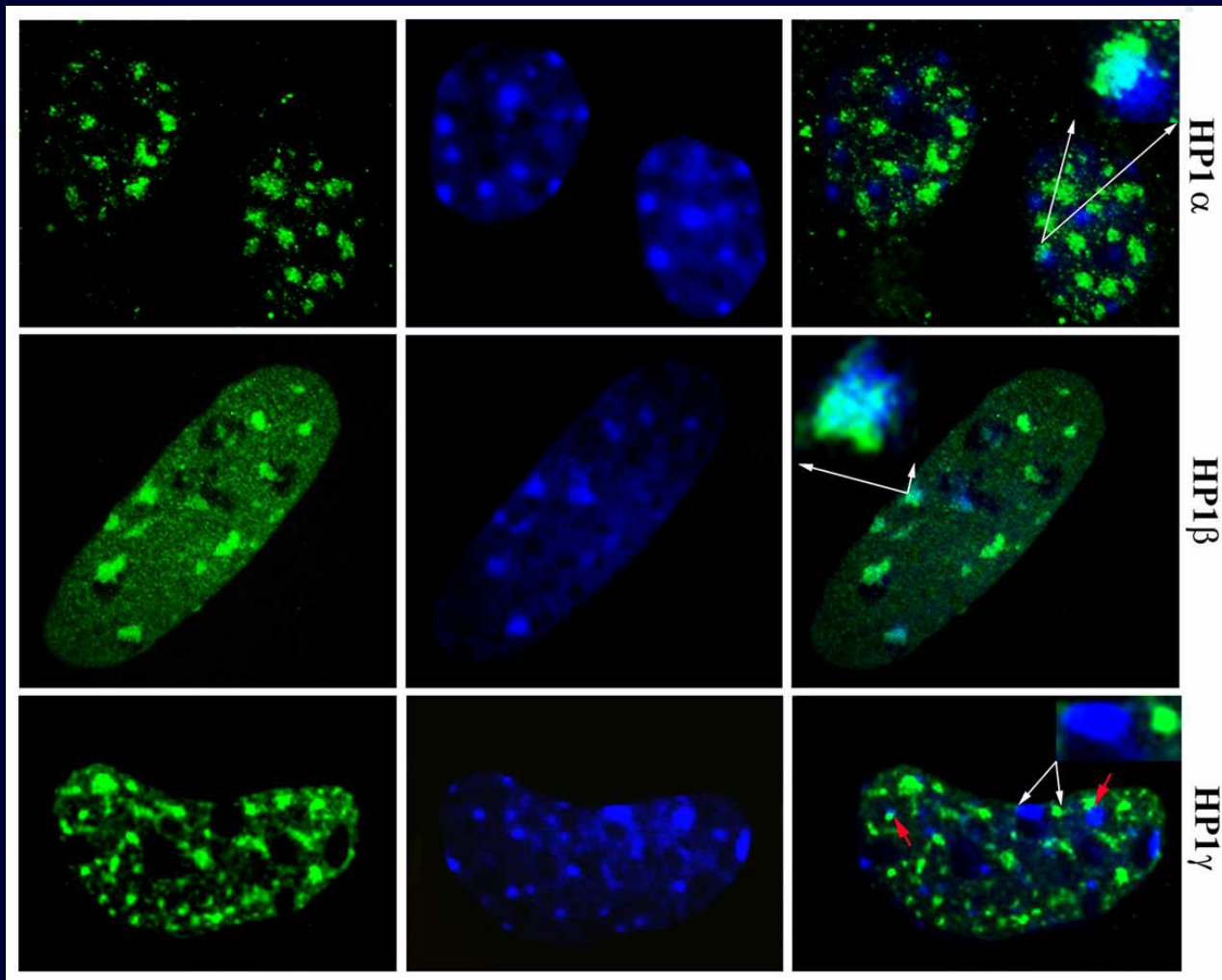


# HP1 proteiny – v lidských buňkách jsou 3 sub-typy



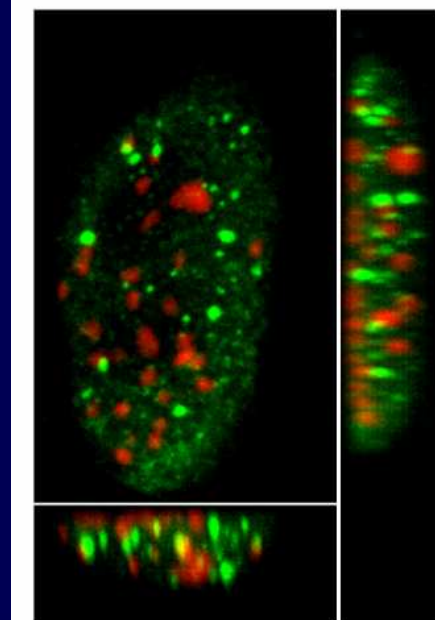
Hayakawa et al., 2003

# HP1 proteiny u ECS



HP1 $\alpha$  HP1 $\beta$

CONTROL



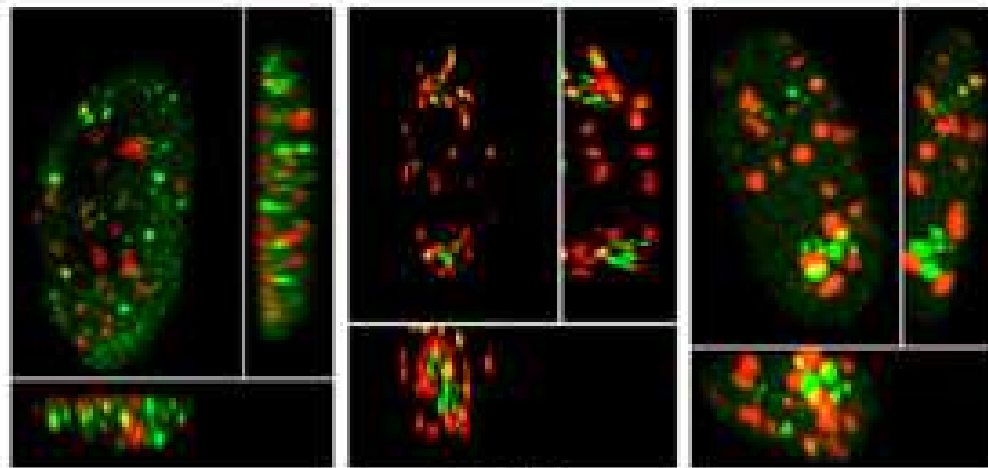


P19 / HP1 $\alpha$  / HP1 $\beta$

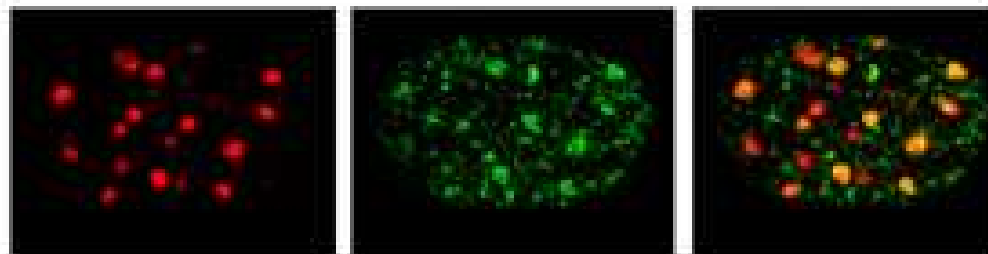
CONTROL

TSA

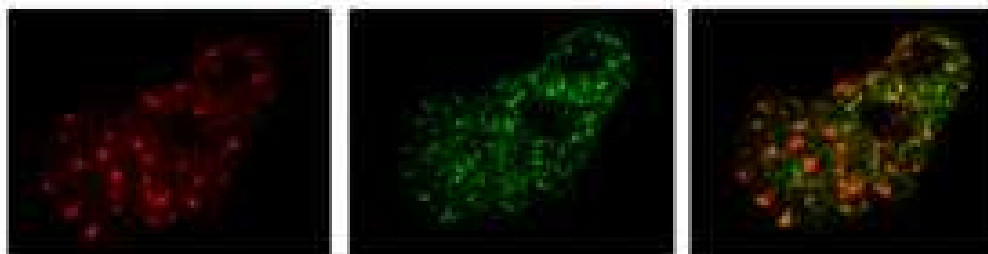
5-dAzaC

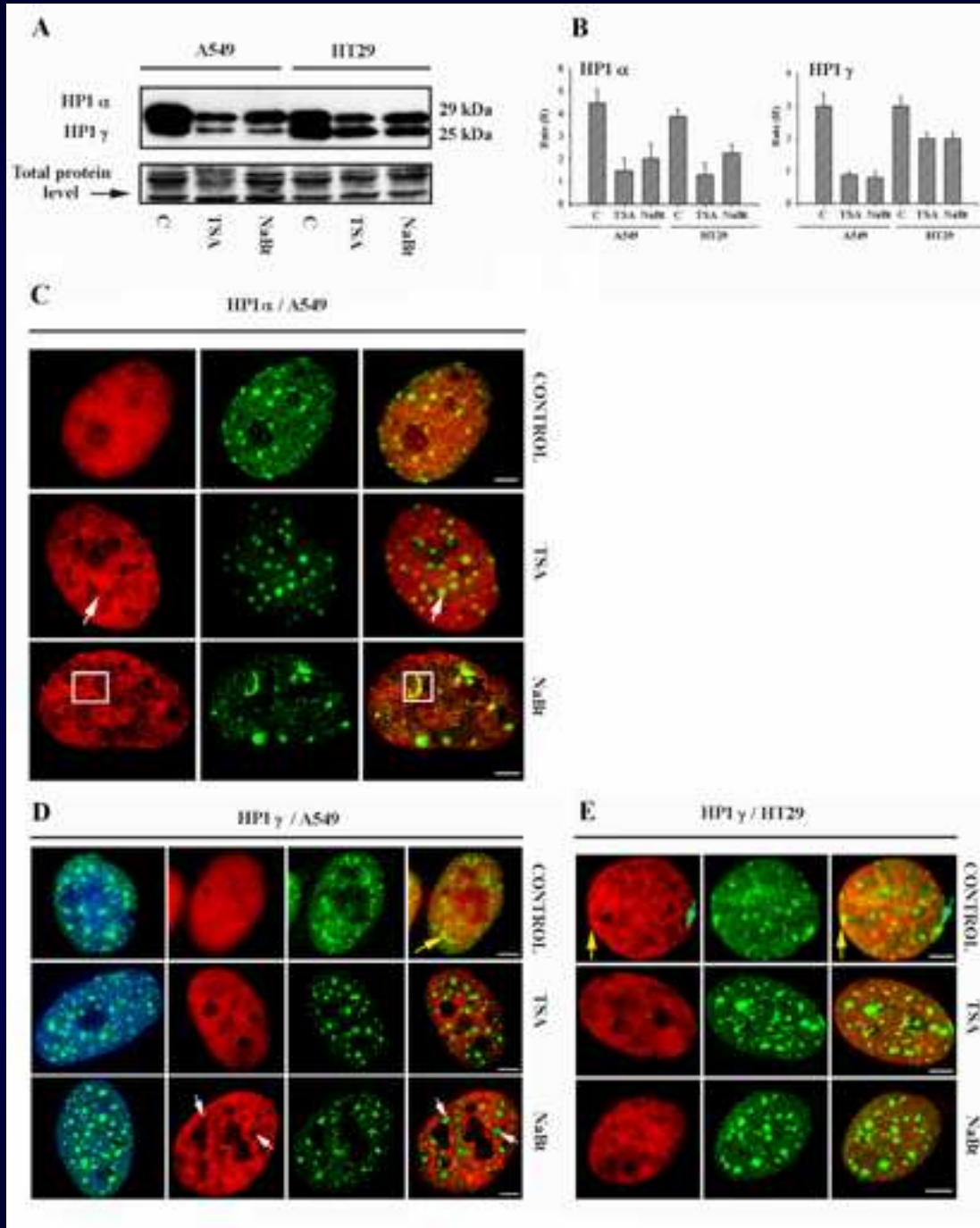


P19/IR



P19/SR



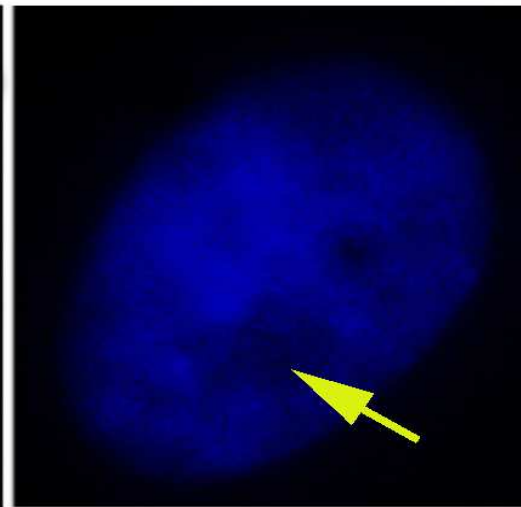
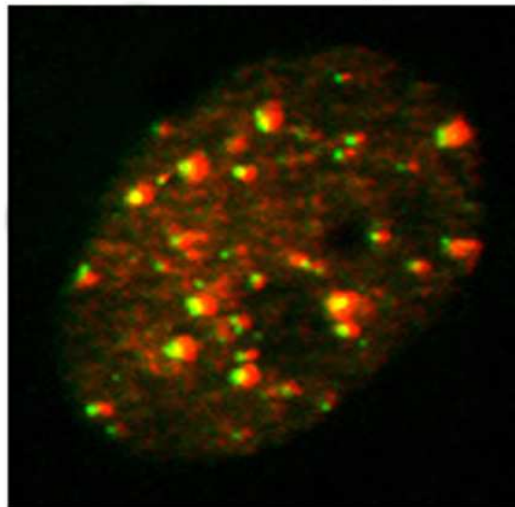


**CENP-A / HP1 $\alpha$**

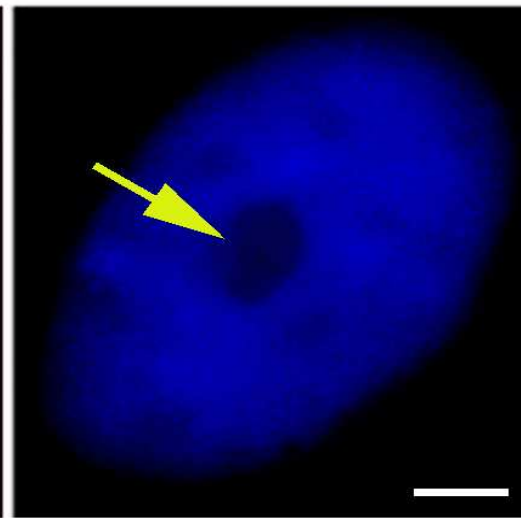
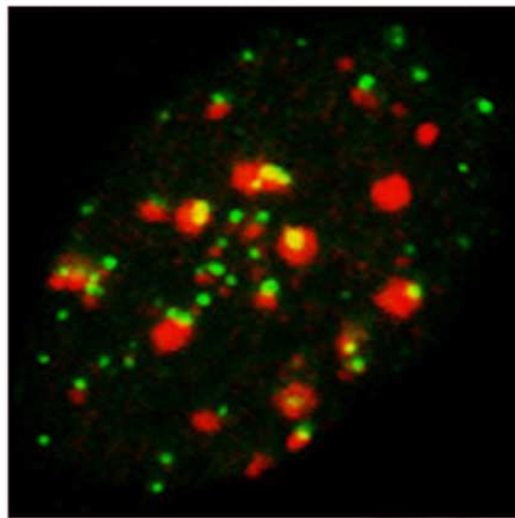
**DAPI**

**Max. image**

**Mid. section**



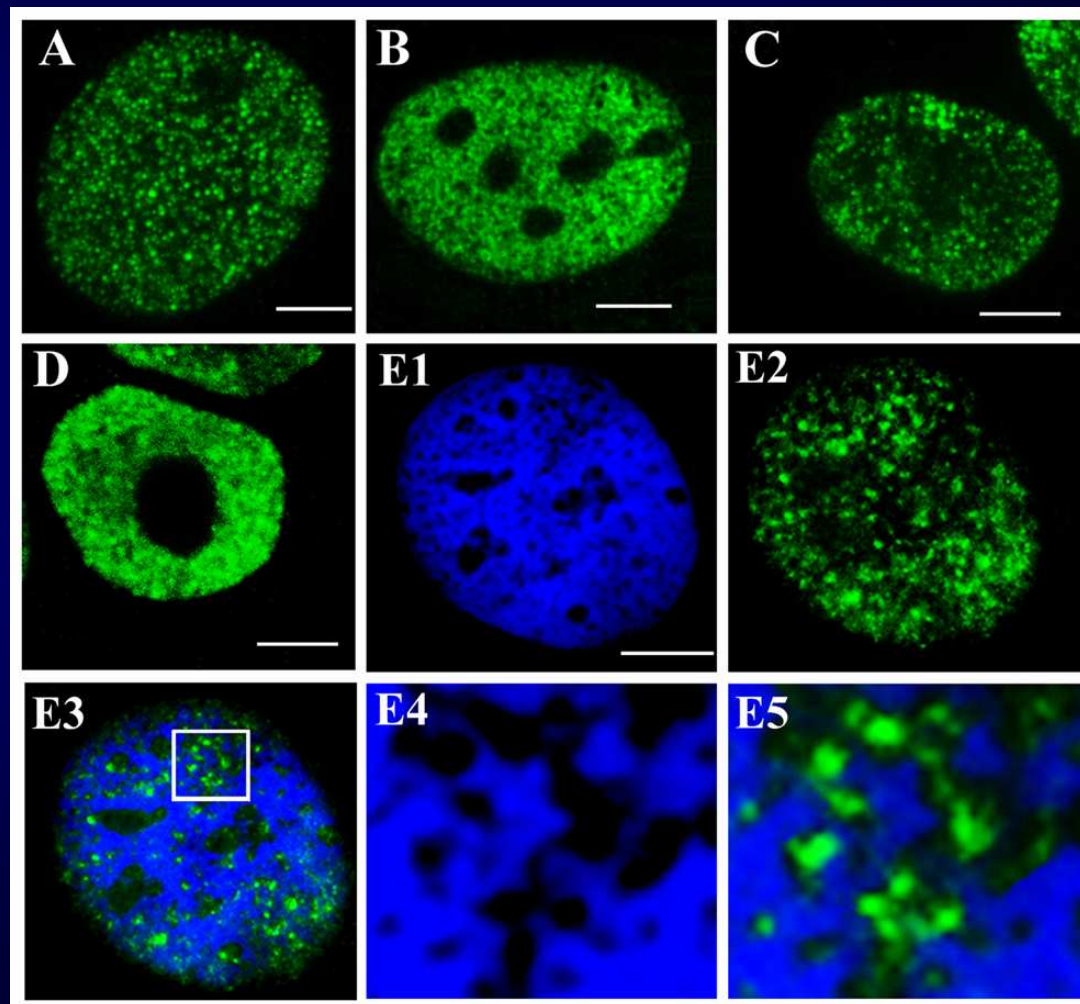
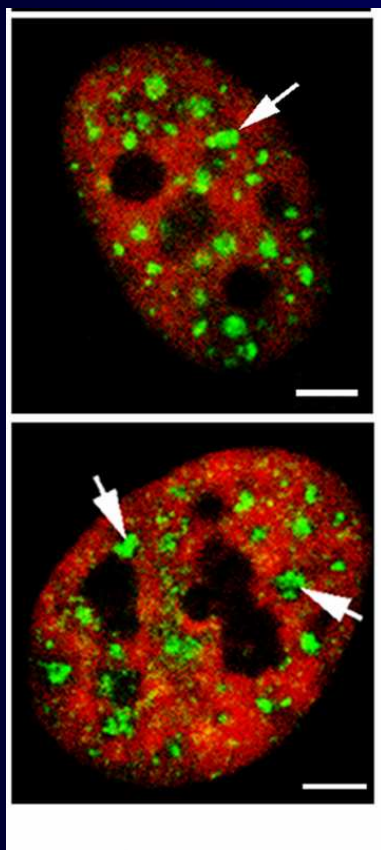
**CONTROL**

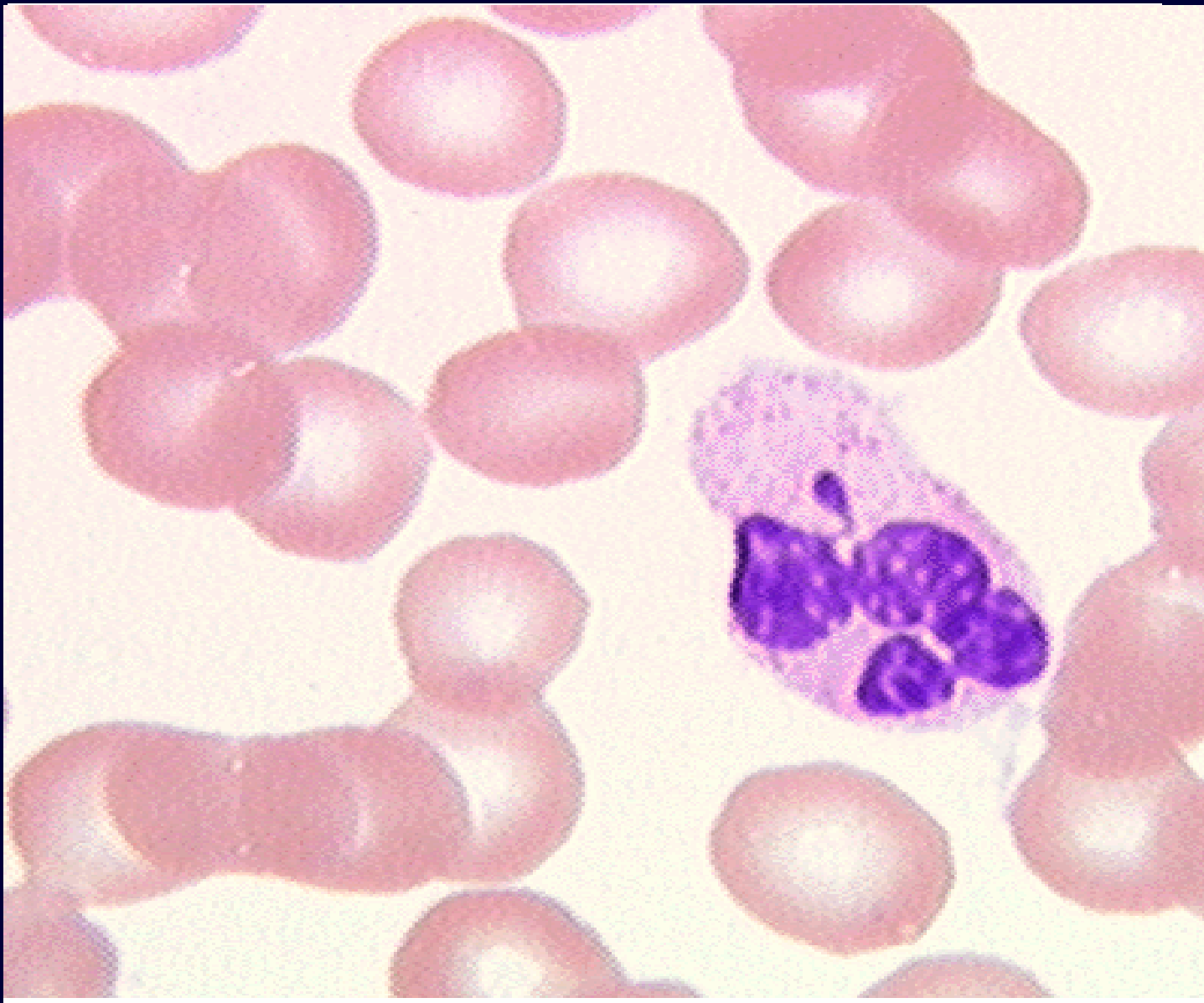


**TSA**

# HP1 protein a H3(K4) di-methylation and IC spaces

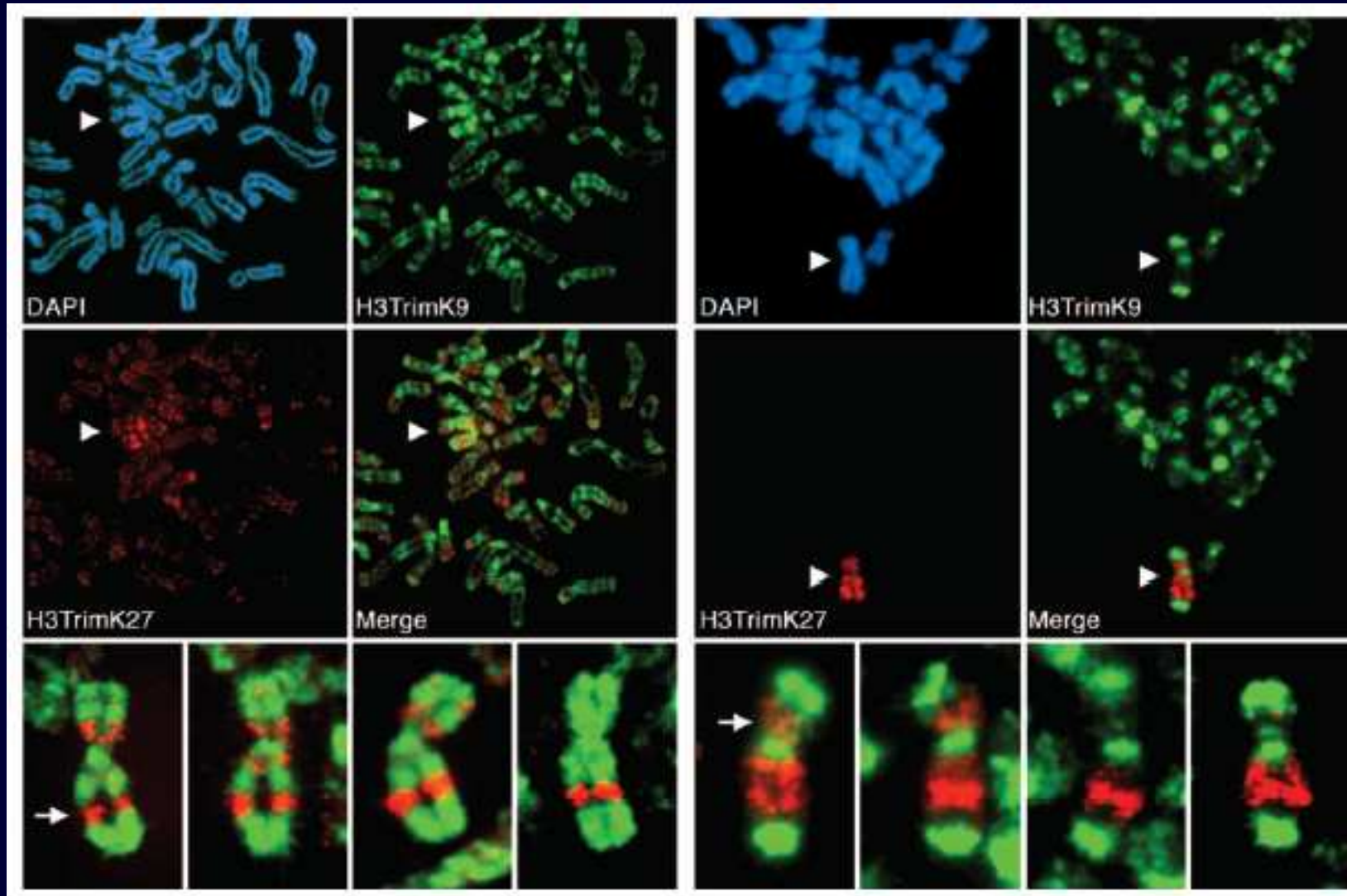
HP1



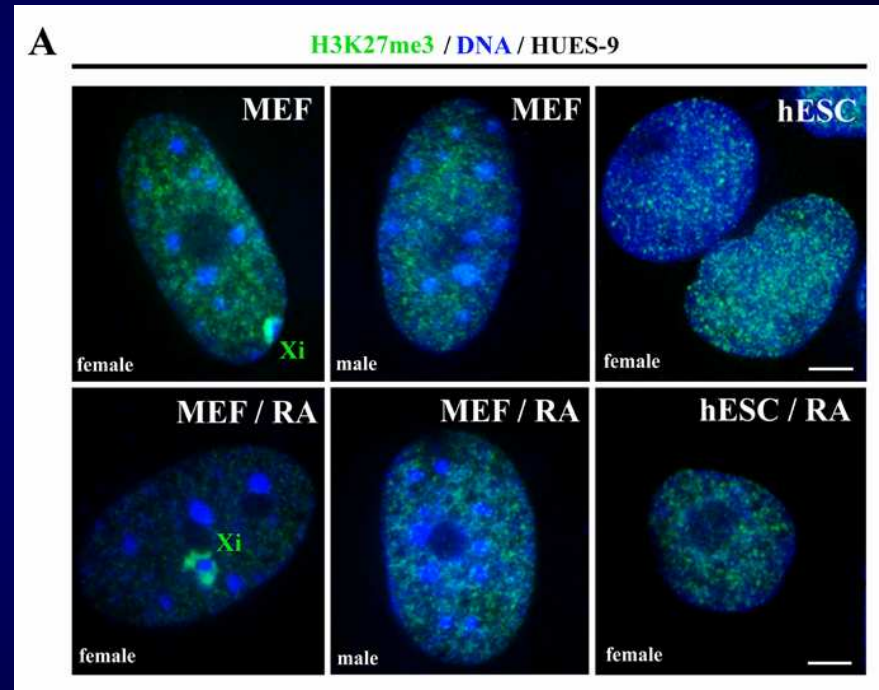
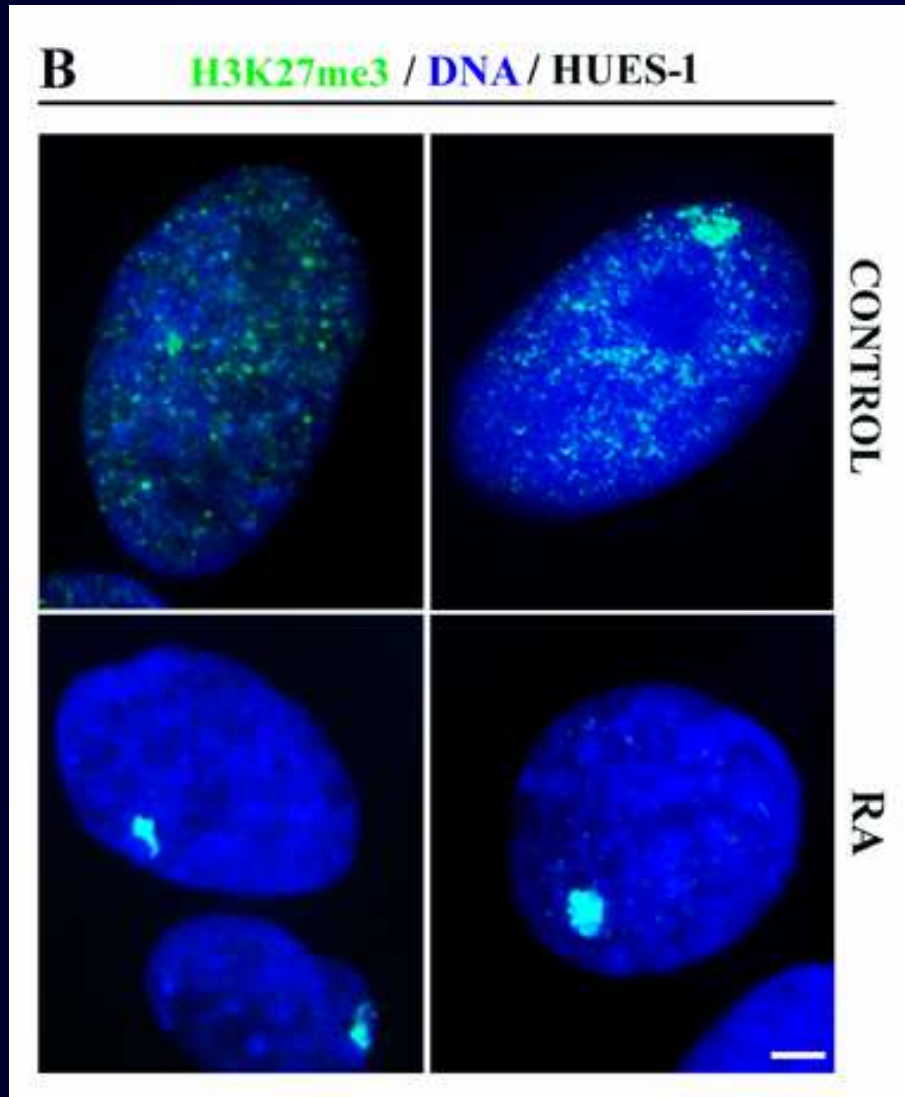




# Inaktivace X chromosomu ve vztahu k epigenetickým modifikacím



# Inactivation of X chromosome in hESC



# Inaktivace X chromosomu ve vztahu k epigenetickým modifikacím

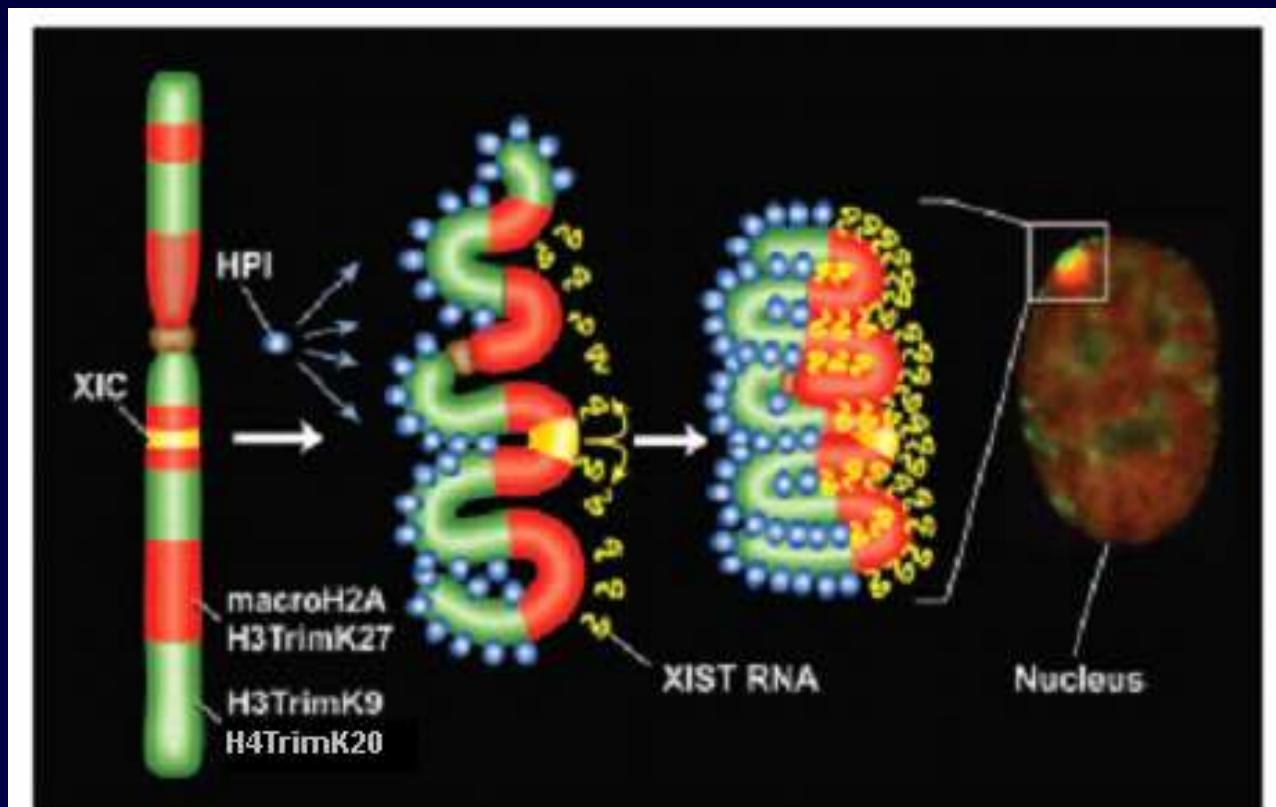
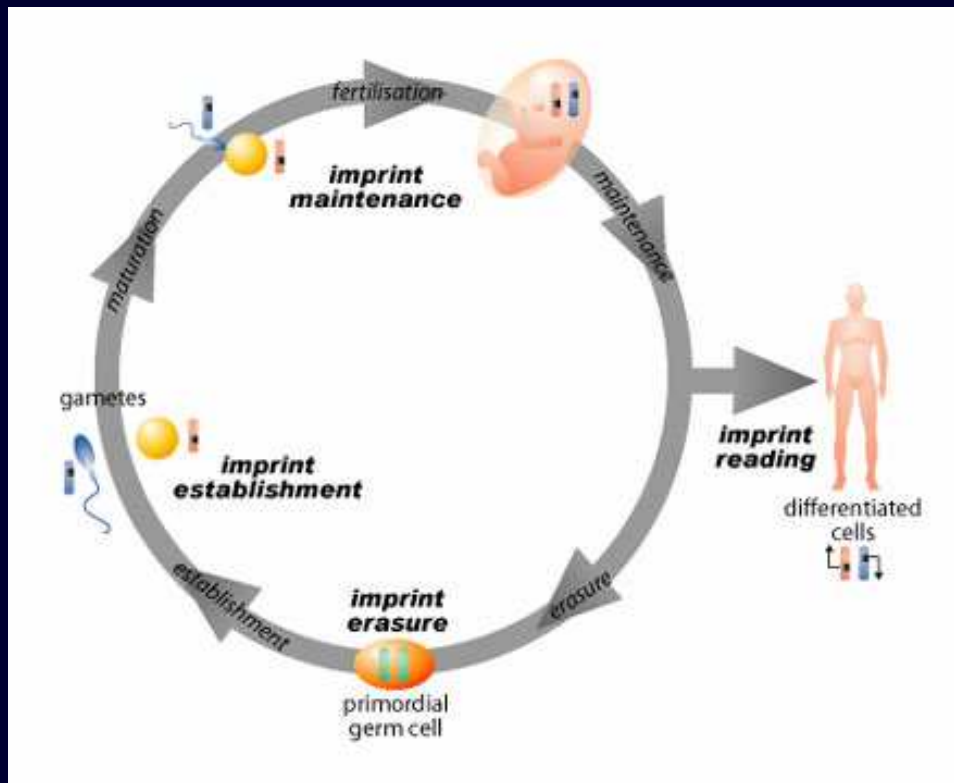


Fig. 4. Schematic model showing how heterochromatin of the Xi could transition between metaphase and interphase to be organized into the two nonoverlapping heterochromatin territories and to explain how XIST RNA could rapidly spread in cis outward from the X inactivation center (XIC) along only part of the Xi. See main text for details.



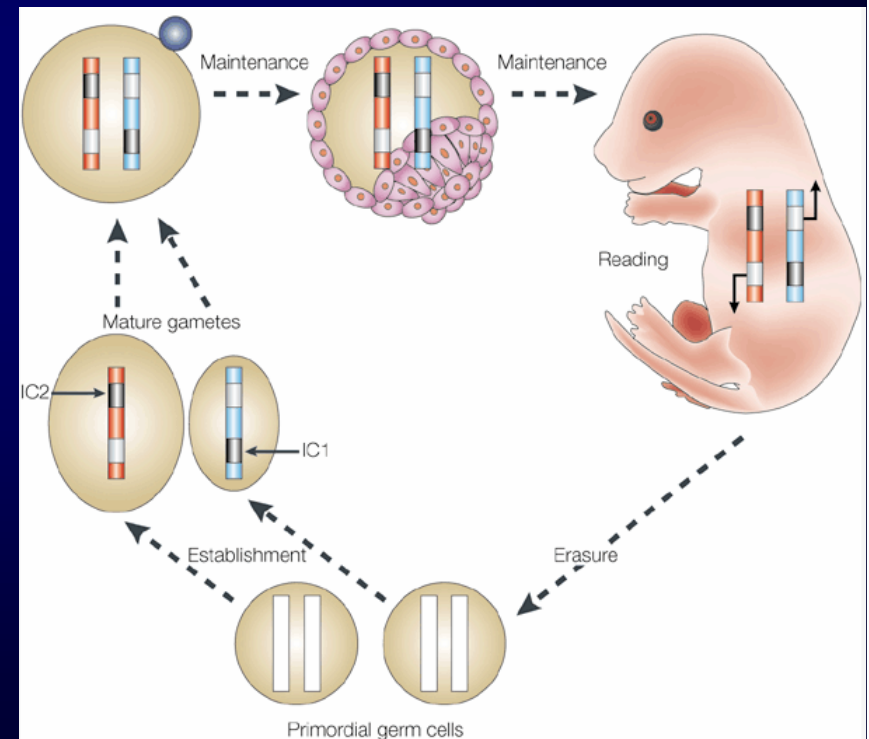
# IMPRINTING

**Myši embryo: samičí alela je zamethylována, nevyjadřuje se**

**Dospělý jedinec: obě alely jsou demethylovány**

**Gametogeneze: se obnoví původní stav  
Platí pro gen IGF II.**

1. Independent of the classical Mendelian inheritance.
2. Methylation and histone modifications in order to achieve monoallelic gene expression.

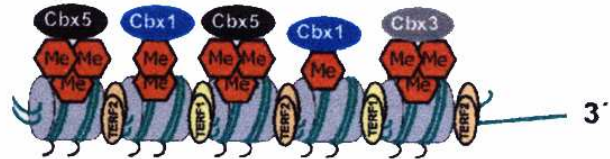




# Methylation state of telomeres

(Cbx1=HP1 $\beta$ , Cbx3=HP1 $\gamma$ , Cbx5 = HP1 $\alpha$ )

Wild-type telomeres



Normal-length telomeres

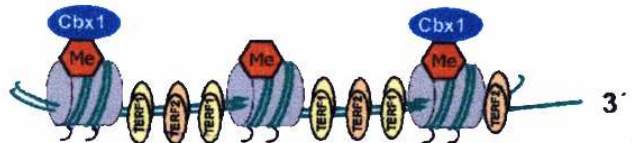
H3K9 (mono-, di- and trimethylated)

Cbx5, Cbx1, Cbx3

TERF1

TERF2

SUV39DN telomeres



↓ H3K9 (di-, trimethylated)

↑ H3K9 (monomethylated)

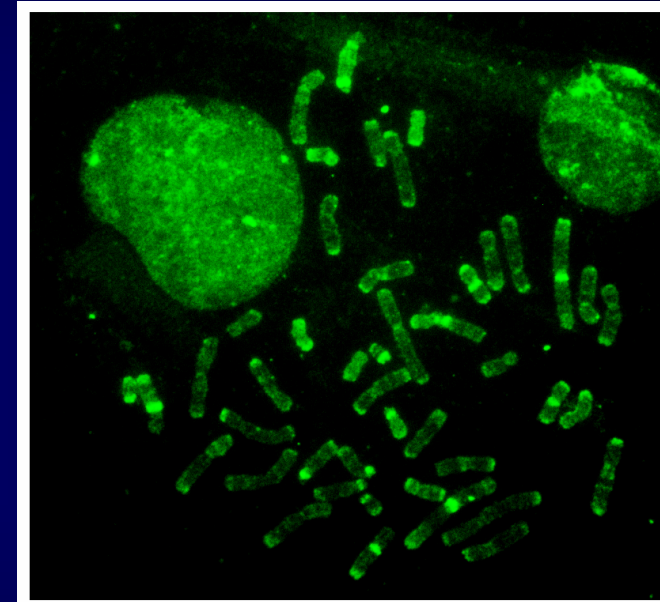
↓ Cbx5, Cbx3

↓ 50% decrease in Cbx1

Normal TERF2 binding

Slight increase in TERF1 binding

Abnormal telomere elongation



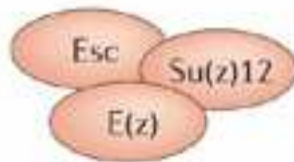
Experiments of E. Bártová

HP1 $\alpha$  (12q13)

HP1 $\beta$  (17q21)

HP1 $\gamma$  (7p15)

**a**  
Class II PcG complexes

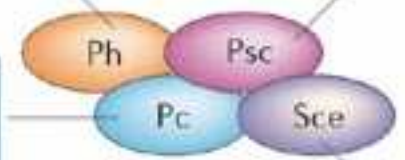


**c**  
Class I PcG complexes

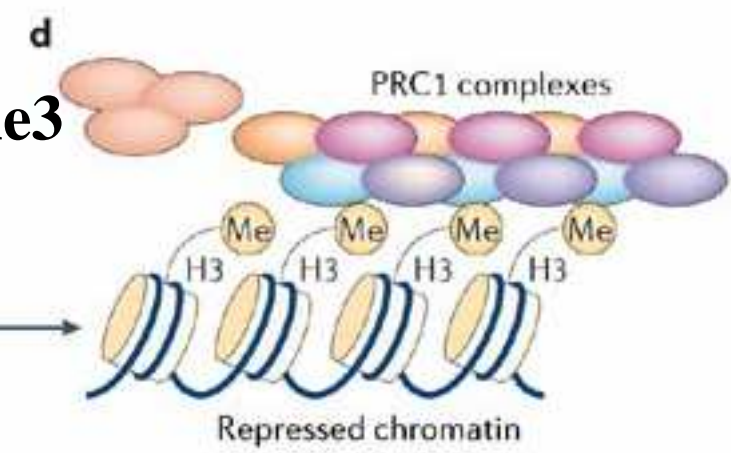
HPH1/EDR1/PHC1  
HPH2/EDR2/PHC2  
HPH3/EDR3/PHC3

PCGF1/RNF68/NSPC1  
PCGF2/MEL18/RNF110  
PCGF3/RNF3  
PCGF4/BMI1/RNF51  
PCGF5/RNF159  
PCGF6/MBLR/RNF134

CBX2/HPC1  
CBX4/HPC2  
CBX6  
CBX7  
CBX8/HPC3



RING1a/RNF1  
RING1b/RNF2



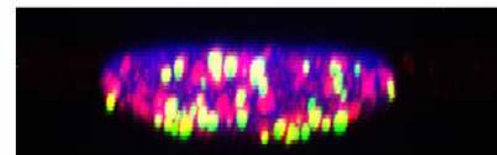
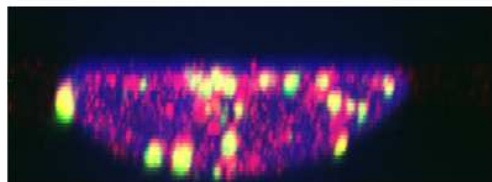
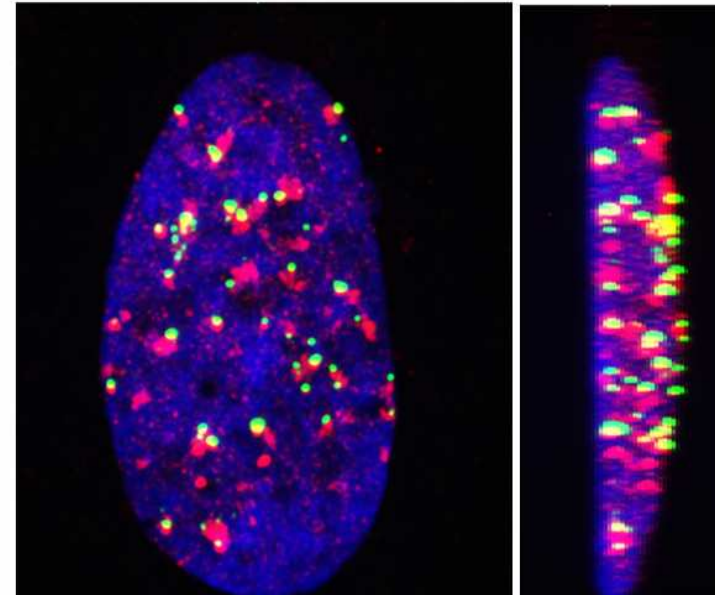
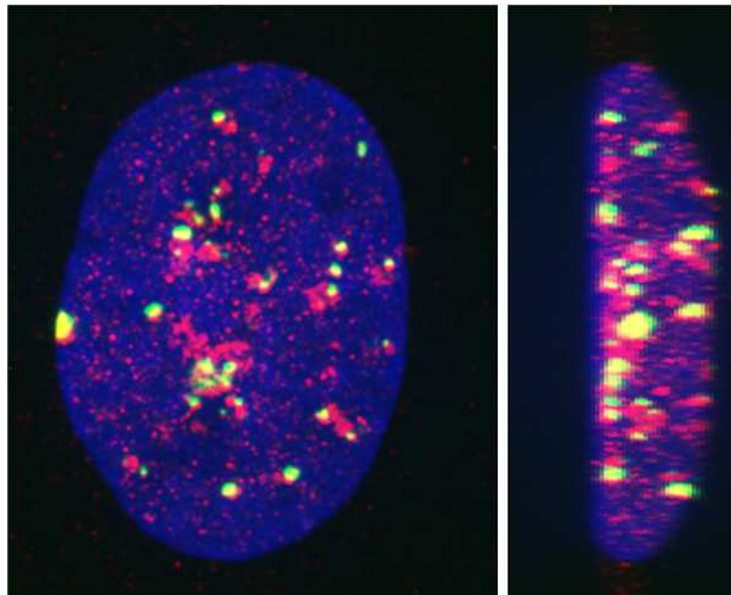
# H3K27me3 / BMI1 / Nucleus

**CONTROL**

**TSA**

*maximum image*

*maximum image*

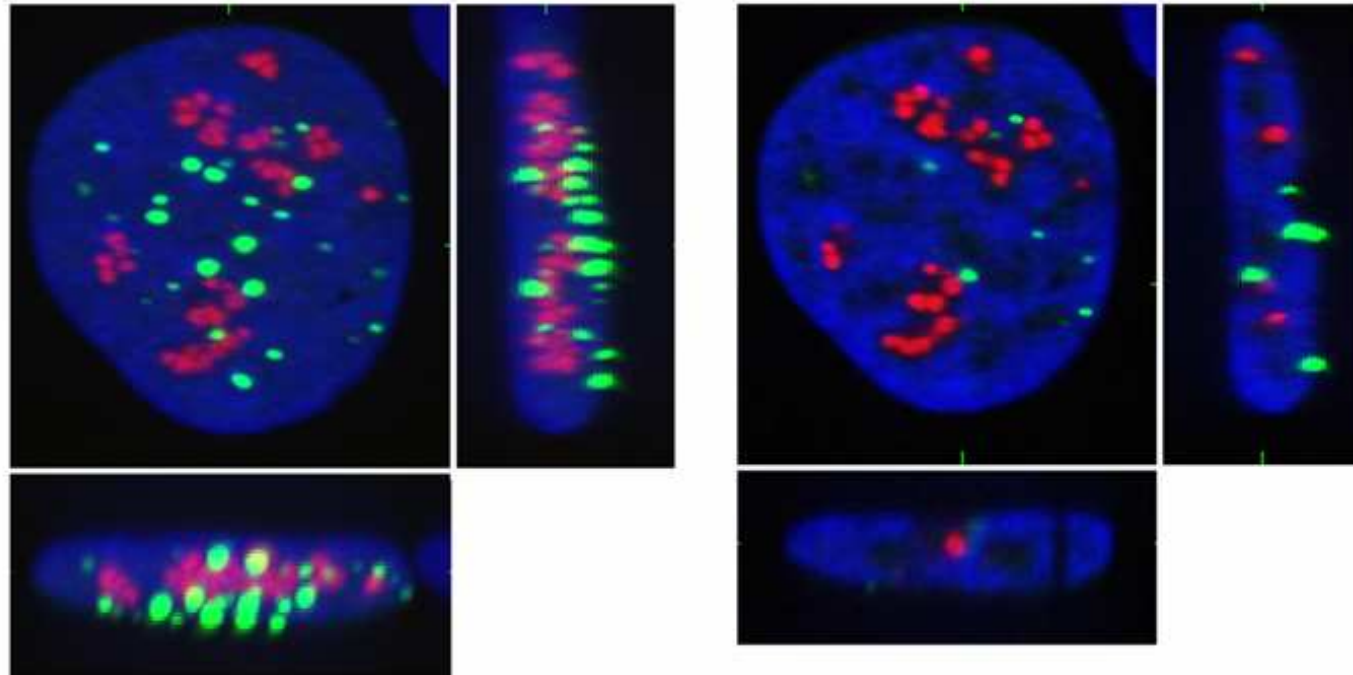


# Fibrillarin / BMI1 / Nucleus

CONTROL

*maximum image*

*individual section*



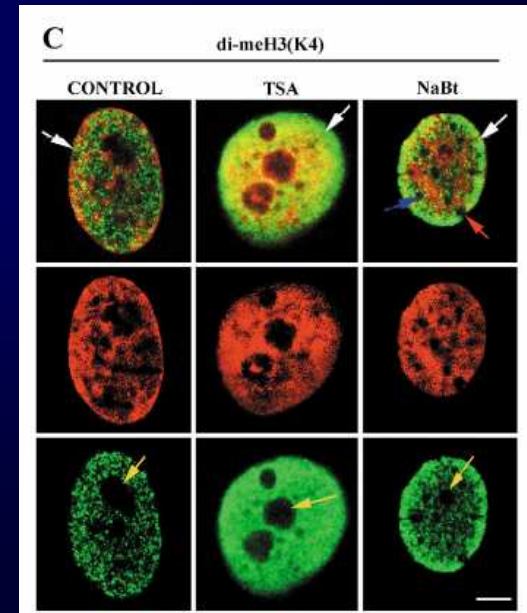
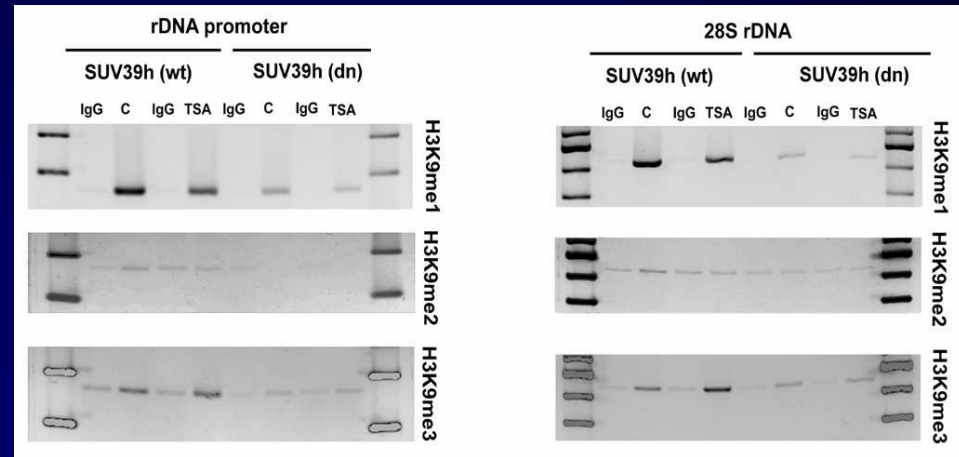
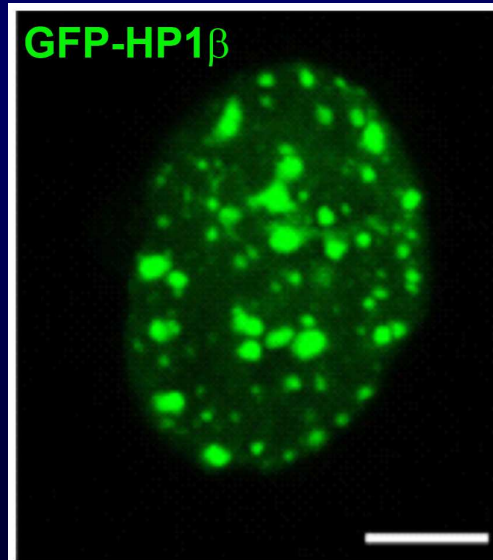
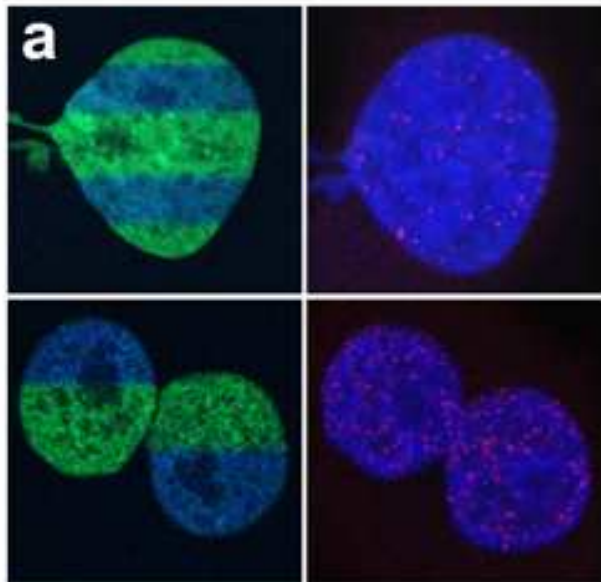
Metody



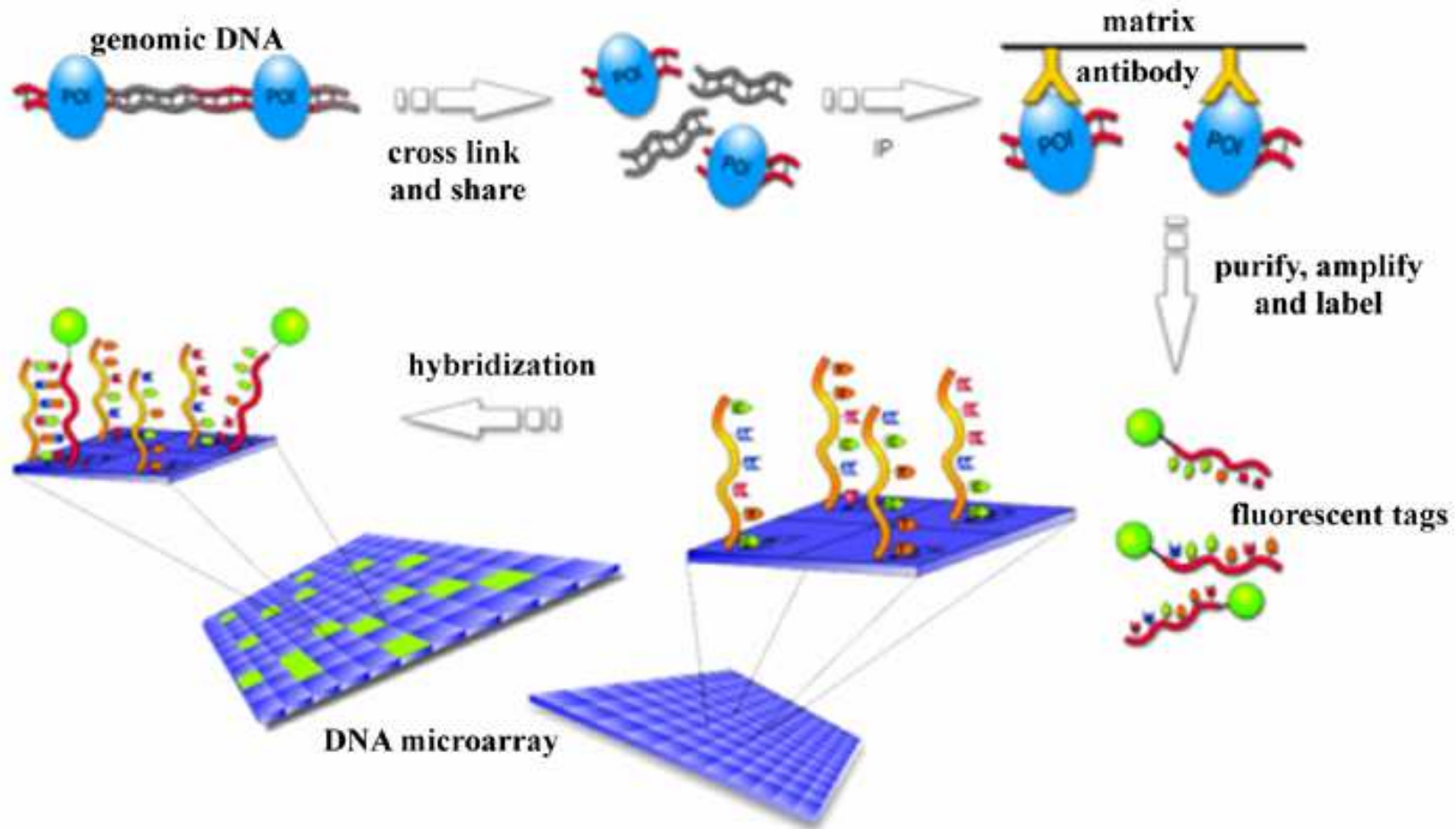
# Metody vhodné ke studiu histonového kódu

1. imunofluorescence-konfokální mikroskopie
2. GFP-technologie
3. ChIP-PCR
4. ChIP-on-chip

Photoconversion by UV laser  
H4-Dendra2 CPDs / Nucleus

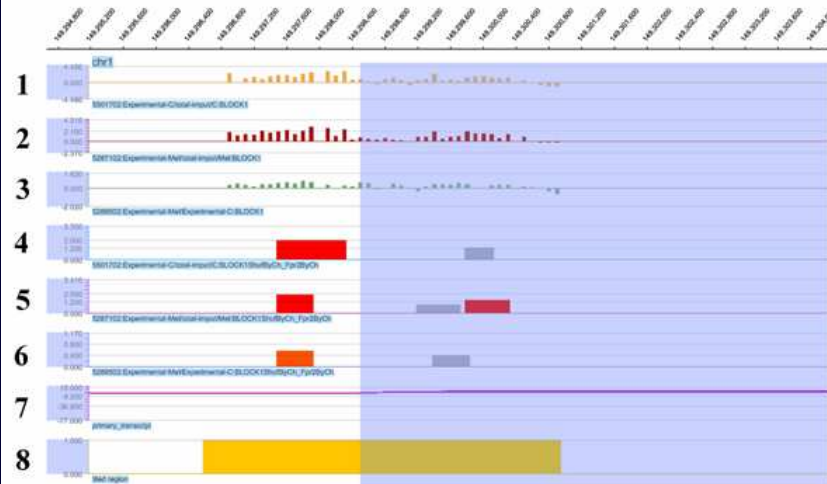


## ChIP on chip

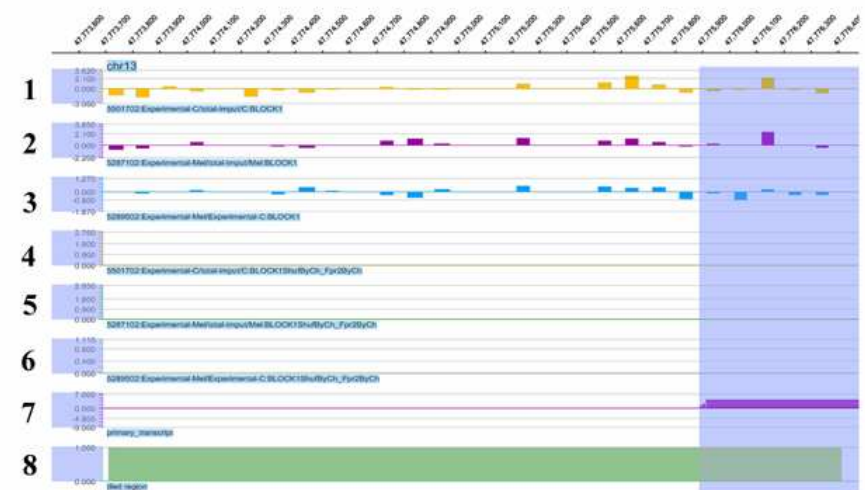


# H3K9 acetylation in ARH77 cells

## AF1Q



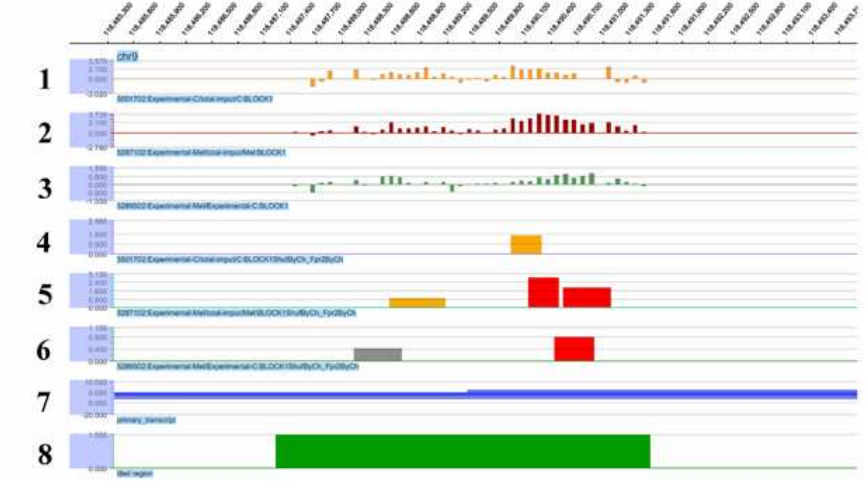
## RB1



## TP53

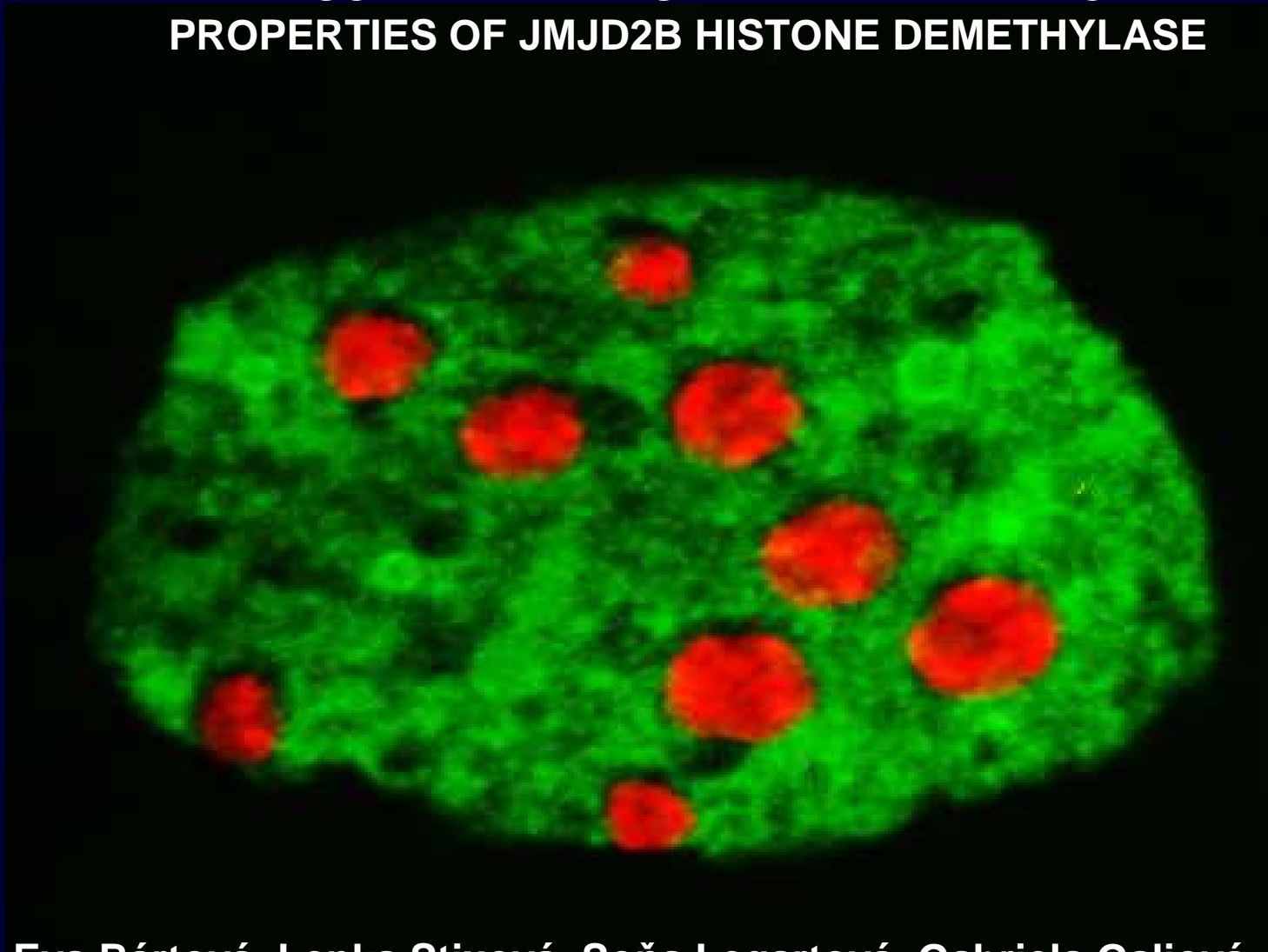


## ASTN2-TRIM32



Ukázkové experimenty

**NUCLEAR ARRANGEMENT AND KINETIC  
PROPERTIES OF JMJD2B HISTONE DEMETHYLASE**

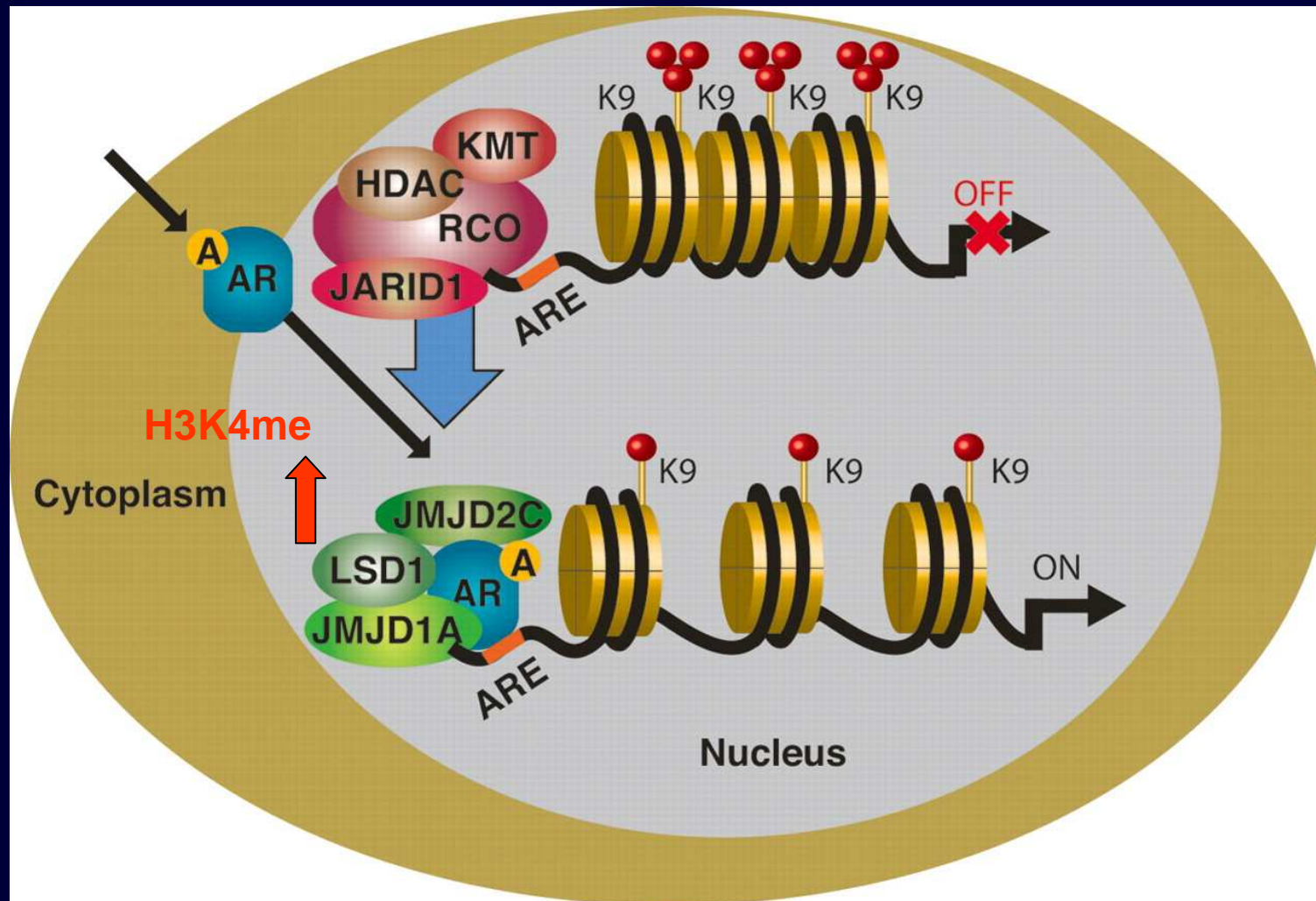


**Eva Bártová, Lenka Stixová, Soňa Legartová, Gabriela Galiová  
and Stanislav Kozubek**

**Institute of Biophysics, the Academy of Sciences of the Czech Republic, v.v.i.,  
Brno**



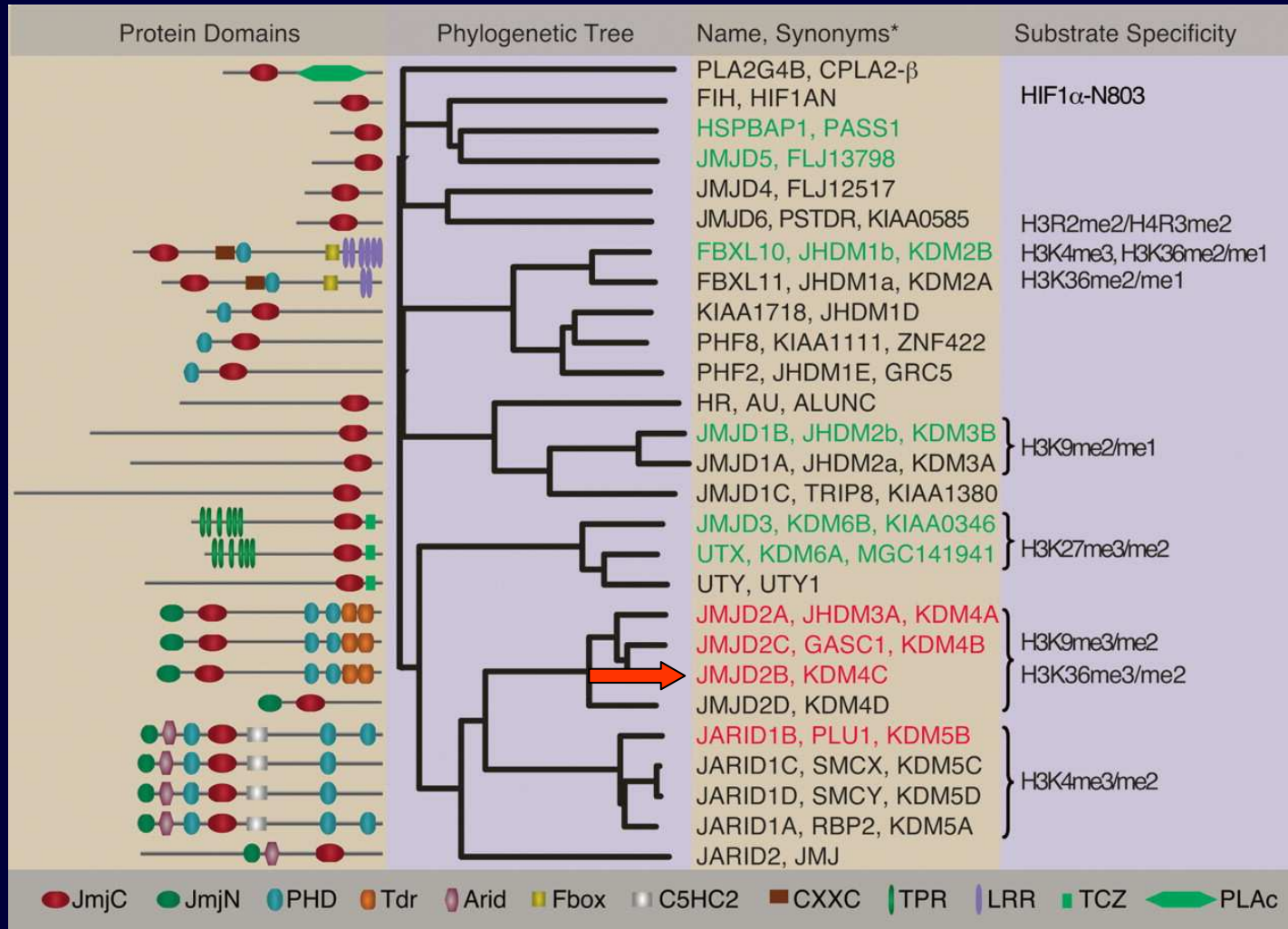
## The involvement of demethylases in AR-mediated transcription.



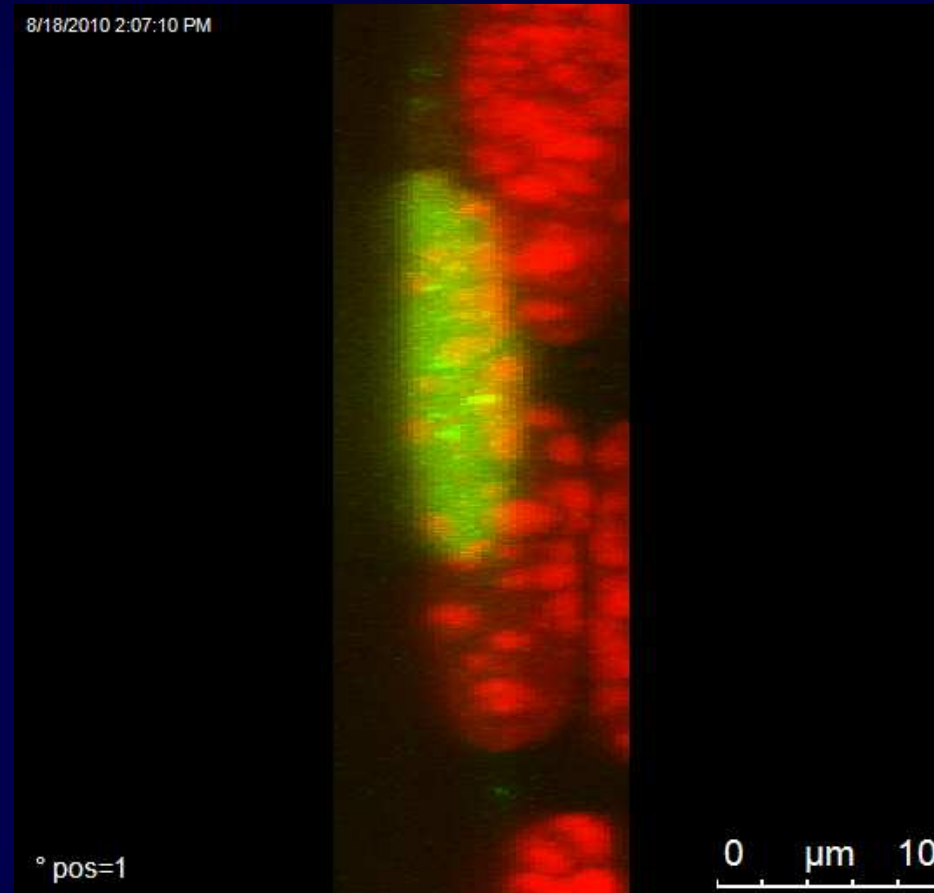
Cloos P A et al. *Genes Dev.* 2008;22:1115-1140



## Phylogenetic tree of the JmjC family of demethylases.

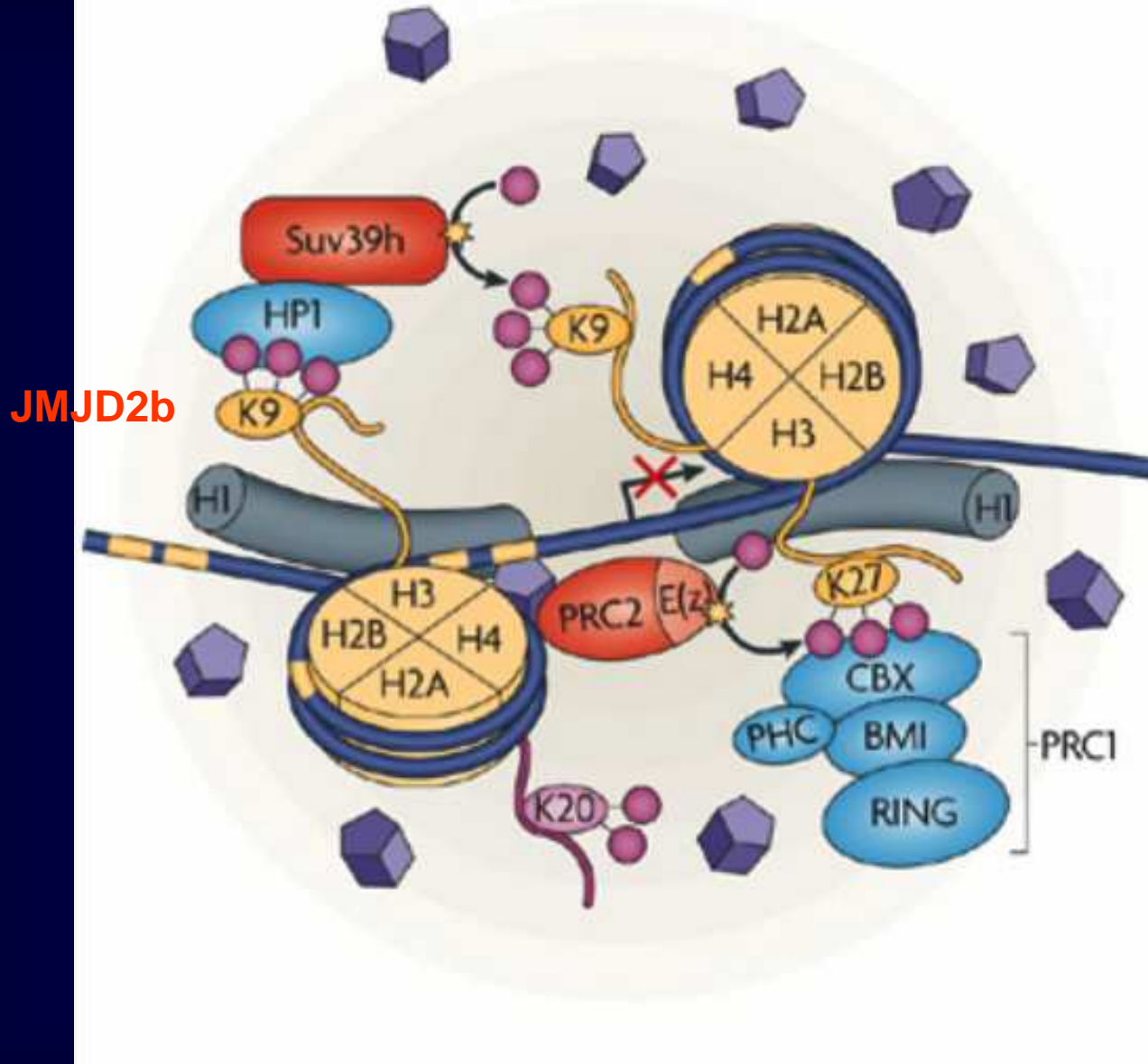


## JMJD2b histone lysine demethylase



**Mutant genetic background affects functional re-arrangement and kinetic properties of JMJD2b histone demethylase**

**a Somatic interphase (repressed locus)**



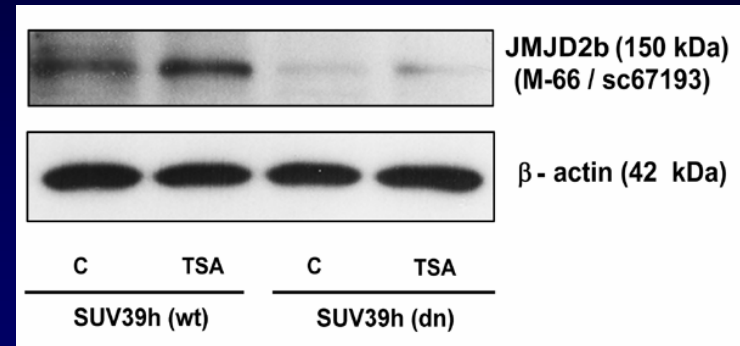
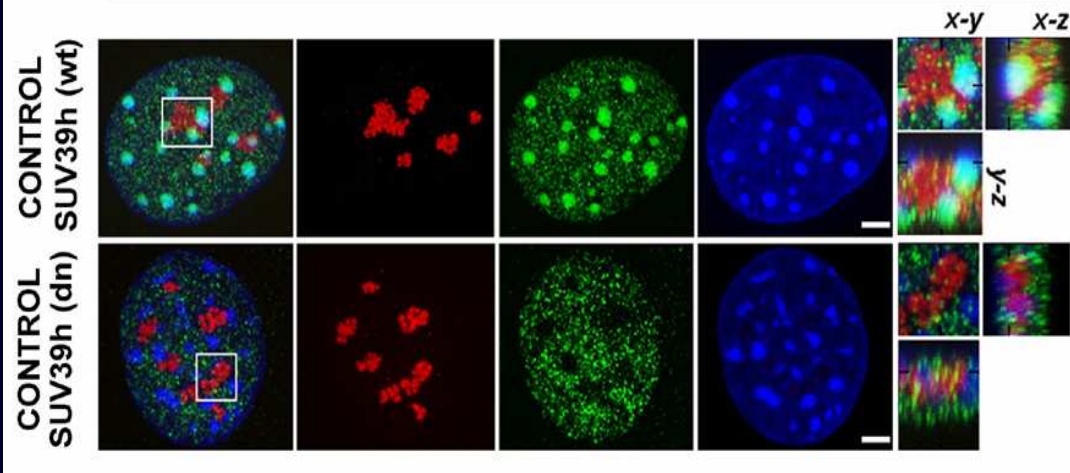
JMJD2b

Dieter Egli, Garrett Birkhoff & Kevin Eggan (2008)  
Nature Reviews Molecular Cell Biology 9, 505-516

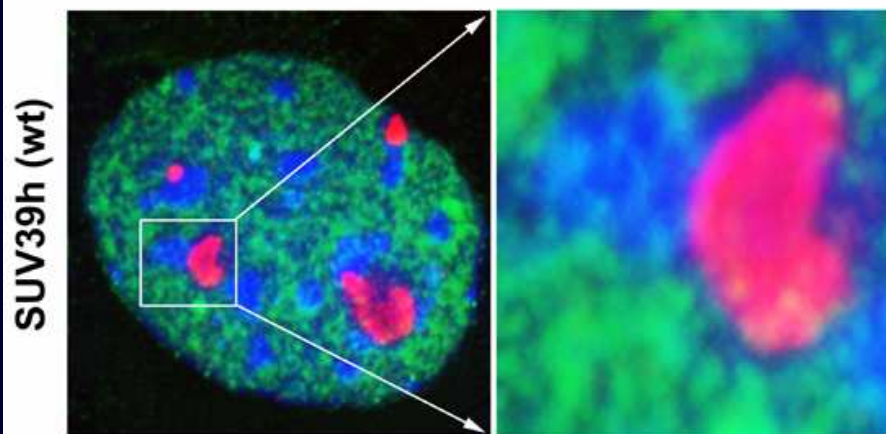


# JMJD2b histone lysine demethylase

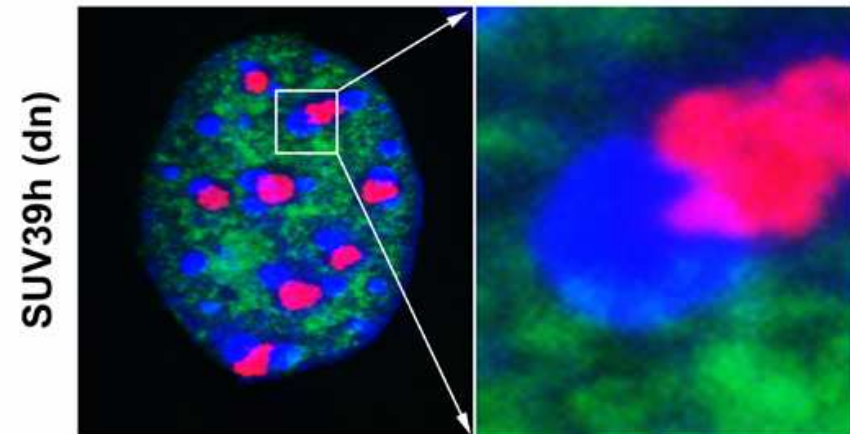
**Fibrilarin / H3K9me3 / DNA**



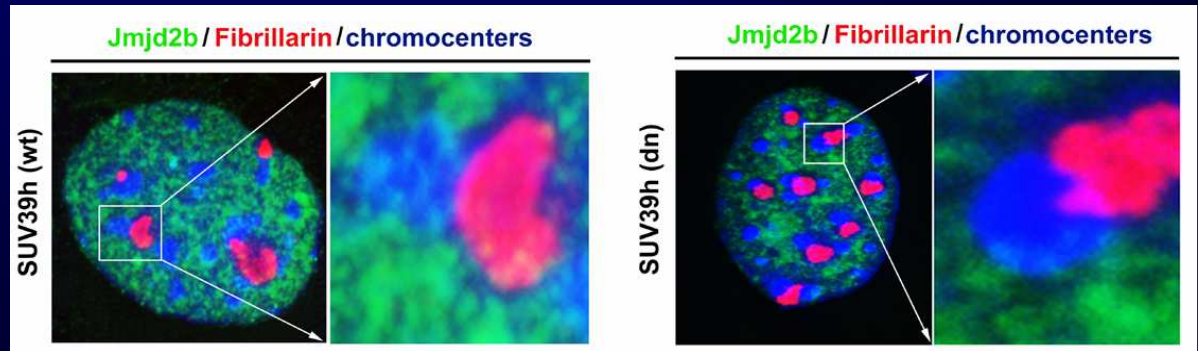
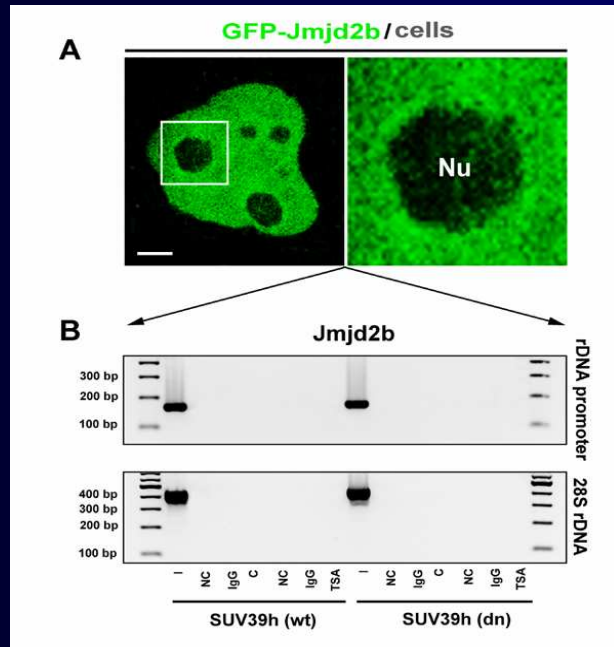
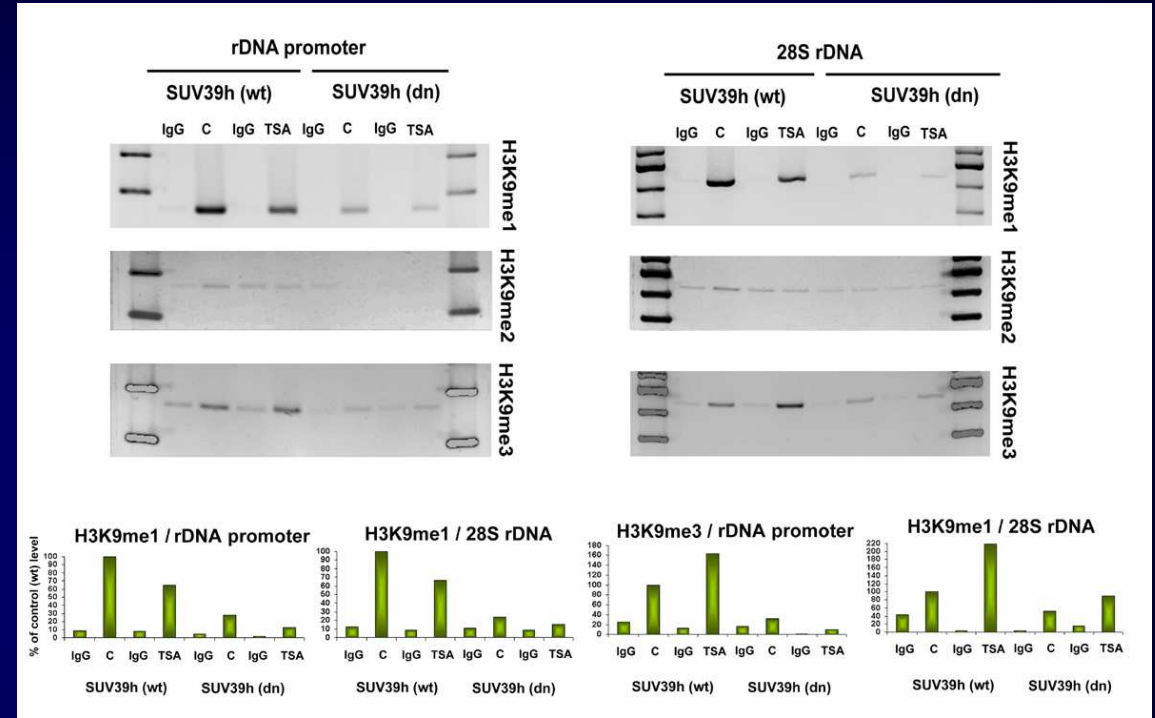
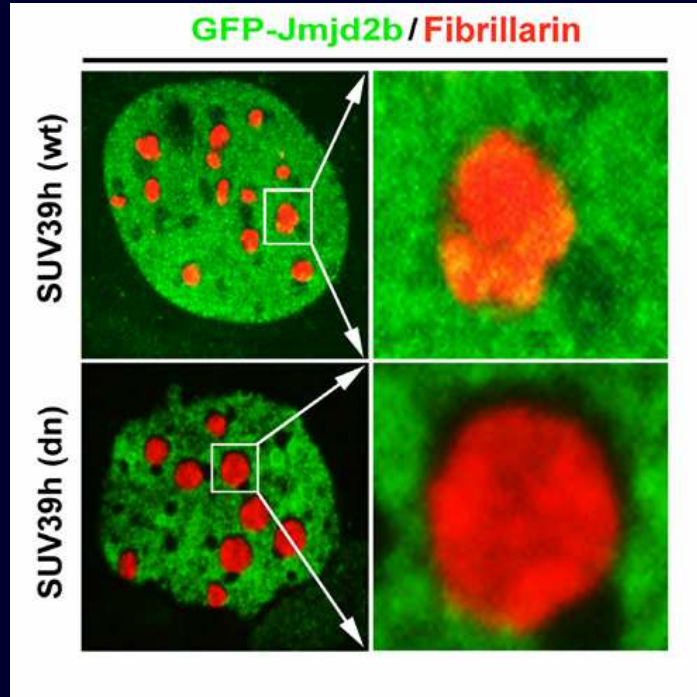
**Jmjd2b / Fibrillarin / chromocenters**



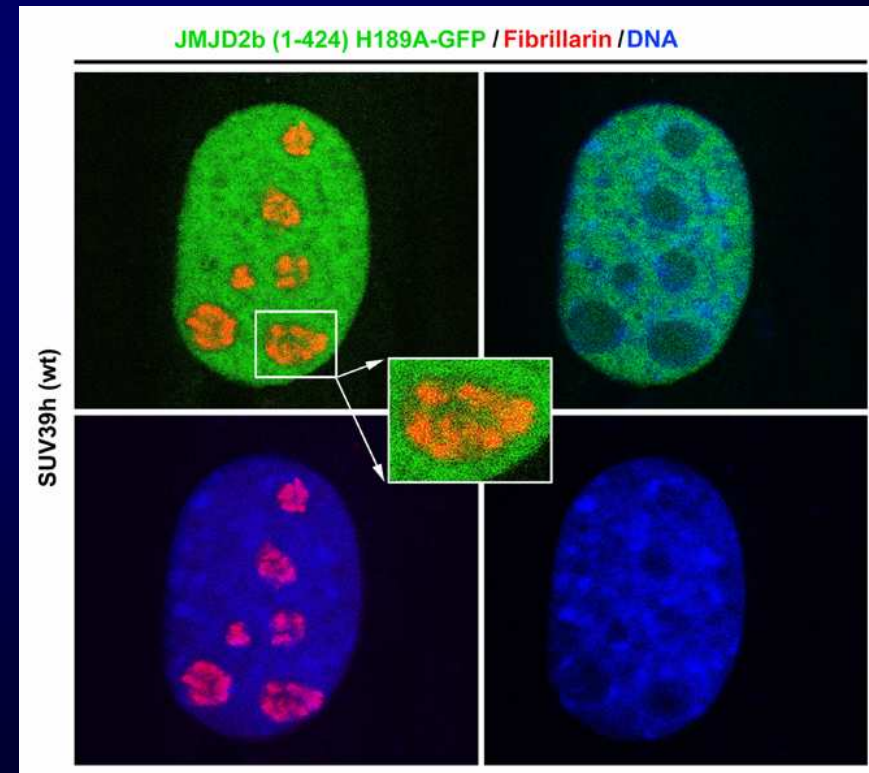
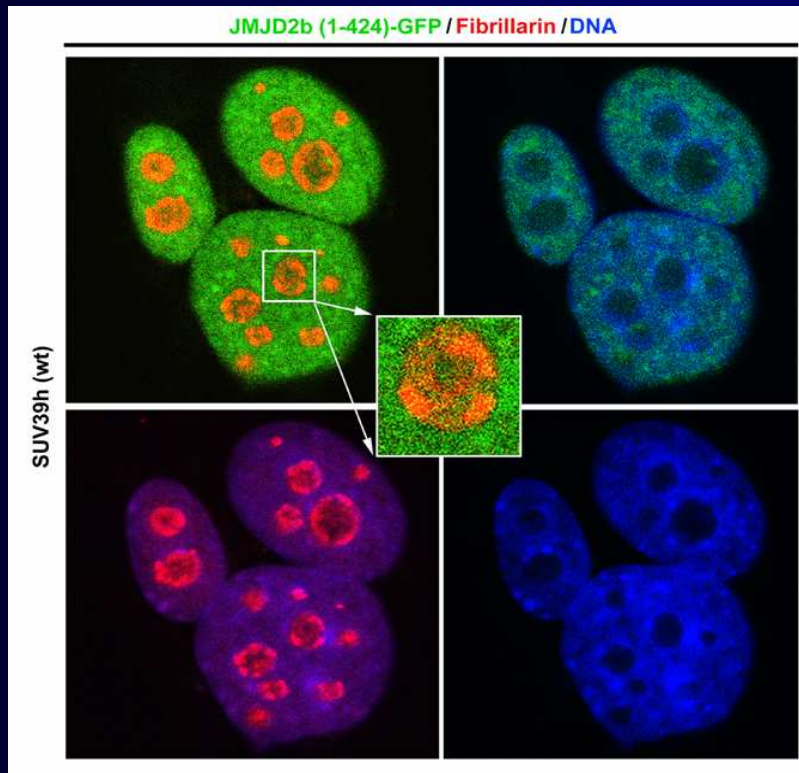
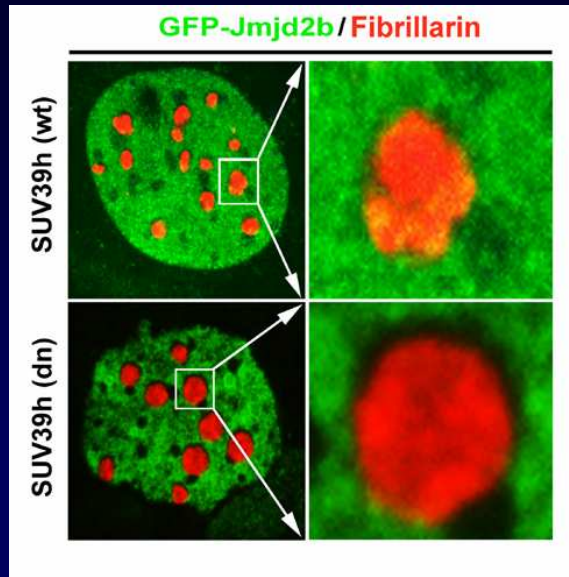
**Jmjd2b / Fibrillarin / chromocenters**



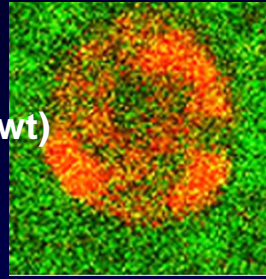
# Jmjd2b histone lysine demethylase



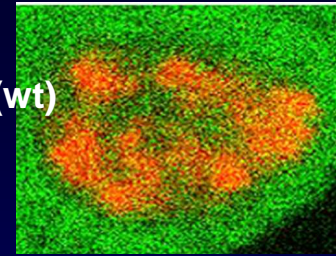




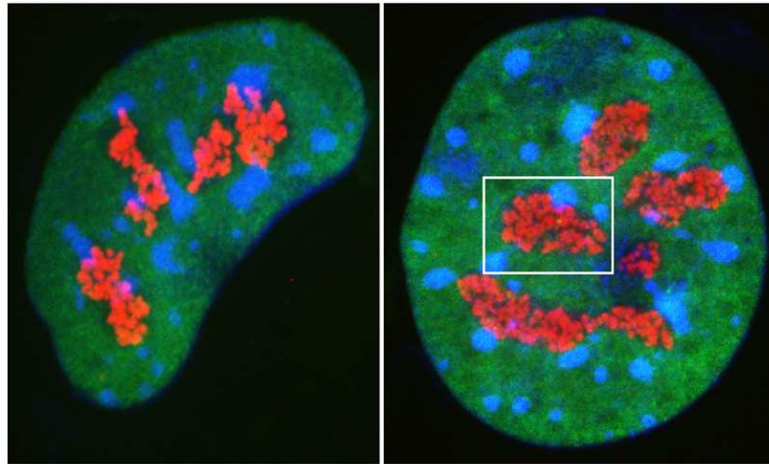
SUV39h (wt)



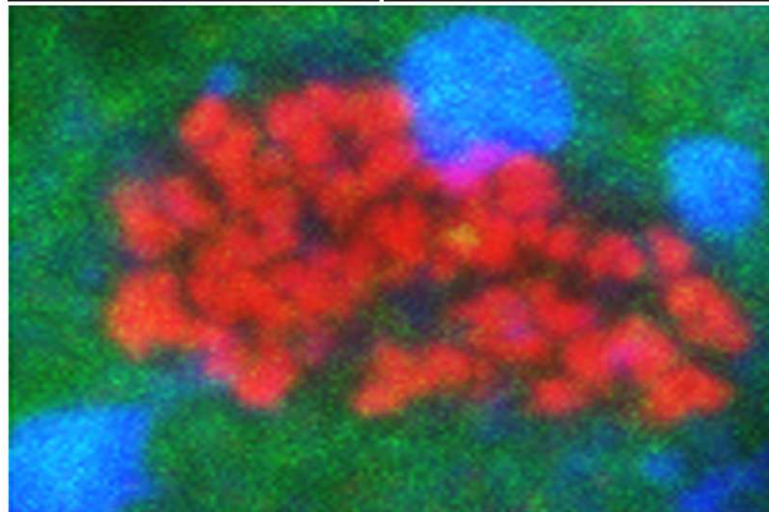
SUV39h (wt)



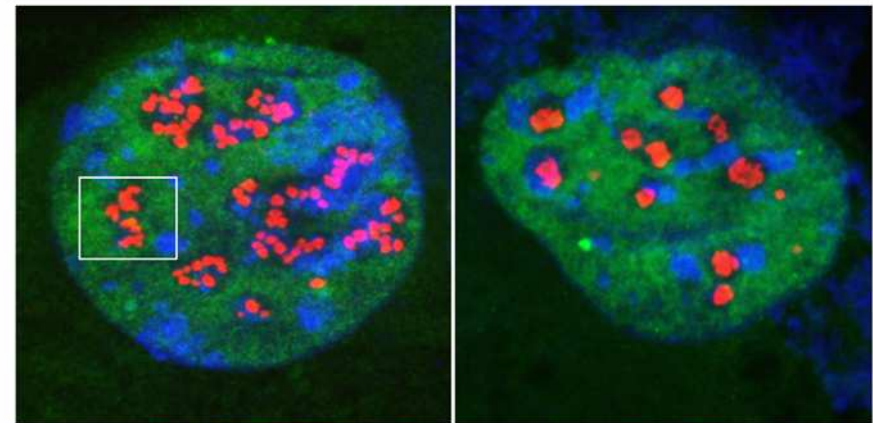
JMJD2b (1-424)-GFP / Fibrillarin / Chromocenters



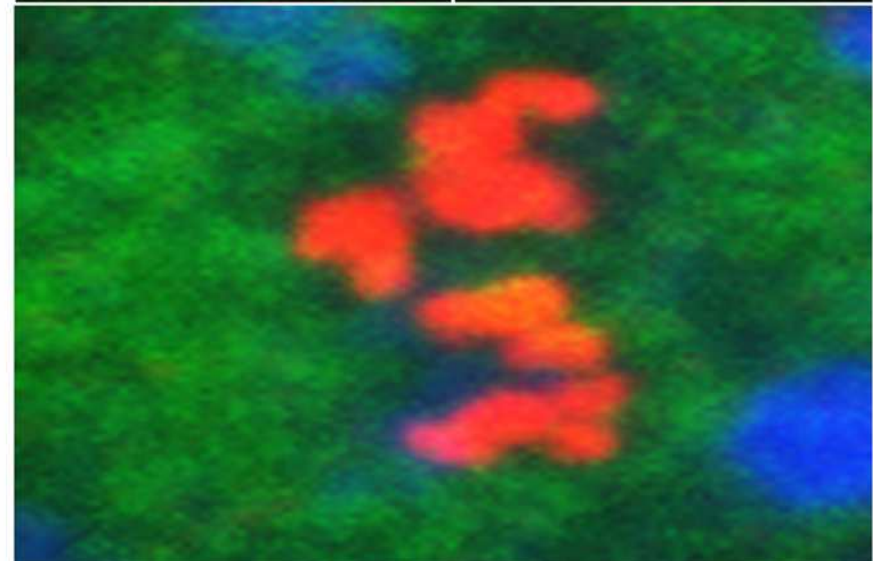
SUV39h (dn)



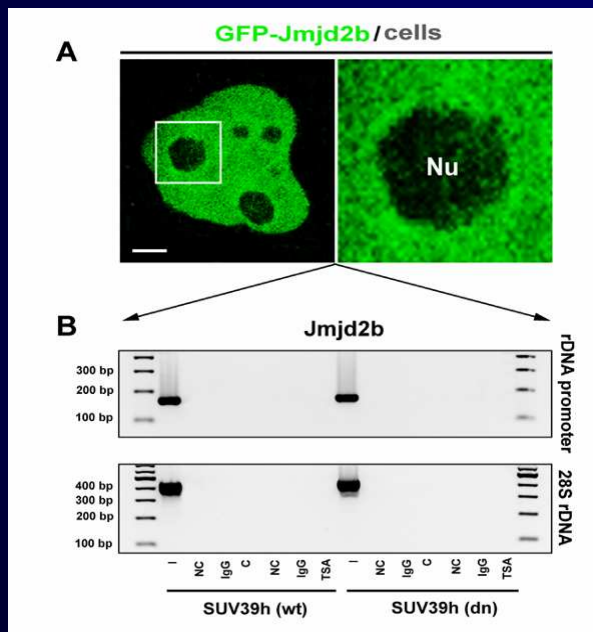
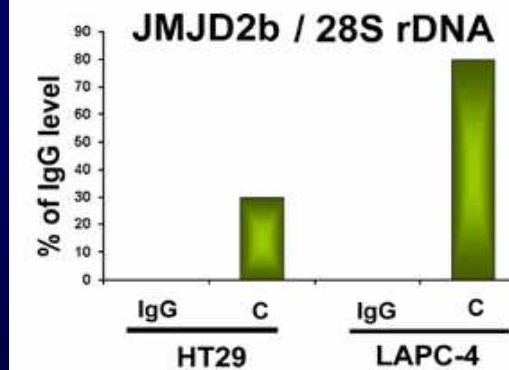
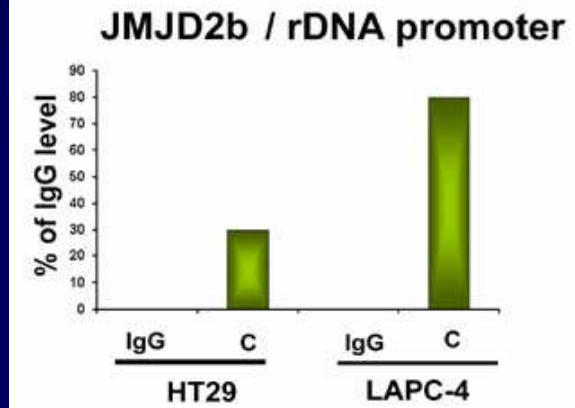
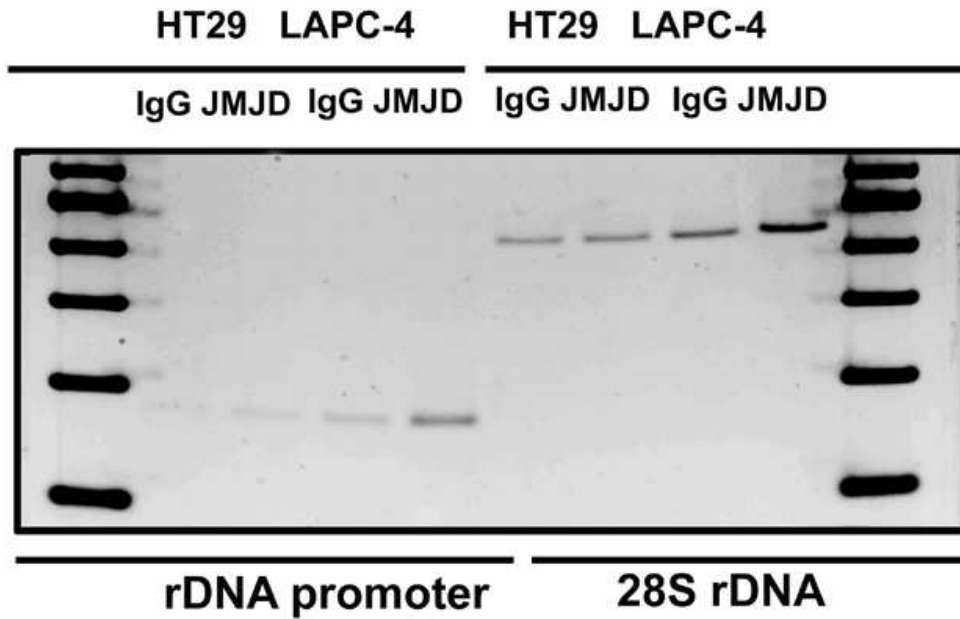
JMJD2b (1-424)H189-GFP / Fibrillarin / Chromocenters

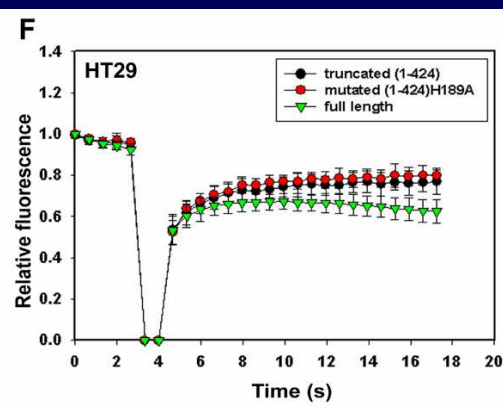
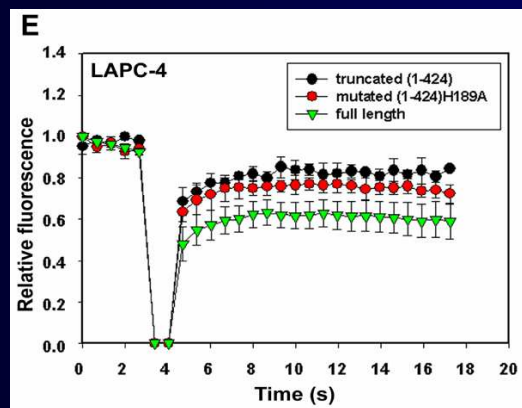
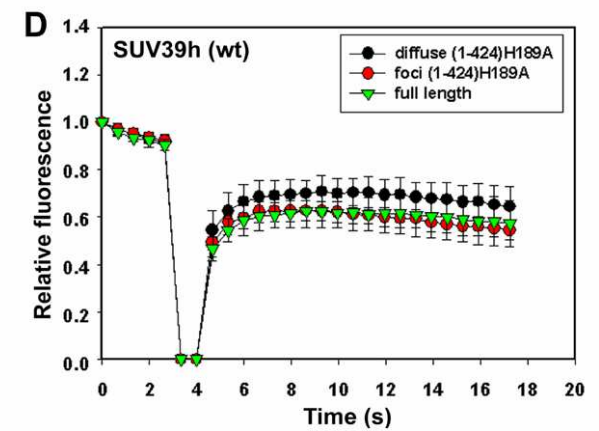
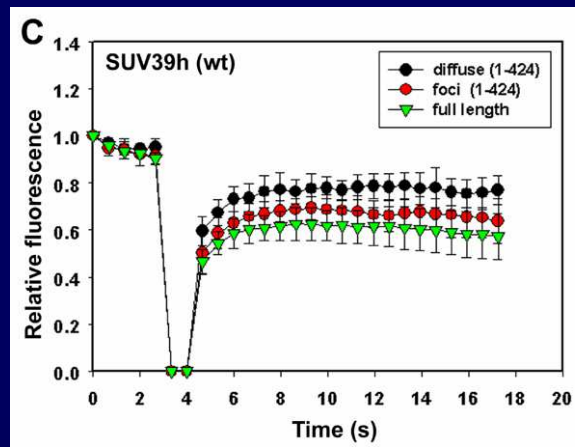
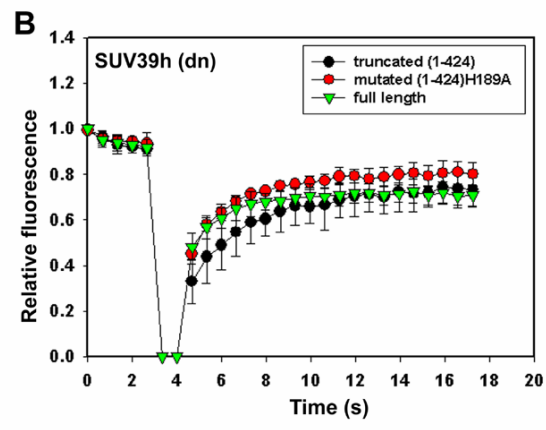
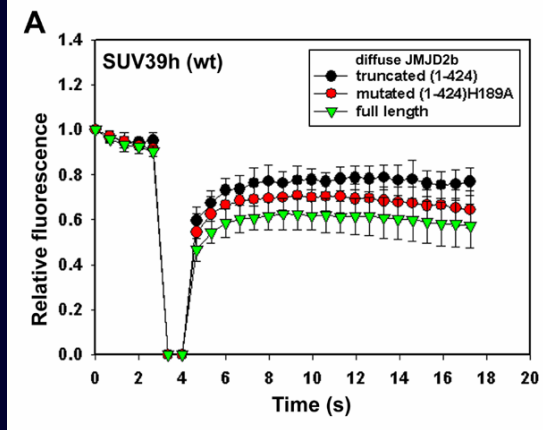


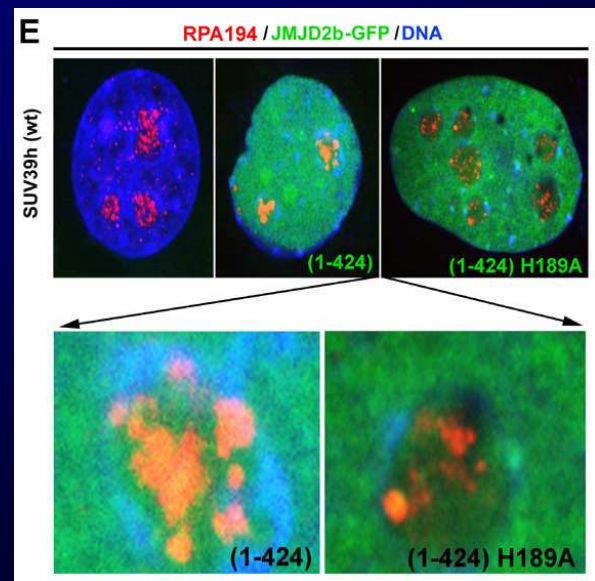
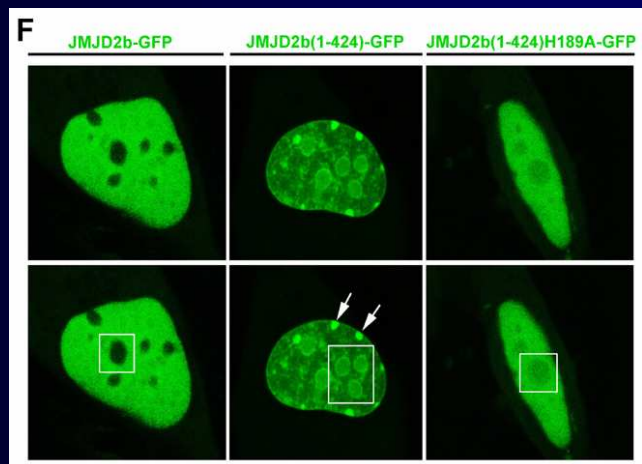
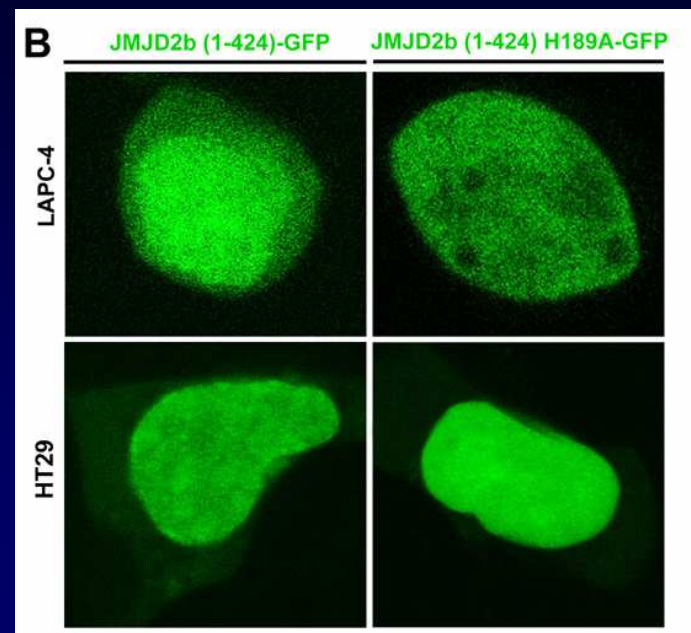
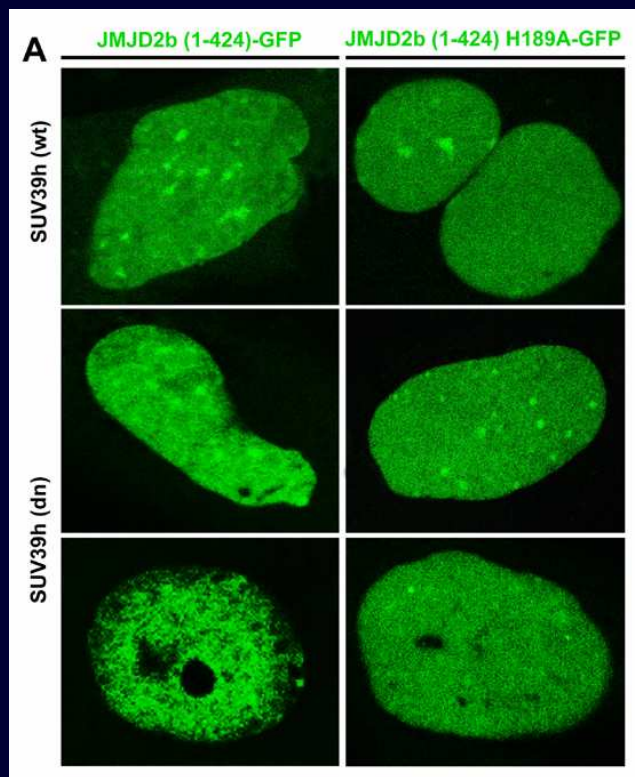
SUV39h (dn)















**Eva Bártová, Gabriela Šustáčková,  
Lenka Stixová, Soňa Legartová, Darya Orlova, Veronika Foltánková**  
**Institute of Biophysics, the Academy of Sciences of the Czech Republic, v.v.i., Brno**

Projects: Ministry of Education Youth and Sports of the Czech Republic; the research projects LC535, LC06027, and ME 919. The Academy of Sciences of the Czech Republic: AVOZ50040702 and AVOZ50040507 and the Grant Agency of the Czech Republic by grant no. P302/10/1022. European Union project COST TD09/05 and corresponding national COST-CZ project LC11020. Marie Curie project PIRSES-GA-2010-269156.